

Ruppersthal:

Jungpleistozän

Profil III:

Probe Nr. 10: 400–450 cm (*a. alpicola*)Probe Nr. 12: 500–550 cm über der Oberkante des Tschernosems (*a. alpicola*)

Profil IV:

Probe Nr. 2: grauer Löß unterhalb der Fundschicht (*a. alpicola*)Probe Nr. 4: hangender Löß (*a. alpicola*)Probe Nr. 13: 100 cm unter der Unterkante der rezenten Humuslage (*a. alpicola*)**Sachsendorf:**

Jungpleistozän?

Schnitt beim Neubau (Probe 615)

Salzofenhöhle:

Würmzeitlich

Probe Nr. 1 („Nagetierschicht I“) (+ *a. styriaca*)Probe Nr. 3 („Nagetierschicht Ia“) (*a. styriaca*)

Probe Nr. 5 („Nagetierschicht Ic“)

Probe Nr. 6 („Seitenstollen, Nagetierschicht“) (*a. styriaca*)Probe Nr. 7 („Kulturschicht beim Eingang zur Vorraum-Nebenhöhle“) (+ *a. styriaca*)Probe Nr. 8 („Diluviale Schicht“) (*a. styriaca*)

Probe Nr. 9 (Graf Kesselstatt-Dom: „Nagetierschicht, Röhre“)

Probe Nr. 10 (Forsterkapelle)

Probe Nr. 11 (ohne Bezeichnung) (*a. styriaca*)**Schletz (TRNKA):**

Älter lengyelzeitlich, jungpleistozän vermischt

Graben I, Schn. 1, SO-Profil, Lfm. 0–12,4 (Verf. 5)

Graben I, Schn. 2, Grube I, O-Hälfte

Schloss Kaiserebersdorf/Wien:

Ende 15. bis 17. Jhdt.

innerer Wassergraben

Holzrinne und Kanal

äußerer Wassergraben

Schusterlucke:

Frühwürmzeitlich (die Mollusken etwas jünger)

Kleinsäugerschicht

Schwabenreithöhle:

Jungholozän

Grabungsstelle 1: Wolkengang

Schwallenbach:

Spätwürm

Schichtkomplex B: Probe Nr. 3 (ausgebleichter Löß/Nassboden; *a. alpicola*)Schichtkomplex C: Probe Nr. 4 (ausgebleichter Löß/Nassboden; *a. alpicola*), Probe Nr. 11 (humoser Löß, mit Permafrost), Probe Nr. 14 (Löß), Probe Nr. 15 (ausgebleichter Löß/Nassboden, mit Permafrost)

Schichtkomplex D: Probe Nr. 16 (humoser Löß), Proben

Nr. 17–20 (Zone mit Wurzelspuren)

Rezenter Oberboden

Probe Nr. 1

Senftenberg:

Pleistozän

Probe Nr. 1: Löß, von der Basis der tiefst gelegenen Lößpartie

Probe Nr. 4: Löß unter der mittleren Bodenbildung

Probe Nr. 6: oberhalb der Verlehmungszone („Kulturschicht in einwandfreiem Verband mit Hirschhornsporen, Microlithen und Holzkohlestückchen; Aurignacien“; Anm. v. A. PAPP)

Probe Nr. 11: jüngster Löß

Stillfried, Westwall:

Jungpleistozän

N-Profil des 2. Wallschnittes (1974; vom nacheiszeitlichen Humus durch den liegenden Löß bis 1,60 m unter der Lößoberkante): Schicht 5 (60–80 cm unter Lößoberkante; fraglich), Schicht 6 (40–60 cm unter Lößoberkante), Schicht 7 (20–40 cm unter Lößoberkante), Schicht 8 (0–20 cm unter Lößoberkante)

Stillfried, Typusprofil:

Jungpleistozän

Profil II:

Probe Nr. 14: 20–40 cm; Löß oberhalb des „Stillfried B“-Horizontes

Probe Nr. 15: 40–60 cm; Löß oberhalb des „Stillfried B“-Horizontes

Probe Nr. 16: 60–80 cm; Löß oberhalb des „Stillfried B“-Horizontes

Probe Nr. 17: 80–100 cm; Löß oberhalb des „Stillfried B“-Horizontes

Probe Nr. 18: 100–120 cm; Löß oberhalb des „Stillfried B“-Horizontes

Probe Nr. 19: 120–140 cm; Löß oberhalb des „Stillfried B“-Horizontes

Stillfried, Neuaufnahme des „Stillfried B“-Horizontes von Typusprofil II (durch STADLER 1996):

Jungpleistozän

Probe Nr. 1: 0–20 cm unterhalb der Bodenoberkante

Probe Nr. 2: 20–40 cm unterhalb der Bodenoberkante

Probe Nr. 3: 40–60 cm unterhalb der Bodenoberkante

Stillfried, Neuaufnahme des „Stillfried A“-Horizontes von Typusprofil I (durch FRANK 1993):

Jungpleistozän: Früh- bis Mittelwürm

Probe II: Niveau Thermoluminiszenzproben – obere Reihe, 140 cm über der Kante

Stillfried, mittelalterlicher Hausberg (EIBNER):

Jungpleistozän: Spätwürm

Schn. 1:

Abh. 2: Qu. 1, Lfm. 9,5–10; T = 178,54 cm

Abh. 4, T = 178,26–178,05 cm: Qu. 1, Lfm. 9,5–10, Qu. 2,

Lfm. 9,5–10, Qu. 3, Lfm. 9–9,5, Qu. 4, Lfm. 9–9,5, Qu. 5, Lfm. 8,5–9, Qu. 6, Lfm. 8,5–9 (alle: liegend Humus)

Abh. 5, T = 178,05–177,87 cm: Qu. 1, Lfm. 9,5–10, Qu. 2, Lfm. 9,5–10, Qu. 3, Lfm. 9–9,5, Qu. 4, Lfm. 9–9,5, Qu. 5, Lfm. 8,5–9, Qu. 6, Lfm. 8,5–9, Qu. 7, Lfm. 8–8,5, Qu. 8, Lfm. 8–8,5, Qu. 10, Lfm. 7,5–8

Abh. 6/1, T = 177,85–177,70 cm: Qu. 1, Lfm. 9,5–10, Qu. 2, Lfm. 9,5–10, Qu. 3, Lfm. 9–9,5, Qu. 4, Lfm. 9–9,5, Qu. 5, Lfm. 8,5–9, Qu. 6, Lfm. 8,5–9, Qu. 7, Lfm. 8–8,5, Qu. 8, Lfm. 8–8,5, Qu. 9, Lfm. 7,5–8, Qu. 10, Lfm. 7,5–8

Abh. 6/2, T = 177,70–177,60 cm: Qu. 9/10/7

Abh. 6/2, T = 177,65–177,50 cm: Qu. 1+2, Lfm. 9,5–10, Qu. 2, Lfm. 9,5–10, Qu. 7+9, Lfm. 7,5–8,25, Qu. 8+10, Lfm. 7,5–8,5

Bestattung:

Südbereich vor dem Skelett

Grabgrube, T = 177,50 cm: NO-Viertel, Lfm. 8,5–9

Grabgrube, T = 177,50 cm: Bereich des Kiesels, Lfm. 9,40

Grabgrube, NW-Quadrat

Stranzendorf:

Mittelplozän

Rotlehm C

Oberpliozän

Rotlehme J, L

Braunlehme D, F, G, K, M

Lößpakete K/L (große Ausbildung), L/M

Stratzing/Krems-Rehberg:

Jungpleistozän

Prof. I: Tennisplatz-Ziegelei (1994): Probe 1 (0–25 cm Tiefe), Probe 3 (50–75 cm), Probe 17 (400–425 cm), Probe 19 (450–475 cm), Probe 20 (475–500 cm), Probe 20A (500 cm), Probe 23 (550–575 cm), Probe 24 (575–600 cm)

Prof. II: Tennisplatz-Ziegelei (1994): Probe 2 (25–50 cm Tiefe), Probe 4 (75–100 cm), Probe 5 (100–125 cm), Probe 6 (125–150 cm), Probe 7 (150–175 cm), Probe 8 (175–200 cm), Probe 9 (200–225 cm), Probe 11 (250–275 cm), Probe 12 (275–300 cm), Probe 13 (300–325 cm), Probe 14 (325–350 cm), Probe 15 (350–375 cm)

Stratzing/Galgenberg, Ostprofil:

Jungpleistozän; Aurignacien

Probe Nr. QR10: 1981/13

Ternitz:

Hochmittelalter bis subrezent

Fnr. 81+82 (Sig. 41), 261 (110+111), 371 (180), 411 (194a), 412 (194a), 728 (307), 743 (209+202), 775 (209–311), 810 (276), 815 (311), 818 (194a), 821 (202), 822 (202–194a), 841 (336), 913 (220), 1836 (717; cf.), 1837 (724), 1898 (749), 1990 (822), 2001 (816)

Teufelsrast-Knochenfuge:

Spätglazial

Füllung

Tropfsteinhöhle am Kugelstein:

Hochglazial

Schicht 18/19: pleistozäne Sedimente, mittlerer Komplex

Tunnelhöhle:

Jungholozän

Schicht 22-1: jüngster Schichtkomplex inkl. Planierschicht

älterer Grabungen

Unterparschenbrunn:

Oberpliozän

lößähnliches Sediment mit Resten einer Bodenbildung

Wetzleinsdorf:

Jungpleistozän: Mittelwürm

Profil I:

über dem Übergangsbereich zwischen Verlehmungszone und Schwarzerde:

Löß: Probe Nr. 19: 100–120 cm, Probe Nr. 20: 120–140 cm

Bodenbildung: Probe Nr. 21: 140–160 cm

Wien I, Judenplatz:

1.–2. Jhdt. n. Chr.

Verfüllung des Grabens (4076; Schn. 19/SW, Fl. 20; große Ausbildung)

Wien IV, Favoritenstraße:

Wahrscheinlich Mittelpleistozän

Proben Nr. 1 und 2: Löß, 3,5 m unter dem Straßenniveau

Wien XI, Simmering:

Jüngeres Mittel- bis Jungpleistozän

Probe 1: O-Profil (Sedimentstärke 30 cm)

Probe 3: –1,50 m unter GOK (Sedimentschicht unter grobem Straßenschotter, Sedimentstärke ca. 40 cm: an 2 Stellen)

Wien XIX, Heiligenstadt/Nußdorf:

Jüngeres Mittelpleistozän

Profil I:

Probe Nr. 3: 14 m über Straßenniveau (*a. alpicola*)

Willendorf i. d. Wachau:

Jungpleistozän

Probe Nr. 1: KS 9

Probe Nr. 2: KS 8

Probe Nr. 3: unter KS 8

Probe Nr. 4: 10–20 cm unter KS 8

Probe Nr. 5: 30–70 cm unter KS 8

Probe Nr. 6: Humusanreicherung an der Basis von Einheit B

Probe Nr. 7: KS 6a

Probe Nr. 9: graue Schicht unter KS 6

Probe Nr. 11: 0,5–15 cm oberhalb KS 5

Probe Nr. 12: KS 5

Probe Nr. 14: 25–50 cm unter KS 5

Probe Nr. 15: 50–75 cm unter KS 5

Probe Nr. 16: KS 4

Probe Nr. 17: zwischen KS 3 und dem Beginn von Einheit D

Probe Nr. 18: KS 3

Probe Nr. 19: Einheit D, 5,1–6,0 m

Probe Nr. 20: Einheit D, 6,0–6,2 m

Probe Nr. 21: Einheit D, 6,2–6,5 m

Helicigona A. FÉRUSSAC 1821

Mittelgroß, linsenförmig; \pm 5 Umgänge; \pm dunkel hornbraun mit dunkleren Flecken; Oberfläche mit dichter Körnelung. Letzter Umgang scharf gekielt und gegen die Mündung stark absteigend. Mündung sehr schief, eiförmig; Mundsäum erweitert, zusammenhängend oder kaum unterbrochen.

Mittel- und Nordeuropa. – Ab Obermiozän (ergänzt nach WENZ u. ZILCH 1959: 703). Wenige Arten.

Helicigona lapicida (LINNAEUS 1758)

(Taf. LIV: 1–2; Karte 257)

6,5–8,5 (9) mm H : (12) 15–17 (20) mm B; \pm 5 Ugge. Linsenförmig, ober- und unterseits abgeflacht; opak, grau-braun bis mittelbraun mit verschwommenen rotbraunen Flecken; gelegentlich albin. Unregelmäßig fein bis gröber gestreift, dazu dichte, deutliche Körnelung. Umgänge langsam zunehmend, der letzte an der Peripherie sehr scharf gekielt; gegen die Mündung plötzlich stark absteigend.

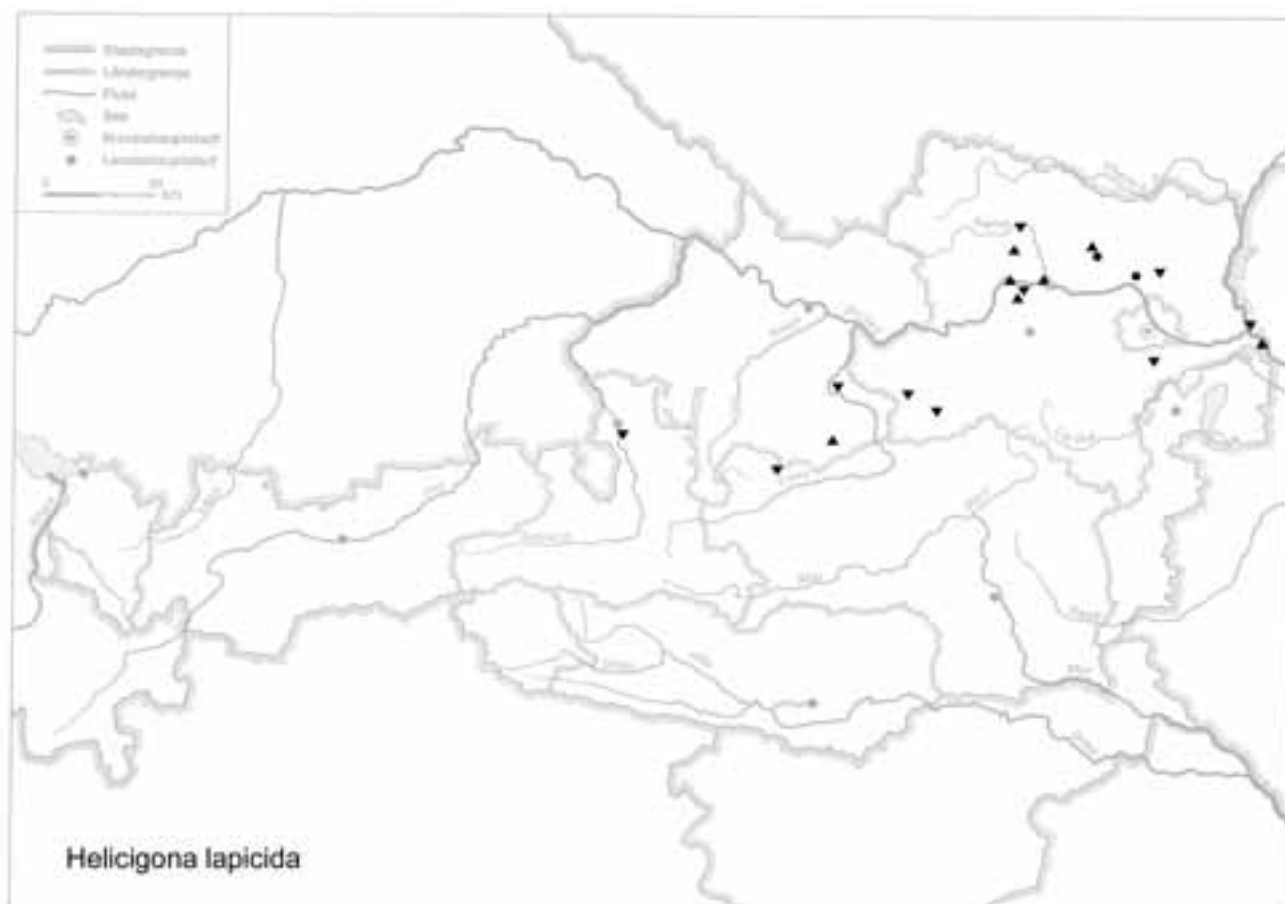
Mündung sehr schief, elliptisch; Mundsäum zusammenhängend, losgelöst, ringsum stark erweitert; mit flacher, weißer Lippe. Nabel weit und offen. – Recht formbeständig; Färbung und Fleckenmuster variierend.

Gesteinsindifferent, an schattigen, efeubewachsenen Mauern und Felsen, in deren Spalten und Vertiefungen, in alten Wäldern und Heckenstrichen, gerne an verschiedenen Bäumen aufsteigend (Buche, Hainbuche, Ahorn); 155–1700 m.

West- und mitteleuropäisch; von Mittelportugal bis Mitteleuropa, in Großbritannien bis Schottland, isoliert in Südirland; in den Alpen nördlich des Hauptkammes; im Osten bis in den Polnischen Jura und in die Westkarpaten. In Österreich nur in den nördlichen Landesteilen, sich nur in Vorarlberg und Tirol dem Alpenhauptkamm nähernd, im Osten nicht an den Alpenostrand heranreichend. Sie scheint die Linie Obere Salzach–Enns–Salza nach Süden nicht zu überschreiten (KLEMM 1974a: 419, 421–422; Karte 137).

Warmzeitlich; pleistozän/interglazial und postglazial im heutigen Bereich, vor allem im Westen; altpleistozän weit ostwärts reichend (viele Funde im südslowakischen Karst bzw. in Murán/Breccie; Slowakei; LOŽEK 1964b: 305; JAECKEL, S. G. A. 1962: 189–190). Im österreichischen Quartär tritt sie in verschiedenen warmzeitlichen Kontexten auch außerhalb ihrer heutigen Verbreitung auf.

Karte 257



SCHLICKUM u. STRAUCH (1970: 169–170, 172; Taf. 12, Fig. 11–15) beschreiben *Helicigona (H.) schwarzbachi* aus dem Mittelpliozän; Tagebau Frechen, Rheinische Braunkohlenwerke A.G. (3. Sohle, Tiefschnitt; strat. typ.: Grüner Ton zwischen Horremer und Erftsprung. Die Autoren nehmen eine Abstammung der *H. lapicida* von *H. schwarzbachi* an, da sie dieser morphologisch nahe steht. In Mündungsausbildung und Feinstruktur der Schalenoberfläche kommt ihr diese Art am nächsten.

Helicigona atava WENZ 1927 (Obermiozän: Pannon D, Leobersdorf; ? Mittelmiozän: Sarmat, Hollabrunn) ist flacher als *H. lapicida*; sie könnte ebenfalls in deren Ahnenreihe gehören (LUEGER 1981: 65–66; Taf. 9, Fig. 1a–c). *Helicigona truci* SCHLICKUM u. STRAUCH 1970 (Unterpliozän; Hauterives/Dép. Drôme; Süßwassermergel) hat rascher anwachsende Umgänge als *H. atava*; sie dürfte ebenfalls in die nahe Verwandtschaft dieser Arten gehören. *Helicigona wenzii* Soós 1934 (Obermiozän: ungarisches Pont, Pont F, Götzendorf; oberstes Untermiozän?: Karpatium; Weinsteig, Teiritzberg) ist dagegen stumpf gekielt und dürfte nach LUEGER (1981: 66–67; Taf. 8, Fig. 9a–c, 10a–c; Taf. 16, Fig. 8) nicht in diese unmittelbare Verwandtschaftsgruppe gehören. Ebenso nicht in die Linie *schwarzbachi-lapicida* gehört *Helicigona chaignoni* (LOCARD 1888) (Mittelpliozän, Cessey-sur-Tille, „entre la Tille et le sondage FP3“), die eine wesentlich höher aufgewundene Schale als *Helicigona lapicida*, dorsal stark gewölbte Umgänge und einen ± stumpfen bis angedeuteten Kiel hat.

Fundstellen

Abri von Elsbethen:

Präboreal, voll entwickelt

Qu. 9hK2, Qu. 9hL1, Qu. 9hL2 (cf.), Qu. 8hM1, Qu. 8hM2

Präboreal, ausklingend

Qu. 20jF4/Grab II

Boreal, voll entwickelt

Qu. 20iG1, Qu. 19l 19kG3(6), Qu. 19/20lG3(1), Qu. 20kF4(6), Qu. 87.30.1 (cf.)

Atlantikum

Qu. 6hE2, Qu. 6gF2

Braunsberg, Hainburger Berge:

Jungholozän; ältere Hallstatt- und jüngere Latènezeit, 2. bis 1. Jhdt. v. Chr.

Wallschnitt 6:

Plan. 7; Lfm. 13: Verf. (Fnr. 1587)

Plan. 8; Lfm. 6,50 (Fnr. 1606), Lfm. 7,40: Pfl. (Fnr. 1607)

N-Profil: Lfm. 10,4: 110 cm v. oben (Fnr. 1737)

Brettsteinbärenhöhle:

Frühholozän

Grabungsstelle 2

Mittelholozän

Grabungsstelle 1

Furth, Hohlweg:

Jungpleistozän

Unterkante der „Göttweiger Bodenbildung“

Gamssulzenhöhle:

Spätglazial

Fundstelle 1: Eingangshalle (140–150 cm Schichttiefe)

Gars-Thunau:

Jüngstholozän

Grabung 1978, D, Gru. 50–Gru.ende

Herdengelhöhle:

Frühes Mittelholozän

Probe 3: Eingangsbereich, Entkalkungshorizont

Hirschenfallhöhle:

Mittelholozän

Wurzeldom:

Probe Nr. 1 (grobes, sinteriges Substrat)

Probe Nr. 2 (grobes Substrat mit vielen Knochen)

Probe Nr. 5 (oberstes Ende, sehr grobes Substrat)

Hornsburg 3:

Epiatlantikum

Graben I, Schn. 1, SW-Profil, Lfm. 5,2–9,2 (Probe 2)

Hundsheim:

(Frühes) Mittelpleistozän

Probe Nr. 1 (Füllmaterial)

Krems, Hundssteig:

Jungpleistozän; Gravettien

Probenserie 1: Proben Nr. 1/16, 1/17, 1/19

Krems, Hundssteig:

Jungpaläolithikum; Hauptkulturschicht: Gravettien

Südwest-Profil; Qu. S 84 (12. 9. 2002); Hu 11/27

Laxenburg, awarisches Gräberfeld:

7.–8. Jhdt. n. Chr.

Grab/Obj. Nr. 183 (Fnr. 490: cf.), 295 (646: cf.), 296 (644: cf.), 311 (674, 643)

Mautern a. d. Donau/Favianis, Auxiliarkastell:

Grabung Frauenhofgasse:

ca. 180–260 n. Chr.

Periode 4: Qu. A1–A2, Pl. 5 (Feuerstelle Inneres)

Grabung Wasserleitungskünette:

Mittelalter/Neuzeit?

Lfm. 115–119 (cf.)

Neudegg:

Mittelpliozän bis Ältestpleistozän?

mit Sand und Schotter vermischte Terra-rossa-Reste

Nixloch:

Aus frühholozänen Störungen

Qu. K13B

Paudorf:

Jungpleistozän

Unterkante der oberen Bodenbildung („Paudorfer Bodenbildung“, „Lo2+Lo3“)

Radlbrunn:

Ältestpleistozän

Probe Nr. 3: gelbe, kalkreiche Sedimente im Hangenden des Schotters

Stranzendorf:

Mittelplozän

unterhalb von Rotlehm A (A')

Oberpliozän

Braunlehme F, K, M

Stratzing/Krems-Rehberg:

Jungpleistozän

Prof. I: Tennisplatz-Ziegelei (1994): Probe 18 (425–450 cm Tiefe), Probe 19 (450–475 cm), Probe 20 (475–500 cm), Probe 20A (500 cm: cf.), Probe 22 (525–550 cm), Probe 24 (575–600 cm: cf.)

Prof. II: Tennisplatz-Ziegelei (1994): Probe Nr. 1 (0–25 cm Tiefe), Probe Nr. 2 (25–50 cm), Probe 4 (75–100 cm), Probe 7 (150–175 cm), Probe 10 (225–250 cm), Probe 11 (250–275 cm), Probe 12 (275–300 cm), Probe 13 (300–325 cm)

Teufelsrast-Knochenfuge:

Spätglazial

Füllung

***Campylaea* BECK 1837**

Groß, 20–30 mm B; stark gedrückt, 5–6 regelmäßig zunehmende Umgänge, der letzte gerundet und zur Mündung hin absteigend; mit deutlichem, meist hell gesäumtem rotbraunem Band etwas über der Peripherie. Oberfläche ohne Spirallinien bzw. höchstens mit schwachen Spuren auf dem letzten Umgang; dann gestreckt und nicht sehr dicht verlaufend. Zuwachslinien sichtbar; locker behaart; gekörnelt oder glatt. Mündung schief, rundlich-mondförmig, Mündungsrand erweitert und zurückgebogen, mit weit entfernt stehenden Insertionsstellen; weiß gelippt. Mäßig weit und offen genabelt. – Wenige Arten [Typusart ist *Campylaea planospira* (LAMARCK 1822)].

Rezent ostalpin, bis Südgriechenland, Italien, Sizilien; Nordalgerien. – Ab Mittelplozän (Astium); nach WENZ u. ZILCH (1959: 702).

***Campylaea illyrica* (STABILE 1864)**

(Taf. LIV: 3–5; Karte 258)

12–13,5 mm H : 26–27 mm B; 5–5½ Ugge. Groß, dick-scheibenförmig mit niedrigem, schwach gewölbtem Gewinde und abgeflachter Basis. Dünnschalig, heller bis sehr

Karte 258



dunkel hornfarben, besonders unterseits gelblichgrau aufgefärbt; mit schmalem, rotbraunem Band über der Peripherie, das von helleren Zonen begrenzt ist; zuweilen angedeutet dreibändig. Ziemlich glänzend; verlöschend gestreift; mit gelblichen Wachstumsunterbrechungen. Fast immer unbehaart; Haarnarben nur ausnahmsweise auf den oberen Umgängen der Adultschale. Letzter Umgang breit gerundet, vorne langsam und schwach absteigend; Mündung wenig schief, querelliptisch, Mundsaum kurz und stark erweitert, mit schmaler, kräftiger, weißer Lippe. Nabel mäßig weit. – Von KNIPPER (1939: 406–409), KLEMM (1974a: 422, 424; Karte 138) u. a. als Rasse zu *Campylaea planospira* (LAMARCK 1822) gestellt; von FECHTER u. FALKNER (1989: 226), FALKNER (1990: 105) aufgrund anatomischer Unterschiede und des getrennten Verbreitungsgebietes als eigene Art geführt. Bei *Campylaea planospira* sind die Jungtiere behaart; Haarnarben sind noch auf dem vorletzten Umgang der Adultschale erkennbar, auf dem letzten nicht immer. Conchologisch sind sie sonst kaum unterscheidbar.

Kalkhold, aber nicht unbedingt felsgebunden; zwischen Felsen und Mauern, Gesteinsschutt, an feuchten und schattigen Kalkfelsen, unter der Vegetation; auch auf Talböden im Gras am Fuß von Felsen; 210–1550 m. Sie lebt auch im Eingangsbereich von Höhlen (FRANK 1992c: 500, Abb. 53a, b; 1996b: 109).

Südalpin–dinarisch; Ostalpen südlich des Hauptkammes bis zur Etsch, und nördliche Balkanhalbinsel. Um etwa 1850 am Burgberg von Donauaustauf unterhalb Regensburg angesiedelt. In Österreich in Südkärnten verbreitet und häufig, bis in die südliche Steiermark und ins mittlere Murtal reichend. *Campylaea planospira* lebt im gesamten Apennin und den angrenzenden Bergländern; im Süden bis Sizilien.

Quartärverbreitung?

Fundstellen

Durezza-Schachthöhle:

Jungholozän

Sektor A, über Plan. 2

„Aushub Höhlenforscher“ (ohne Angaben)

Georgiberg b. St. Kanzian:

Wahrscheinlich Mittelalter

I/Wallschnitt 2 (gelbe Schicht mit Konglomerat)

Gracarca:

9. Jhdt. v. Chr. bis späte Latènezeit

Sektor E1/88 (Ostprofil): Verwitterungsschicht über Konglomerat

Sektor E1/88 (Ostprofil): Kulturschicht

Zisterne (1, Boden, ca. 80–100 cm von der Oberfläche)

Wahrscheinlich später als Latène

Sektor G2 (Westprofil): Mauerversturz

Zisterne (3, über anstehendem Konglomerat)

Rotes Loch, Rabenstein:

Spätglazial bis früh postglazial

Füllung

Campylaea čapeki (PETRBOK 1922)

(Abb. 104; Taf. LIV: 6–9; Karte 259)

14–16,5 mm H : 24–28 mm B; ± 5 Ugge. Gedrückt-kugelig mit flach-kuppelförmigem Gewinde; verlöschend unregelmäßig gestreift und sehr fein und dicht gekörnelt (auf dem letzten Umgang nicht mehr deutlich); weitläufige Haarnarben, Umgänge regelmäßig zunehmend, ziemlich gewölbt, die ersten abgeflacht, der letzte erweitert, bauchig und vor der Mündung mäßig herabsteigend. Mit einem dunkleren, etwas über der Peripherie liegenden Band oder mit drei durchscheinenden Bändern. Mündung mäßig schief, breit-mondförmig, kräftig ausgeschnitten; Mundsaum ringsum erweitert, mit flacher, ziemlich kräftiger Lippe. Nabel ziemlich eng, vom Spindelrand etwas bedeckt. – In der Größe veränderlich (bis 30 mm B). Beschreibung nach PETRBOK (1922: 12–15), LOŽEK (1964b: 306; Taf. XXVIII/4a, b, c).

Wahrscheinlich in mäßig feuchten Wäldern in warmen Lagen.

Altpleistozän–interglaziale Leitart; beschrieben von Stránská Skála östlich von Brünn (Fundstelle „Nr. 3. Nordwestliche Fundstelle“); strat. typ.: „braune, lehmige Breccie mit scharfkantigem Kalkstein-Gerölle und lokalen Hornstein-Splittern“. In ihrer Begleitung sind auch andere hochwarmzeitliche Molluskenarten – *Soosia diodonta*, *Drobacia banaticum*, *Ruthenica filograna* u. a. Bekannt von mehreren altpleistozän–interglazialen Fundstellen vom südslowakischen Karst bis Böhmen und Süddeutschland; aus Niederösterreich schon von LOŽEK (1976d: 84, 86–87; 1978a: 28 – Krems Schießstätte) und BINDER (1977: 43; Taf. 10, Fig. 55, 56) genannt. – Nach PETRBOK (1922) leben die Verwandten der ausgestorbenen Art „meistens in südlichen Alpenländern“. Ihr nördlich davon liegendes Verbreitungsgebiet lässt daher auf hochwarmzeitliche Verhältnisse schließen.

Fundstellen

Deutsch Altenburg:

Ältestpleistozän

Spaltenfüllung 17, Spaltenfüllung 18 (?)

Altpleistozän: *M. pliocaenicus*-Zone, tieferes Niveau

Hohlraumfüllung 30A

Altpleistozän: *M. pliocaenicus*-Zone, höheres Niveau

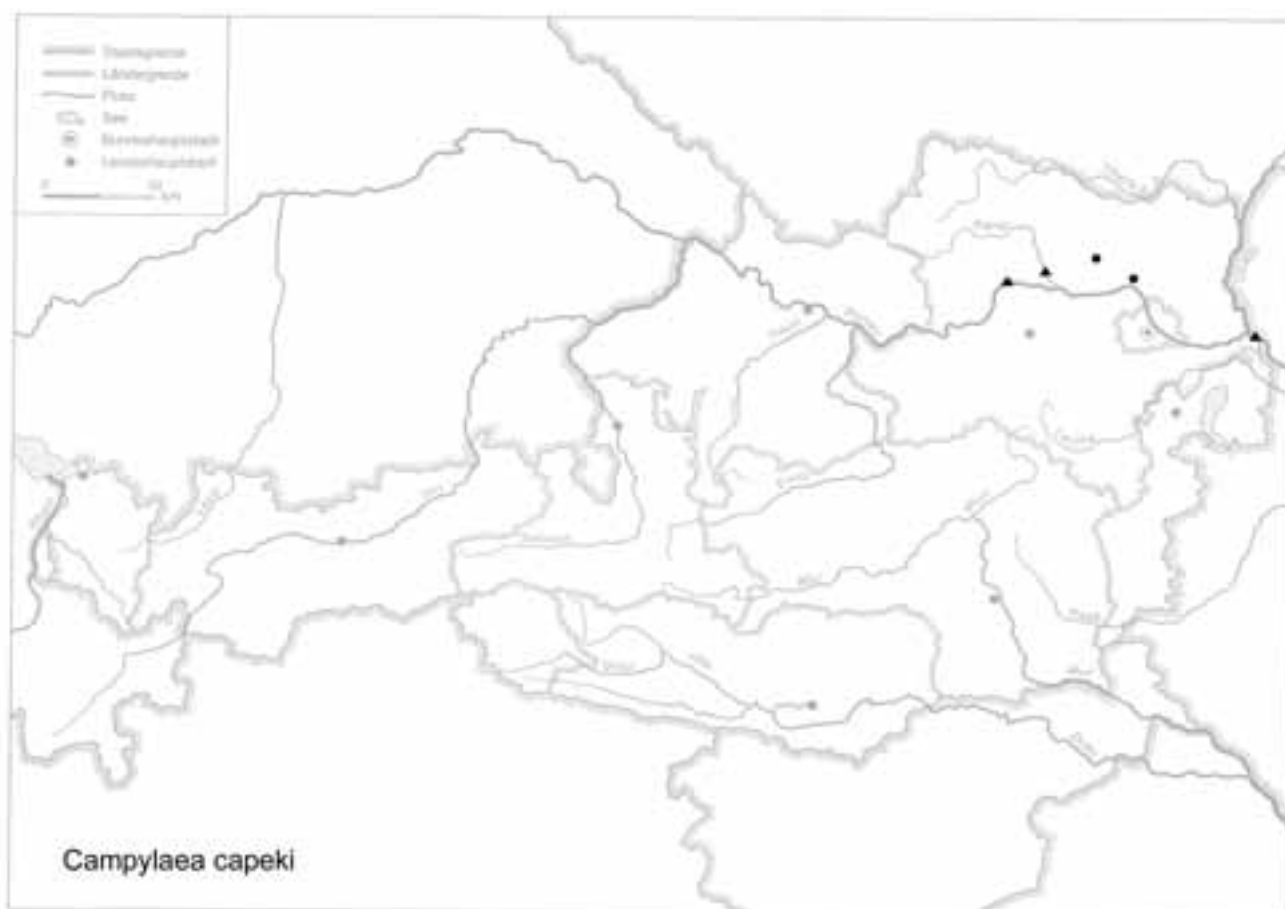
Hohlraumfüllung 2C1

Altpleistozän: *M. pliocaenicus*-Zone

Höhlenfüllung 22B, Höhlenfüllung 37

Altpleistozän: *M. prahintoni*-Zone

Schachtfüllung 4B



Altpleistozän: *M. nutiensis*-Zone

Schachtfüllung 4A

Altpleistozän

Kolkfüllung 27, Kolkfüllung 38, Kolkfüllung 43, Spalten- oder Höhlenfüllung 45

Gedersdorf b. Krems:

Wahrscheinlich Altpleistozän

Probe Nr. 5: Stichprobe oberhalb der Kalkkonkretionen

Krems, Schießstätte:

Ältestpleistozän

Probe KR 7/1: über Paläoboden 7, in der Mitte der mittleren Wand

Probe KR 8/2: unter Paläoboden 8, nördlich der Stützmauer

Zeitstellung Alt- bis Mittelpleistozän?

Paläoboden KR 5 (Braunlehm)

Mittelpleistozän

Probe KR 4/1: unter der Oberkante von Paläoboden 4

Neudegg:

Mittelplozän bis Ältestpleistozän?

mit Sand und Schotter vermischte Terra-rossa-Reste

Stranzendorf:

Mittelplozän

unterhalb von Rotlehm A (= A')

Rotlehm C

Oberplozän

Rotlehm I

Braunlehm F, G (cf.), M

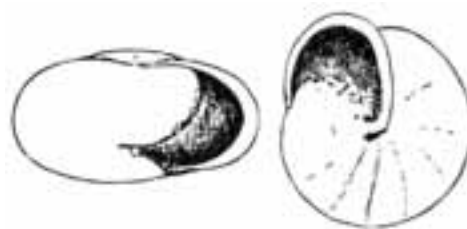


Abb. 104: *Campylaea capeki* (Typus): „Diam. max. 23–25–27 mm, min. 19–22 mm, alt. 15–16 mm“; aus PETRBOK (1922: p. 13).

***Chilostoma* FITZINGER 1833**

Groß, 18–27 mm B, gedrückt bis fast flach, 5½ ziemlich rasch zunehmende Umgänge, etwas glänzend, durchscheinend, heller bis dunkler hornfarben, mit dunkelbraunem Band etwas über der Peripherie, häufig darunter bzw. auch darüber eine hellere Zone. Wachstumsstationen gewöhnlich gelblich markiert. Oberfläche gestreift; wenigstens auf den letzten Umgängen mit sehr feinen und dichten, oft etwas welligen oder zackigen Spirallinien ($\times 15$); außerdem Zuwachslinien. Letzter Umgang gerundet, vor der Mündung stark absteigend. Mündung rundlich, schief; Ansatzstellen des Mündungsrandes einander genähert, gelegentlich durch eine dünne Parietalschwiele verbunden.

Rezent alpin; wenige Arten (nach WENZ u. ZILCH 1959: 705; EHRMANN 1956: 138, 139). – Ab Pleistozän.

***Chilostoma achates* (ROSSMÄSSLER 1835) (Karte 260)**

7–12 mm H : 17–29 mm B, 5–5½ Ugg. Sehr flach, scheibenförmig, dünnschalig, glänzend; gelblich- oder grünlichbraun, mit meist zwei rotbraunen Bändern, die eine helle Kielzone säumen und nach oben und unten meist unscharf in die Grundfarbe übergehen. Umgänge mäßig gewölbt; der letzte gegen die Mündung rasch und stark abstei-

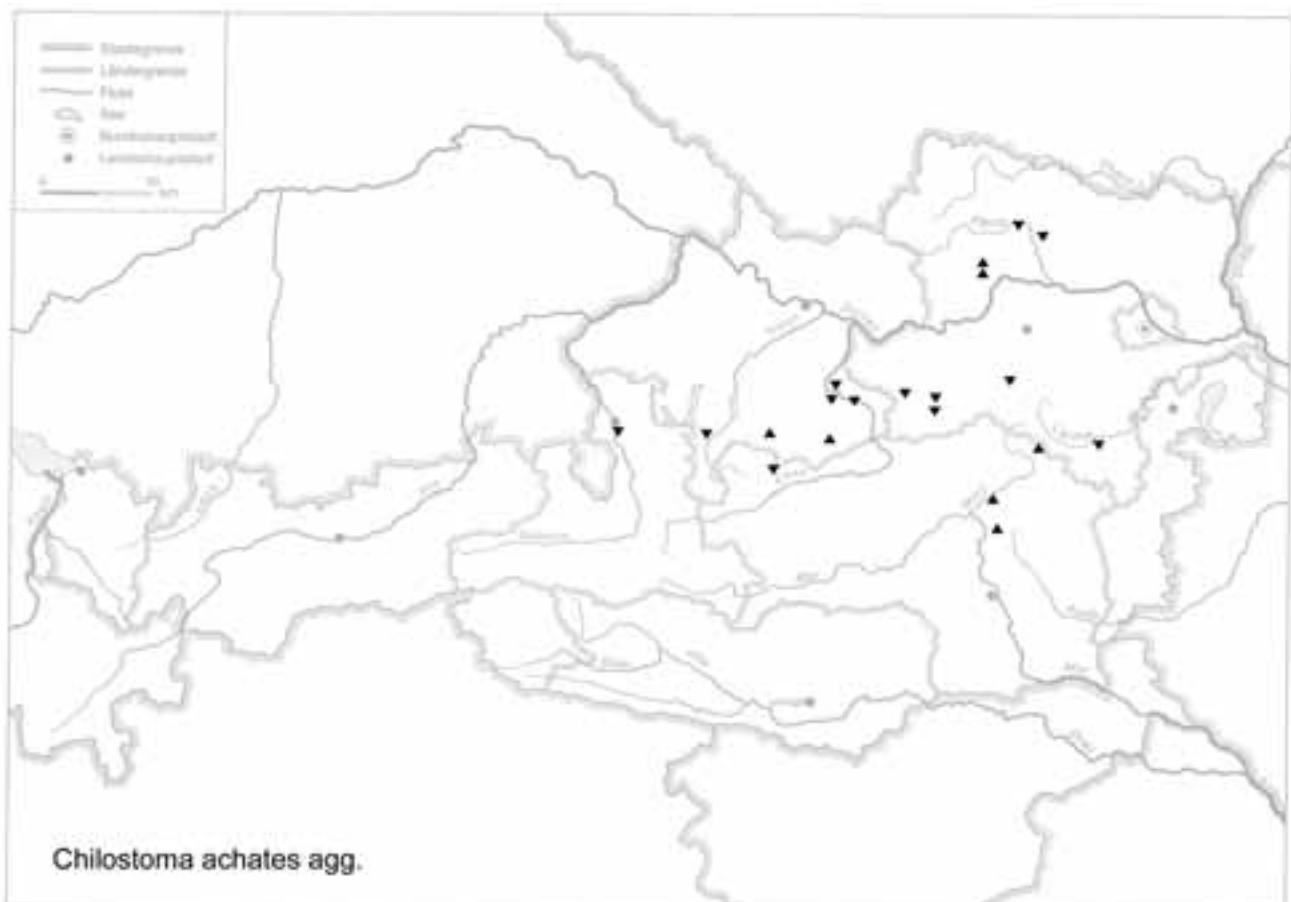
gend, stark gedrückt. Mündung schief, schmal, die Ansatzstellen des Mündungsrandes einander sehr genähert (auf 5½–4 mm); Mundsaum mäßig erweitert. Lippe ziemlich schwach entwickelt, diffus, weiß. Nabel ziemlich weit, perspektivisch. – Ziemlich variabel, mehrere Rassen.

An schattigen und feuchten Felsen oder am Boden, zwischen Wurzeln, Steinschutt, an Altholz; nicht kalkgebunden, bei feuchtem Wetter aktiv; gegen Besonnung empfindlich; 250–2700 m (in Südtirol bis 3000 m; JAECKEL, S. G. A. 1962: 192).

Ostalpen; im Westen geschlossen bis zu den Zillertaler Alpen und zerstreut bis zum Rheintal.

Chilostoma achates ichthyomma (HELD 1837) (Taf. LIV: 10–12) ist ein Ostalpenendemit; in Österreich weit verbreitet, vom Alpenostrand in Niederösterreich und der nördlichen Steiermark westwärts, bis Vorarlberg reichend, aber wenig ins Alpenvorland hinausgehend, mit isolierten Vorposten. Sie wird südlich der Mürz von der großen Rasse *Ch. achates stiria* (FORCART 1933) (Taf. LV: 1–3; Karte 261) mit Verbreitungszentrum im Grazer Bergland abgelöst (KLEMM 1974a: 426, 428–430; Karte 140). [Zum Namen *ichthyomma* (HELD) siehe KLEMM 1974a: 426, der der Ansicht ist, dass *a. achates* (ROSSMÄSSLER) nicht dasselbe sei. Diese sei südalpin

Karte 260



Karte 261



verbreitet: Osttirol, Westkärnten, Südtirol bis zur Etsch. In REISCHÜTZ 1998b: 43 wird *a. ichthyomma* in die Synonymie von *a. achates* gestellt.]

Quartärverbreitung ungenügend bekannt; pleistozän offenbar weiter als heute verbreitet (Thüringen; Mähren; JAECKEL, S. G. A. 1962: 192; HÄSSLEIN 1966: 124). Auch im Holozän noch ausgedehntere Verbreitung (Thüringen: Burgberg Ranis, bronzezeitlich: JAECKEL, S. G. A. 1962: 192; Niederösterreich: Kamegg, mittelholozän und Gars-Thunau, slawisch/jüngstholozän; FRANK 1992/93: 71; 2004: 51).

***Chilostoma achates* agg.**

Fundstellen

Abri von Elsbethen:

Präboreal, ausklingend
Qu. 20jF4/Grab II (cf.)

Brettsteinbärenhöhle:

Frühholozän
Grabungsstelle 2
Mittelholozän
Grabungsstelle 1

Burgstallwandhöhle I:

Jungpleistozän

westliche Nische am unteren Ende des Ganges (Lehmabfolge)

Gars-Thunau:

Jüngstholozän
Grabung 1986, H, Schn. 133, Lfm. 0, Sektor A, Sig. 11 (Fnr. 13096: cf.)

Herdengelhöhle:

Frühstes Holozän: Präboreal/Boreal
Probe 1: Eingangsbereich, Verfüllung
Spätglazial oder würmzeitlich?
Probe Nr. 2: Eingangsbereich, Abraumsediment
Frühes Mittelholozän
Probe Nr. 3: Eingangsbereich, Entkalkungshorizont

Hirschenfallhöhle:

Mittelholozän
Wurzeldom:
Probe Nr. 1 (grobes, sinteriges Substrat)
Probe Nr. 2 (grobes Substrat, mit vielen Knochen)
Probe Nr. 3 (grobes Substrat: cf.)

Junihöhle:

Jüngstholozän
Wasserfallhalle, Steinschutt (cf.)

Kamegg (TRNKA):

Epiatlantikum, 2. Hälfte

Grabung 1988, Schn. 23, Gra. II, AB-Prof.: Bpr. 9 (cf.)
Epiatlantikum, ausklingend
Grabung 1985, Schn. 9, Gra. II, O-Tor, N-Ende, N-Prof.
AB: Sig. 7
Grabung 1987, Schn. 18, Gra. I, W-Prof.: Bpr. 9, 10 (cf.)
Grabung 1991, Schn. 32, Gra. I, GH-Prof.: Seg. 2, Spr. 1
Epiatlantikum
Grabung 1981, Schn. 1, Lfm. 18, Plan. 4–5, Gra. I (Nr. 90)
Grabung 1981, Schn. 3: Verf. 1 (in 2 Proben aus Verf. 1)
Grabung 1987, Schn. 20, Gra. II, N-Prof.: Bpr. 11 (cf.), 12,
21
Grabung 1988, Schn. 25, Lfm. 2–4, Sektor I–J, Bpr. 93
(Nr. 886)
Grabung 1988, Schn. 26, Lfm. 2–3, Schlitzgru. 98 (Nr. 864:
cf.)

Knochenhöhle bei Kapellen:

Spätglazial
fossilführende Sedimente im Bereich der distalen abwärts
führenden Strecke

Köhlerwandhöhle:

Frühatlantikum
Grabungsstelle 1: Qu. F3 (100–105 cm); oberflächlich an der
Höhlenwand bei P12 (5 cm Schichtdicke: cf.)

Ofenberger Westhöhle:

Hochglazial?
Sedimentprobe

Salzofenhöhle:

Würmzeitlich
„Nagetierschicht II“

Schwabenreithöhle:

Jungholozän
Grabungsstelle 1: Wolkengang

Ternitz:

Hochmittelalter bis subrezent
Fnr. 393 (Sig. 190), 411 (194a)

Teufelsrast-Knochenfuge:

Spätglazial
Füllung

Chilostoma achates ichthyomma**Fundstellen** (in Karte 260 inkludiert)**Gamssulzenhöhle:**

Spätglazial
Fundstelle 1: Eingangshalle (120–150 cm 140–150 cm
150–165 cm 160–170 cm 170–240 cm Schichttiefe)

Muckenlucke:

Jungholozän
Humusschicht

Nixloch:

Aus frühholozänen und rezenten Störungen

Qu. J8, Qu. J12A, Qu. J13A, Qu. J/K14B, Qu. K/J15A, Qu.
K8, Qu. K10B, Qu. K13A, Qu. K..?, NL16 = Nebenhöhle,
NL32 = Nische westlich NL

1990: Qu. J8, Qu. K9A, Qu. K9B, Qu. K11A, NL86/NL22
Subrezent?

NL59 = Nebenhöhle

Rabenmauerhöhle:

Frühholozän
Grabungsstelle 2

Schusterlucke:

Frühwürmzeitlich (die Mollusken etwas jünger)
Kleinsäugerschicht

Chilostoma achates striae**Fundstellen****Große Badlhöhle:**

Spätglazial
unterer (= Haupt-)Eingang: Schicht 4, 4a (Kleinsäuger-
schicht)

Hausberghöhle I:

Epiatlantikum bis subrezent
Spaltenfüllung (Sedimentanschnitt)

Kalter-Keller-Schacht:

Jungholozän
Lehm, in ca. 45 m Tiefe

Lurgrotte, westlicher Seitenarm der Vorhöhle:

Jungpleistozän: Spätwürm
Profil 2: Stratigraph. Einheiten SE 51, SE 52+53, SE 53, SE,
54, SE 55, SE 55a, SE 55b, SE 60, SE 65, SE 69

Rittersaal:

Spätglazial
Schicht 5: oberer pleistozäner Schichtkomplex
Spätglazial, ausklingend
Schicht 4: oberer pleistozäner Schichtkomplex
Frühholozän?

Schicht 3b: holozäne Schichten

Schicht 3: holozäne Schichten

Schicht 2b: holozäne Schichten

Schicht 2a: holozäne Schichten

Schicht 2: holozäne Schichten

Frühholozän bis Mittelholozän?

Schicht 3g: holozäne Schichten

Tropfsteinhöhle am Kugelstein:

Hochglazial
Schicht 22d/24: pleistozäne Sedimente; unterer Komplex
Spätes Hochglazial bis Spätglazial
Schicht 16/16a: pleistozäne Sedimente; obere Schichten
Holozän

Schicht 12–15: primäre holozäne Schichten

Schicht 7–8: primäre holozäne Schichten

Schicht 6: primäre holozäne Schichten

Schicht 1–5: gestörter Profilanteil (Schichten 1–3) und primäre holozäne Schichten (4–5)

Tunnelhöhle:

Älter als Mittelwürm

Schicht 27: pleistozäne Sedimente

Mittelwürm?

Schicht 26: pleistozäne Sedimente

Hochglazial

Schicht 24: pleistozäne Sedimente

Jungholozän

Schicht 22-1: jüngster Schichtkomplex inkl. Planierschicht älterer Grabungen

Drobacia BRUSINA 1904

Groß, gedrückt, 24–30 mm B, ca. 6 Umgänge; hellhornfarben, mit kräftigen Zuwachslinien; dazu Spiralstreifen, dadurch fein gegittert bzw. gekörnelt. Letzter Umgang meist stumpfkantig, vor der Mündung etwas eingeschnürt; mit schmalem, rotbraunem Band. Mündung schief; Mündungsrand scharf, umgeschlagen, innen weiß gelippt. Mäßig weit und offen genabelt.

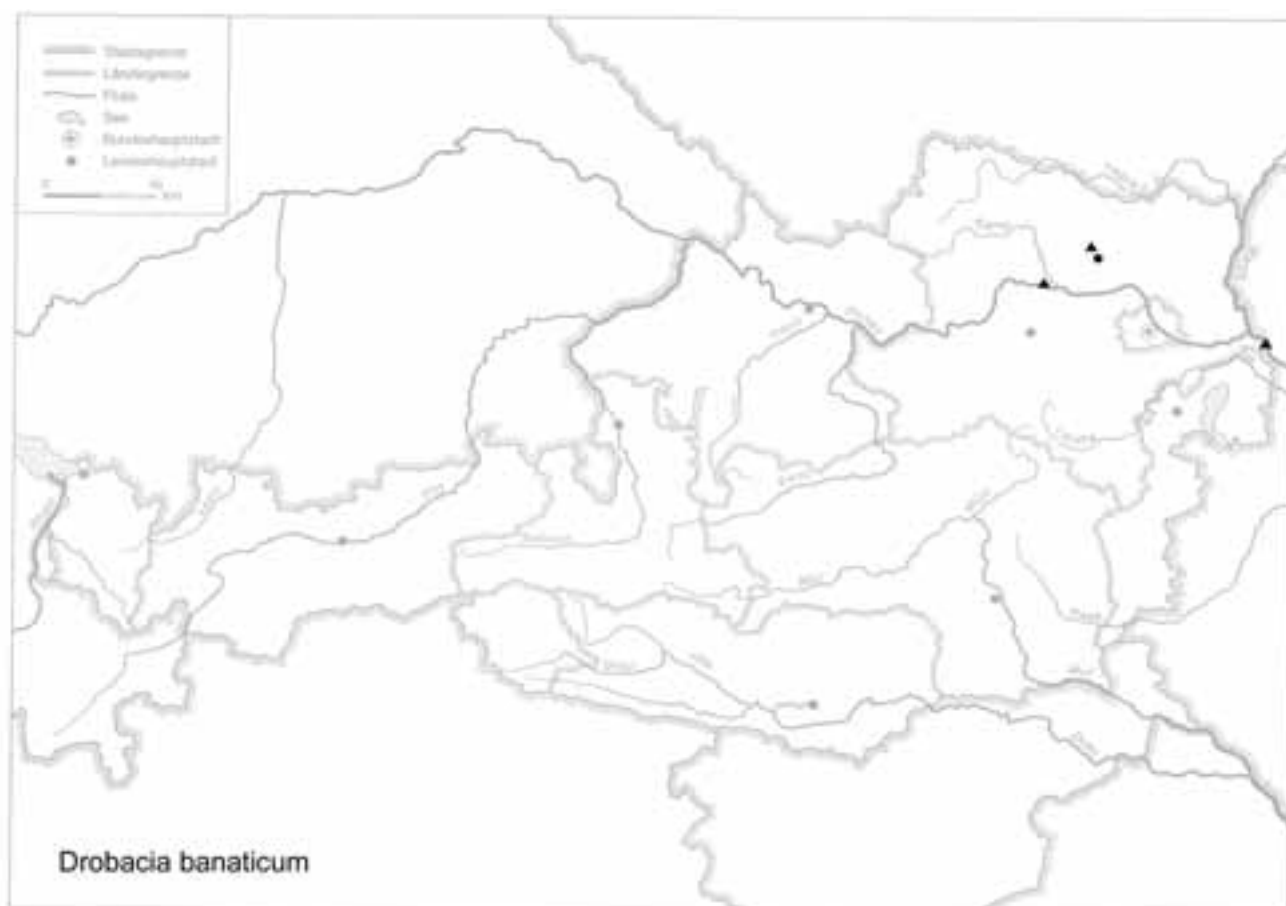
Rezent nur eine kleinräumig verbreitete Art (transsilvanische Gebirge, Banat); wenige Arten; ab Mittelmiozän (WENZ u. ZILCH 1959: 703–704; H. NORDSIECK 1986b: 113, 116).

***Drobacia banaticum* (ROSSMÄSSLER 1838)**

(Taf. LV: 4–6; Karte 262)

14–18 mm H : 25–30 mm B; 5½–6 Ugge. Dick-linsenförmig, festschalig, mit flach-konischem bis konischem Gewinde, hell bis dunkler hornfarben oder olivbraun, mit schmaler, rotbrauner Binde knapp über der Peripherie; fast glanzlos. Unregelmäßig gestreift, auf den oberen und mittleren Umgängen dicht gekörnelt; mit sehr dichten, etwas gewellten Spirallinien. Umgänge regelmäßig zunehmend; unterseits gut gewölbt, oberseitig erst fast flach, dann allmählich stärker gewölbt, gekielt; der letzte Umgang stumpfer gekielt, nur kurz vor der Mündung etwas herabsteigend. Mündung schief, querelliptisch, ausgeschnitten; Mundsaum ringsum erweitert, etwas abgestumpft, flach weiß gelippt; oben mit einer ± deutlichen breiten Einschnürung. Nabel offen, vom Spindelumschlag oft ⅓ bis ½ bedeckt. Typusart der Gattung. – Veränderlich; die Kielung stumpfer oder schärfer, die Gewindehöhe variiert ebenfalls. Gekielte Frag-

Karte 262



mente sind durch die Oberflächenskulptur von *H. lapicida* unterscheidbar.

Mäßig feuchte Wälder in niedrigen Lagen, im Überschwemmungsbereich von Flüssen [in Ungarn nur im Überschwemmungsgebiet, auch im anthropogen stark gestörten Bereich; DOMOKOS 1992a, 1994; FINTHA, SÜMEGI u. SZILÁGYI 1993 – stark anthropogen gestörte Weichholzau, mit dominant *Robinia pseudoacacia*, im Unterwuchs *Urtica dioica*, *Stellaria media*; auch im Sommer kühl-feuchtes Mikroklima, Julimittel etwa 20 °C; pH 5,5–6,0; Niederschläge während der Vegetationsperiode höher als 400 ml. Weiters auch DOMOKOS u. RÉPÁSI 2001 – Salicetum albo-fragilis, im Unterwuchs *Urtica dioica*, *Rubus caesius*, Jahresmittel: 9,5–11,7 °C (der letzten 10 Jahre) bzw. 388–695 mm Niederschlag.

Unter den vergesellschafteten Arten sind *F. fruticum*, *C. minimum*, *C. vindobonensis*, *H. pomatia*, *V. pulchella*, *Z. nitidus*. Neue Untersuchungsergebnisse (Große ungarische Tiefebene: Salicetum albo-fragilis/Fekete Körös; 540–640 mm Jahresniederschlag; siehe BÁBA u. DOMOKOS 2002)].

Rezent ost- und südkarpatisch; Südkarpaten und siebenbürgische Gebirge. Nach KERNEY, CAMERON u. JUNGLUTH (1983: 279) in Ostdeutschland (Quedlinburg) eingebürgert.

Hochinterglaziale Leitart. Pleistozän-warmzeitlich über die Westkarpaten, die Böhmisches Masse bis ins Harzvorland verbreitet; seit dem oberen Villafranchium nachgewiesen (H. NORDSIECK 1986b: 116–117). Die „Banatica-Faunen“ sensu LOŽEK (1964b: 138; 1969: 451–455, 458–461; 1978b; 2001: 151–152) sind größtenteils über die Karpaten in den Mittelgebirgsraum und in einige Teile der Altmoränenlandschaft vorgedrungen. Eine ähnliche Verbreitung wie die Leitart *D. banaticum* hatte die rezent banatische *Soosia diodonta* (s. dort). Weiters beteiligt waren Arten mehr südlicher (südalpiner) Herkunft wie z. B. *Ae. ressmanni*; auch *Ae. verticillus*, *M. densestriata*, *D. perspectivus*, *P. pagodula*; vor allem letztinterglazial *H. obvoluta*, *R. filigrana*, *L. plicata* u. a. Die Zusammensetzung dieser hochwarmzeitlichen Gemeinschaften entspricht in vieler Hinsicht denen, die heute in der submontanen Stufe wärmerer Gebiete leben, doch sind sie artenreicher und zeigen deutliche Unterschiede im Verbreitungsbild vieler Arten. Das hochwarmzeitliche Klima war auch deutlich feuchter als das heutige. Voll entwickelte Waldfaunen lebten auch in heute trocken-warmen Gebieten. Ältest- und altpleistozäne Gemeinschaften enthielten mehrere danach bzw. heute ausgestorbene Arten wie *C. čapeki*, *Z. sepultus*, *Gastrocopta serotina* u. a. Neben der reichen Entfaltung der Waldarten waren auch xerotherme Offen- und Halboffenlandarten vertreten (*G. frumentum* – sie ist in den jüngeren Warmzeiten relativ selten und fehlt dort, wo sie heute in starken Beständen vorkommt). Echte „Steppenarten“ (*Ch. tridens*, *H. striata*) sind in Hochwarmzeiten selten. „Banatica-Faunen“ in typischer Zusammensetzung

waren nur im zentralen und östlichen Mitteleuropa entwickelt. In den nördlichen Tiefebene waren die Bestände artenärmer; gegen Westen klingen die Leitarten meist aus. Einzelne, z. B. *R. filigrana*, reichten interglazial bis Südfrankreich und England. – Siehe auch FÜKÖH, KROLOPP u. SÜMEGI (1995: 32–33): „*Helicigona banatica*-*Phenacolimax annularis*-Biozone“; unter den Begleitarten sind u. a. *Ch. (M.) bielzi*, *Ae. verticillus*, *D. rufa*, *D. brevipes*, *S. diodonta*; in Nordungarn *P. dibothryon*. Die pleistozänen Fundstellen in Ungarn liegen nur in den nördlichen Bergen; aus der Tiefebene ist *D. banatica* pleistozän nicht bekannt. Aus dem älteren Holozän liegt sie von der Fundstelle Bélmegyer vor, wo sie sich im beginnenden Atlantikum etablierte und durch anthropogenen Einfluss wieder verschwunden ist (FINTHA, SÜMEGI u. SZILÁGYI 1993). Holozän auch in Siebenbürgen gemeldet (JAECKEL, S. G. A. 1962: 190–191). – Zum pleistozänen Vorkommen in Polen siehe auch SKOMPSKI (1986: 252), POLIŃSKI (1924: 227–228).

Die „Banatica-Faunen“ besitzen Analogien in den westeuropäischen Gebieten, wobei in diesen Gemeinschaften Arten vorkommen, die gegenwärtig viel südlicher leben (LOŽEK 1964b: 138; 1969: 458–461).

Fundstellen

Furth, Hohlweg:

Jungpleistozän

Unterkante der „Göttweiger Bodenbildung“

Hundsheim:

(Frühes) Mittelpleistozän

Proben Nr. 1 und 2 (Füllmaterial)

Neudegg:

Mittelplozän bis Ältestpleistozän?

mit Sand und Schotter vermischte Terra-rossa-Reste (cf.)

Radlbrunn:

Ältestpleistozän

Probe Nr. 4: „Fossiler Boden“

Faustina KOBELT 1904

Mittelgroß bis groß, 12–32 mm B; 4½–6 Umgänge; gedrückt bis fast flach; nur Zuwachslinien, sonst glatt; am letzten Umgang 1–3 dunkle Bänder. Mündung quereiförmig, Mundsäuminsertionen einander genähert. Eng bis ziemlich weit genabelt.

Südosteuropa; einige Arten. – Quartär bis dato wenig bekannt.

Faustina faustina (ROSSMÄSSLER 1835)

(Taf. LV: 7–8; Karte 263)

8–11 (11,2) mm H : 15–20 mm B; 4¾–5¼ Ugge. Gedrungen-scheibenförmig bis gedrückt-rundlich, stark glänzend, gelb- bis rötlichbraun; meist mit kräftigem, dunklem Band

unmittelbar über der Peripherie, das beiderseits von einer \pm verwischten helleren Zone begleitet wird; oder einfarbig stroh- bis braungelb. Relativ festschalig, fein und unregelmäßig gestreift, ohne Spirallinien; Embryonalschale sehr fein gekörnelt. Umgänge gut gewölbt, der letzte peripher gerundet, gegen die Mündung langsam, zuletzt stärker absteigend. Mündung quer-kurzelliptisch, steil gestellt; Mundsaum rasch und kräftig erweitert, mäßig und flach weißlich bis bräunlich gelippt; die Insertionsstellen ziemlich weit voneinander entfernt (4,5–5 mm). Nabel mäßig weit bis weit, alle Umgänge zeigend, wenigstens 2/5 der Breite des letzten Umganges an der Mündung einnehmend. – Ziemlich veränderlich in Größe, Gewindehöhe, Färbung, Nabelweite; die helle Zone beidseits des Bandes kann deutlich bzw. nicht vorhanden sein, die Umgänge können schwächer gewölbt sein, die Lippe schwächer; mit zunehmender Höhe meist kleiner (POLIŃSKI 1924: 217–221).

Mäßig feuchte bis feuchte, schattige Felsen; feuchte Hangwälder mit Geröllen; auch Ruinen; oft an Stauden sitzend; nicht kalkgebunden; bis etwa 1800 m.

Karpaten und Vorgebirge; im Süden bis Nordbosnien, im Westen bis Ostböhmen; Polnischer Jura; isoliert in Litauen.

Quartär wenig bekannt; pleistozän bis jetzt spärlich gemeldet; holozän im heutigen Areal; warmzeitlich und offenbar auch in wärmeren kaltzeitlichen Phasen. Überdauerungsmöglichkeiten dürften für sie und andere Arten im slowakischen Karst bestanden haben (LOŽEK 1964b: 308; Taf. XXVIII/3abc; 2000: 47–48, Tab. 8).

Fundstellen

Deutsch Altenburg:

Altpleistozän

Spalten- oder Höhlenfüllung 45 (cf.)

Hundsheim:

(Frühes) Mittelpleistozän

Proben Nr. 1 und 2 (Füllmaterial: cf.)

Stranzendorf:

Mittelplozän

unterhalb von Rotlehm A (= A') (cf.)

Rotlehm C (cf.)

Oberpliozän

Braunlehm M (cf.)

Lößpaket K/L (cf.)

Karte 263



Die Zugehörigkeit der nachfolgend beschriebenen Art zu den Ariantinae wird derzeit angenommen, daher wird sie auch im Anschluss an diese Gruppe besprochen:

„*Klikia (Klikia) altenburgensis* BINDER 1977

(Taf. LV: 9–11; Karte 264)

Beschreibung nach BINDER (1977: 43–44; Taf. 13, Fig. 72, 74, 76; Taf. 14, Fig. 81): 6,4–9 mm H : 13,2–14,9 mm B; 14,9–17 mm „Länge“ (?); „Abstand vom Außenrand der Lippe bis zum Nabel: 8–9,9 mm. Längster Mündungsdurchmesser: 7,3 mm. Kürzester Mündungsdurchmesser: 4,4 mm;“ 5–5½ Ugge. Meist flachkonisch, selten fast eingeebnet; die Umgänge wenig gewölbt, langsam und regelmäßig zunehmend, der letzte ziemlich gerundet. Manchmal ist ein gelbliches Band etwas oberhalb der Peripherie sichtbar. Oberfläche mit flachen Rippen, vor allem auf dem letzten Umgang, die älteren rippenstreifig, unterseitig schwächer. Mündung wenig absteigend, etwas eingeschnürt und breit, Mundrand gelippt, basal und außen umgeschlagen; vom Spindelrand nach einer Kante in den verdickten Basalrand übergehend. Durch den umgeschlagenen Mundsäum wird eine deutliche Furche gebildet; Nabel deutlich, vom Mundsäumumschlag ein wenig verdeckt.

Von vergleichbaren tertiären Arten durch die stärkere Skulptur und die deutlichere Verdickung des Basalrandes abgrenzbar. – Hinsichtlich der Windungshöhe variabel. L. typ.: „Deutsch Altenburg 4“; strat. typ.: Fundschicht 4B (Altpleistozän; braune Lehmlinsen im Schutt; „*M. prachintoni*-Zone“; siehe FRANK u. RABEDER 1997s: 246, 381).

Nach H. NORDSIECK (1986b: 115) gehört diese Art nicht zur *Klikia*-Gruppe, sondern zu den Ariantinae; in die Nähe der *Chilostoma brunneri* HÄSSLEIN 1958, deren Beschreibung (nach HÄSSLEIN 1958: 37–39; Abb. 1–3) im Folgenden angeschlossen wird.

Zur *Klikia*-Gruppe gehören *Klikia* PILSBRY, *Apula* C. BOETTGER und *Soosia* HESSE (s. vorher; H. NORDSIECK 1986b: 112–113). Die Gattungsdiagnose von *Klikia* PILSBRY 1895 ist nach PFEFFER (1929: 83–84) folgendermaßen: 4⅓–5¼ Umgänge; scheibenförmig mit „kurz aufgesetztem Windungskegel“ bis fast kugelig-kegelförmig mit gewölbtem Gewinde; Naht ± eingetieft. Embryonalschale 1¼–1½ Umgänge, ± regelmäßig und ziemlich fein runzelig gerippt, die Rippen können längliche Auflagerungen tragen. An der Grenze zum Teleoconch manchmal eine korbartig geflochtene Skulptur oder die Auflagerungen sind tropfenförmig, bei ± Verschwinden der Rippen. Am Teleoconch sind die Rippen in feine Fäden aufgelöst, die ± deutlich erkennbar sind. Vor allem auf dem letzten Umgang treten „flache Andeutungen von gefädelten Haupt- und Nebenrippen auf, ebenso nehmen die Fäden auf der letzten Windung manchmal die Form eines Korbgeflechtes an“. Diese Fadenstruktur verläuft sehr

steil; mit ± deutlichen Auflagerungen. Mündung schief, breit-halbmondförmig; extralabiale Depression tief und breit; Mündungsrand als ziemlich dicke und ziemlich breite saumartige Platte umgeschlagen. Letzter Umgang vor der Mündung nicht oder nur schwach herabsteigend; Unterrand des Mundsäum ganz allmählich zu der sehr schrägen und langen Columella ansteigend. Nabel ± breit, von der Columellarplatte nicht, zum Teil oder völlig bedeckt. Parietalkallus in einfachem, geschlossenem Bogen verlaufend (siehe auch WENZ u. ZILCH 1959: 706–707). – Im Vergleich dazu die Beschreibung von

Helicigona (Chilostoma?) brunneri HÄSSLEIN 1958: 6,1–7,2 mm H : 13–15 mm B; 5½–6 Ugge. Gedrückt mit stark abgeplattetem, eng aufgewundenem Gewinde, Ober- und Unterseite abgeflacht; dünnchalig, mit groben Zuwachstreifen und feinen Radiallinien. Ein deutliches Peripherieband und Spuren eines bräunlichen Periostracums sind erkennbar. Die Umgänge am Anfang gekantet, dann gerundet; langsam zunehmend, der letzte knapp doppelt so breit wie der vorletzte, etwas absteigend. Die Mündung quereliptisch, etwa 45° zur Achse geneigt, der Unterrand schwach gestreckt und flachbogig aufgewölbt, gegen die Spindel stumpf gewinkelt. Mundsäum verdickt, kräftig umgeschlagen, die Ansätze relativ weit auseinander liegend und durch eine dünne Auflagerung auf der Mündungswand verbunden. Nabel mäßig weit, die inneren Umgänge zeigend, vom Spindelumschlag tangiert. – L. typ.: „Breitenberghöhle bei Gößweinstein (Bayern, Reg.-Bez. Oberfranken)“; strat. typ.: gelber Dolomitsand „mit lehmigen Streifen und Flecken, Knochenschrott, Tuffbrocken, kleinen Tropfsteinen, Dolomitstücken und Kalkkonkretionen“. Assoziiert sind bemerkenswerte, meist hochwarmzeitliche Arten wie *A. goodalli*, *F. rosmässleri*, *P. pagodula*, *C. cruciata*, *M. densestriata*, *M. plicatula*, *F. interruptus*, *D. perspectivus*, *Ae. verticillus*. HÄSSLEIN (1958: 39) zieht eine Einstufung ins „Mindel-Riß-Interglazial“ besonders in Erwägung; als Lebensraum Feuchtwald.

Sie ist von den übrigen kleinen Helicigonen durch die Merkmalskombination der Diagnose (stark abgeplattetes, enges Gewinde, mäßig erweiterter letzter Umgang, Basalrand und Mundsäumansätze) verschieden. Die südostalpine *Kosicia*-Gruppe besitzt mehrzählige Bänderung, eine Skulptur aus Spirallinien, Rippung und Körnelung; innerhalb der karpatischen *Faustina*-Gruppe besitzt jede Art nicht zu *brunneri* passende Charaktere [*F. faustina* – mehr gerundete Mündung; *F. rosmässleri* (L. PFEFFER 1842) – scharfer, sehr schwach gelippter Mundsäum, auffallend erhöhtes Gewinde u. a.]; Unterschiede sind auch gegenüber den *Chilostoma*- bzw. *Campylaea*-Arten feststellbar. Einige Übereinstimmungen bestehen mit *Campylaea illyrica* (STABILE 1864). Nach Gestalt und Mündungsbeschaffenheit könnte ein Anschluss bei *Chilostoma*, nach Größe und Oberflächenskulptur sowie



Fundort bei *Faustina* gesucht werden (siehe auch HÄSSLEIN 1960: 123; JAECKEL, S. G. A. 1962: 192).

H. (Ch.?) brunneri ist anscheinend nur von der Typuslokalität bekannt. Fast alle Individuen sind beschädigt oder bruchstückhaft erhalten.

Die Altenburger Art scheint auch mir nicht zu *Klikia* oder *Apula* zu gehören (FRANK 1993c). Die von H. NORDSIECK (1986b) angenommene Position innerhalb der Ariantinae ist viel eher wahrscheinlich.

Fundstellen

Deutsch Altenburg:

Ältestpleistozän

Spaltenfüllung 17, Spaltenfüllung 18 (?)

Ältestpleistozän: Jungvillányium

Spaltenfüllung 3

Altpleistozän: *M. pliocaenicus*-Zone, tieferes Niveau

Hohlraumfüllung 30A

Altpleistozän: *M. pliocaenicus*-Zone

Höhlenfüllung 35, Höhlenfüllung 37

Altpleistozän: *M. praehintoni*-Zone

Schachtfüllung 4B

Altpleistozän: *M. nutiensis*-Zone

Schachtfüllung 4A

Altpleistozän

Höhlenfüllung 5B, Spaltenfüllung 6, Höhlenfüllung 31,

Spaltenfüllung 33 (?), Kolkfüllung 38, Kolkfüllung 43,

Spalten- oder Höhlenfüllung 45

Tiefes Mittelpleistozän

Spalten- oder Höhlenfüllung 28

Hundsheim:

(Frühes) Mittelpleistozän

Probe Nr. 2 (Füllmaterial)

Stranzendorf:

Oberpliozän

Braunlehm F (cf.)

Cylindrus FITZINGER 1833

Zylindrisch mit halbkugelig-gerundetem Spitzenteil; mittelgroß, ± 7 Umgänge; opak grau- bis bläulichweiß, schwach glänzend, fein gestreift. Ungenabelt; Mündung schief-elliptisch; Mundsaum schwach erweitert.

Ostalpin. – Pleistozän bis rezent; 1 Art.

***Cylindrus obtusus* (DRAPARNAUD 1805)**

(Taf. LV: 12–14; Karte 265)

11–13 mm H : 4,0–4,5 mm B; 7–8 Ugge. (nach EDLINGER 1999: 9,8–17,2 mm H : 4,1–6,0 mm B; 3,0–4,7 mm Mdgh; 6–9 Ugge.). Zylindrisch-walzenförmig, Apex kugelig gerundet; festschalig, stumpf glänzend; weißlich blaugrau; Embryonalgewinde (2½–3 Umgänge) durchscheinend hornbraun; individuell wechselnd auch die übrige Schale mit solchen Flecken und Striemen. Ohne Körnelung und Spiralstreifung; sehr feine Anwachsstreifen. Umgänge schwach gewölbt, langsam und regelmäßig zunehmend; der letzte zur Basis hin etwas verschmälert, ziemlich hoch. Mündung rundlich-elliptisch, mit gestrecktem Spindel- und bogigem Außenrand; wenig ausgeschnitten. Mundsaum schwach erweitert, innen etwas lippig verstärkt. Ungenabelt. – Über die Morphometrie wurde in neuerer Zeit von EDLINGER (1998, 1999), auch von FREITAG u. DESCH (1996) gearbeitet; ausführlich von ADENSAMER (1937, 1938). Die Populationen scheinen morphologisch nicht einheitlich zu sein; nach EDLINGER (1999) sind die von Schneeberg und Rax mehr konisch; nach den beiden letzteren Autoren werden die Abmessungen in extremen Höhen deutlich geringer.

Hygrophil und kalkbedürftig; in Schneetälchen, unter Geröll und Steinschutt, zwischen Kräutern in Alpenrasen, im Bereich der Krummholzvegetation und darüber, in feuchten, hochalpinen Grasheiden, gerne in dunklem Humus vergraben; meist Nordexpositionen; 1100–2680 m, individuenreiche Bestände zwischen 1700 und 2500 m; nach neuen Funddaten tritt sie rezent auch unterhalb von 1000 m auf (FRANK 1992c: 503, 542: Kleiner Ödsee/Oberösterreich, 897 m). Die Beobachtungen von FREITAG u. DESCH (1996) (Fundorte Nr. 228, 234, 233, 240) zeigten, dass die Tiere im Sommer bis 40 cm tief in verlassene Mäuselöcher eindringen können; das Eingraben in Humus erfolgt innerhalb weniger Minuten. Im Winter wurden sie auf ausapernden Graten und Rippen beobachtet. Wenn die Bodentemperatur +3 °C bis +5 °C beträgt, werden sie in kurzer Zeit aktiv. Zumindest im Hochsommer sind sie nahe von Dolinen, diese sind oft über den Sommer schneegefüllt. Die Eiablage erfolgt an der Unterseite sehr strukturierter Steine. Als Futterpflanzen im Hochschwabmassiv wurden registriert: *Achillea atrata*, *Arabis alpina*, *Aster bellidiastrum*, *Campanula cochleariifolia*, *Carex sempervirens*, *Dryas octopetala*, *Galium anisophyllum*, *Juncus monanthos*, *Ranunculus nemorosus*, *Saxifraga moschata*, *Soldanella austriaca*. Unter den vergesellschafteten Gastropodenarten sind *C. lubrica*, *G. frumentum* (an Felsstandorten ähnliche Lebensweise wie *C. obtusus*), *O. dolium*, *O. gularis*, *C. dubia*, *C. laminata*, *M. plicatula*, *N. corynodes*, *P. varians*, *Eucobresia nivalis* (DUMONT u. MORTILLET 1852), *Ae. nitens*, *P. unidentata*, *T. hispida*, *A. arbustorum*, *Ch. achates ichthyomma*. An dem bis dato tiefst gelegenen rezenten Standort am Kleinen Ödsee lebt sie mit *C. laminata*, *M. plicatula*, *S. semi-*

limax, *V. subrimata*, *Ae. nitens*, *M. incarnatus*, *C. holosericea*, *V. crystallina*, *P. pygmaeum*, *E. fulvus*.

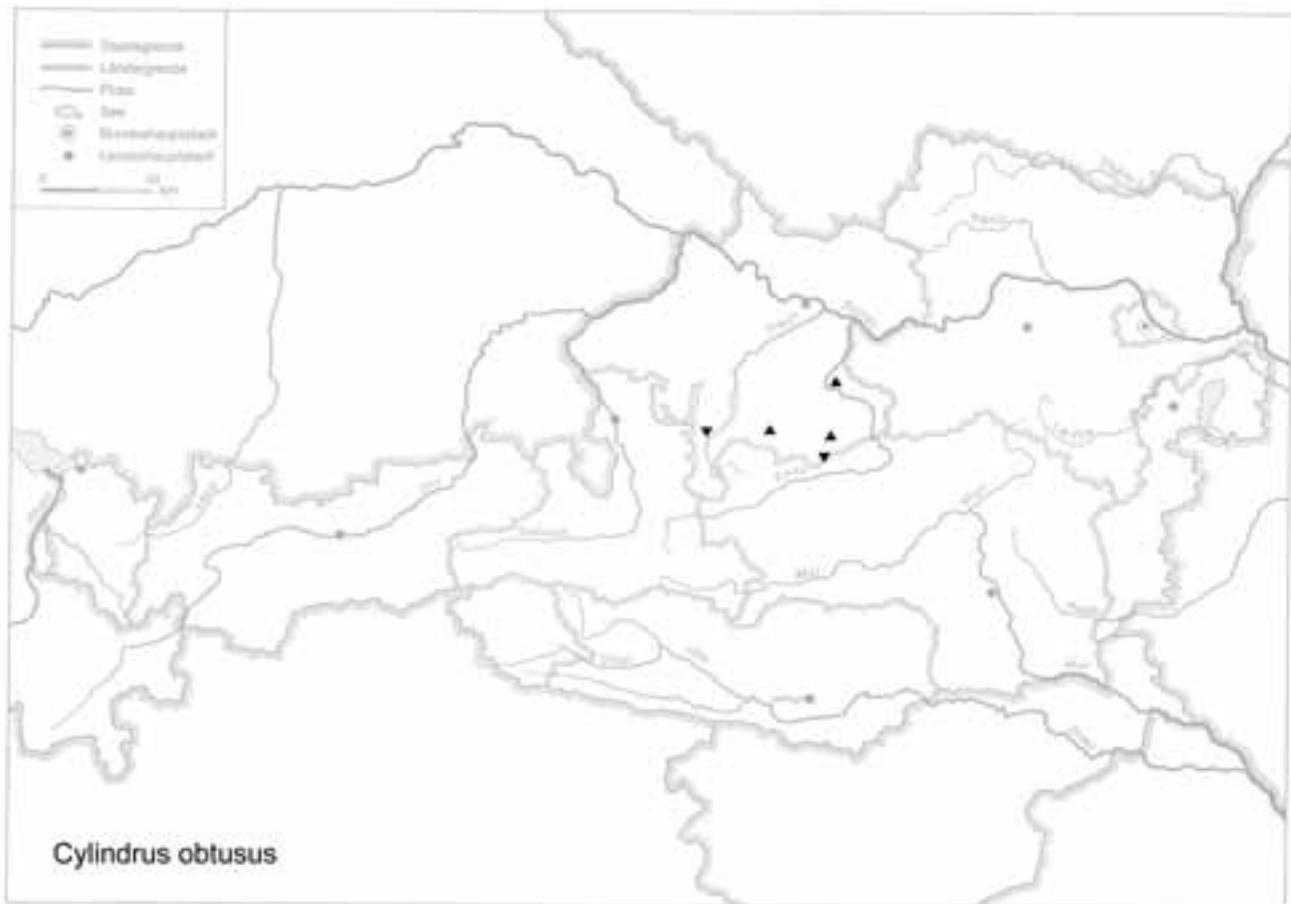
Endemit der Ostalpen; östlicher Teil der nördlichen Kalkalpen vom Westrand des Dachsteinmassivs bis zum Schneeberg, im Süden vom Großglocknergebiet bis zu den Radstädter Tauern. Die Fundorte werden seit 1895 fortlaufend nummeriert. (u. a. v. MARTENS, 1895; KLEMM 1974a: 448, 450–453; Karte 147; 1974b; SCHÜTT 1977; KREISSL 1989; auch SATTMANN, KLEWEIN u. BAMINGER 1995; SCHILEYKO 1996).

Über die Quartärverbreitung wurden ausführliche Überlegungen angestellt, so von ADENSAMER (1937: 91–103), FRANZ (1943: 494, 529) u. a. Die Art muss zur präglazialen hochalpinen Fauna gehört, d. h. auf eisfreien Stellen überdauert haben. Tiefer gelegene Positionen wurden wahrscheinlich postglazial erreicht.

In diesem Zusammenhang interessant ist die Beobachtung von FREITAG (1989) auf dem Hieflerkogel westlich von Vorderberg (14. 1. 1989, 1700 m Seehöhe): Eine starke Population durchschnittlich großer Tiere am Fuß einer steilen Flanke, die mehrmals jährlich von Lawinenschnee überzogen wird, kroch am Vormittag aktiv, teilweise auf dem Schnee, nach einer Nachttemperatur von –16 °C; die Temperatur stieg am Vormittag auf +2 °C an. Die Tiere leben dort in den Schrofen auf den aus dem Lawinenschnee herausragenden Felsinseln. Somit ist *Cylindrus obtusus* als „frostsicher“ (zit. aut.) ausgewiesen, kann also lebend mit Lawinen befördert werden, und so an neuen Standorten neue Populationen entwickeln. Bezeichnenderweise befinden sich die tiefst gelegenen Fundorte von FREITAG (1989) entweder unterhalb von Felsabbrüchen oder am Rand von Schuttrinnen, und sind wahrscheinlich durch die Einwirkung von Regengüssen oder von Lawinenabgängen entstanden.

FRANZ (1943: 494, 529) schreibt über den Standort Gamsgrube (Großglocknergebiet/Kärnten) folgendes: „Wieso sich diese Schnecke, die früher zweifellos im Glocknergebiet eine weitere Verbreitung besessen hat, gerade an dieser Stelle bis heute erhalten hat, während sie sonst gegenwärtig nirgends mehr im Bereiche der Pasterze vorkommt, ist noch ungeklärt. Vermutlich haben ihr an den verhältnismäßig warmen und gleichzeitig dauernd feuchten Hängen die lokalklimatischen Verhältnisse besonders entsprochen.“ Weiters: „... *Cylindrus obtusus* besiedelt somit in den mittleren Hohen Tauern nur einige eng begrenzte Reliktstandorte, die jedoch nicht wie die Reliktposten der Würmüberwinterer in hohen Lagen über dem Niveau der eiszeitlichen Talgletscher gelegen sind, sondern im Gegenteil an der unteren Grenze der alpinen Grasheidestufe mitten in einer von Gletschern geformten Rundhöckerlandschaft. Die Art kann an diese Stellen erst in postglazialer Zeit gelangt sein, und zwar nur zu einem Zeitpunkt, wo sie auch in den heute von ihr gemiedenen rauen Lagen des Tauernhauptkammes, der

Karte 265



die rezenten Reliktstandorte trennt, zu leben vermochte. Als solcher Zeitpunkt kommt ausschließlich die postglaziale Wärmezeit in Frage, während welcher nicht nur die Waldgrenze, wie wir sahen, um mehrere 100 m nach oben verschoben war, sondern auch die Verbreitung vieler Tiere höher empor reichte als gegenwärtig. Bei *Cylindrus obtusus* muss diese Verschiebung nach oben mindestens 200 m betragen haben, da die rezenten Standorte der Schnecke beiderseits der Weißenbachscharte so weit unterhalb des Tauernhauptkammes liegen. *Cylindrus obtusus* ist demnach im Gebiete eines der seltenen Beispiele wärmezeitlicher Ausbreitung einer hochalpinen Tierart, bei welcher bereits aufgrund der verhältnismäßig geringen Klimaverschlechterung in den letzten Jahrtausenden wieder eine erhebliche Arealverminderung zu beobachten ist. Dieses Beispiel gibt ... einen Begriff von der Anpassungsfähigkeit der die Hochalpen bewohnenden Tierwelt, die gewissermaßen nur darauf wartet, dass ihr die Natur einmal günstigere Lebensbedingungen bietet, um sich mit deren Hilfe sofort neue Lebensräume zu erobern.“

Das eng umschriebene Verbreitungsgebiet, die Konzentration der Fundpunkte im Gebiet des Dachstein-, Wetter-

stein- und Gutensteiner Kalkes, die Monospezifität der Gattung sowie die von den übrigen Ariantinae völlig abweichende Morphologie sind diesbezüglich wichtige tiergeographische Aspekte. Leider ist diese Art nur von einzelnen pleistozänen Fundstellen bekannt. Sicher spielen hier auch ungünstige Erhaltungsbedingungen, die bevorzugte Höhenlage der Vorkommen und die Präferenz für dunklen Humusboden (zerstörende Huminsäuren) eine wichtige Rolle. Da die Ariantinae schon frühzeitig vertreten waren (vom Miozän an nachweisbar), muss die Differenzierung von *Cylindrus* ebenfalls schon früh angesetzt werden, nicht zuletzt wegen der isoliert dastehenden Schalenform (ADENSAMER 1937: 109–110).

Fundstellen

Gamssulzenhöhle:

Spätglazial

Fundstelle 1: Eingangshalle (120–150 cm/140–150 cm/150–165 cm/160–170 cm/170–240 cm Schichttiefe)

Junihöhle:

Jüngstholozän

Touristengang, Fließwasserbereich (cf.)

Nixloch:

Spätglazial

Kleinsäugerschicht (= Schicht A): Qu. J/K15A, Qu. K8, Qu. K13A, Qu. K..?, Qu. L14A

1990: Qu. J8, Qu. K9A, Qu. L14

Ramesch-Knochenhöhle:

Holozäne Schicht

Eingangshalle

Salzofenhöhle:

Würmzeitlich

Probe Nr. 2 („Obere Nagetierschicht“)

Probe Nr. 4 („Tiefere, schwarze Nagetierschicht“)

Probe Nr. 11 (ohne Bezeichnung)

Probe Nr. 12 (Elmgrube, östlich des Salzofens, 1800 m)

***Isognomostoma* FITZINGER 1833**

Mittelgroß, ca. 10 mm B; gedrückt-kugelig, etwa 5 Umgänge, braun, dicht behaart. Letzter Umgang gerundet; Mundsaum erweitert, weiß gelippt; Nabel fast bis ganz bedeckt.

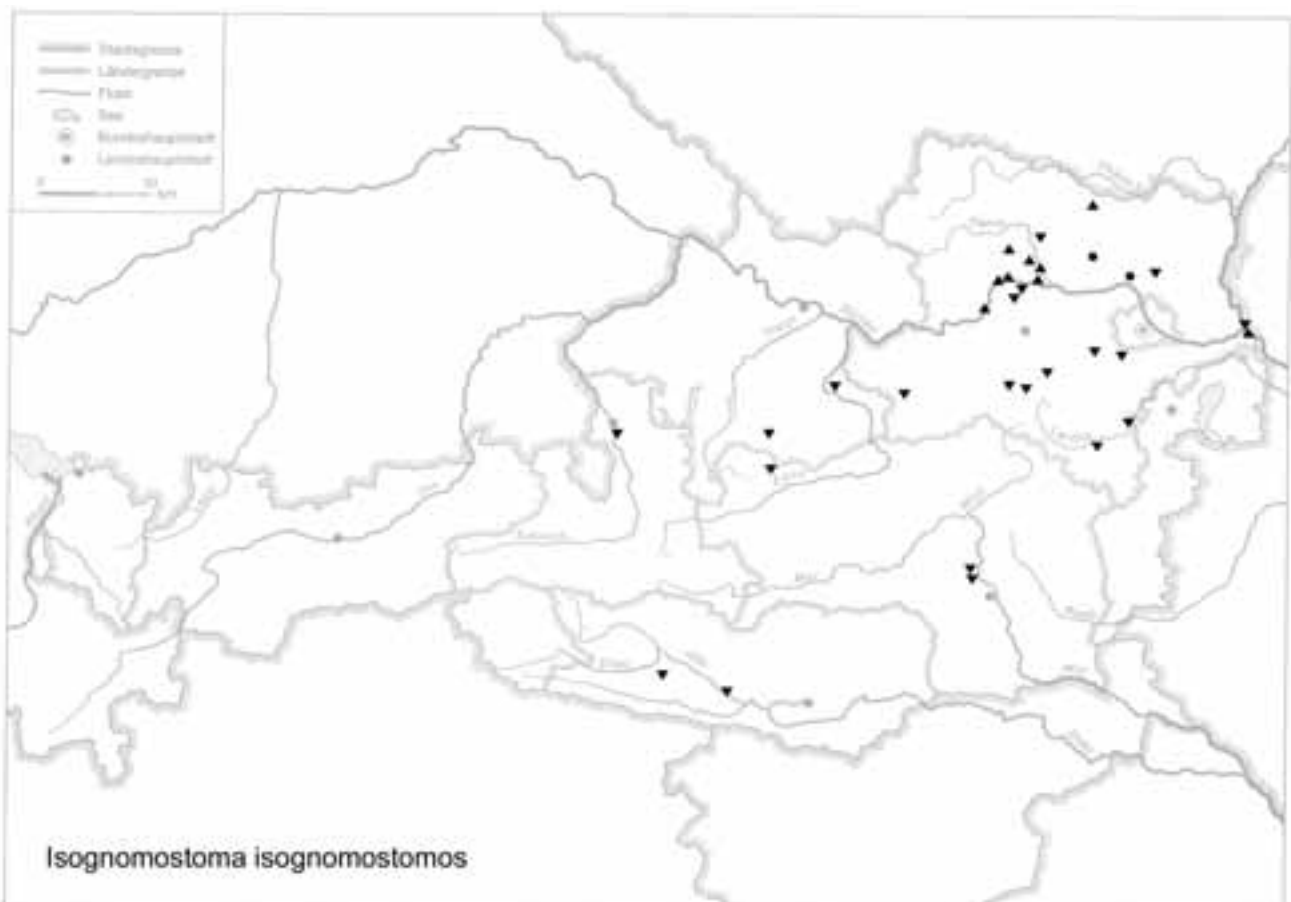
Pyrenäen; alpin-karpatisch-sudetisch. – Ab Oberpliozän.

***Isognomostoma isognomostomos* (SCHRÖTER 1784)**

(Taf. LVI: 1–4; Karte 266)

4–7 mm H : 7–11 mm B; ± 5 Ugge. Gedrückt-kugelig mit flachkonischem Gewinde, relativ dünnwandig; rötlich hornbraun, sehr fein und dicht gekörnelt (×15); opak; mit ca. 0,6 mm langen, wenig gekrümmten, borstigen Haaren, die verloren gehen können (bei abgeschabten Individuen regelmäßig verteilte, hinter dem Mundsaum papillenförmige Haarnarben). Umgänge gewölbt, der letzte peripher gerundet, gegen die Mündung kurz und kräftig absteigend. Mündung schief gestellt (etwa 55° zur Horizontalen); stumpf-dreieckig, innen dreibuchtig. Mundsaum flach ausgebreitet, außen scharf, der letzte Umgang hinter ihm scharf eingeschnürt. Spindel-Basalrand gestreckt, er und der Außenrand innen mit lamellenartiger weiß-bräunlicher Lippe und je einem kräftigen Zahnhöcker; quer auf der Mündungswand eine hohe, weiße Schmelzlamelle. Nabel meist ganz oder fast ganz bedeckt. – Ziemlich formbeständig; gelegentlich mit weniger ausgebildeter Bezahnung (f. *debilis* WESTERLUND 1889); in hohen Lagen oft kleinwüchsig. Manchmal sehr dünnchalig (POLIŃSKI 1924: 237).

Karte 266



Gesteinsindifferent, in montanen Wäldern, unter Fallholz, zwischen bemoosten Steinen, unter der Rinde von Stubben; 150–2300 m.

Pyrenäen; alpin-karpatisch-sudetisch; Alpen, Karpaten, deutsche bis polnische Mittelgebirge; isoliert im ehemaligen Ostpreußen. In ganz Österreich verbreitet, soweit der Bergwald reicht, im nordöstlichen Niederösterreich und in der südöstlichen Steiermark offenbar weitgehend fehlend (KLEMM 1974a: 453, 455–458; Karte 148).

Hochwarmzeitlich; in den Interglazialen verstreute Vorkommen, verbreitet in holozänen Ablagerungen, zum Teil auch außerhalb des heutigen Areals.

Fundstellen

Abri von Elsbethen:

Präboreal, voll entwickelt

Qu. 9hK2

Präboreal, ausklingend

Qu. 20jF4/Grab II

Boreal, voll entwickelt

Qu. 20iG1, Qu. 19l 19kG3(6), Qu. 19/20lG3(1), Qu. 87.30.1, Qu. 20iF2A(4)

Holozän, ältere Hälfte

Qu. 20lH1 (1)

Atlantikum

Qu. 6hE2, Qu. 6gF2, Qu. 6hG2, Qu. 6hH1, Qu. 6gH3, Qu. 6hH5

Aggsbach Markt:

Jungpleistozän

Bereich von „Aggsbach B“ (aufgelassene Ziegelei):

Basis eines Lößpaketes aus einem Hohlweg westlich des Punktes B' (Probe 1b)

Horizont mit Solifluktionerscheinungen (Probe 2)

Alberndorf:

Jungpleistozän

Probe Nr. 7: Sektor J, Lfm. 17, Plan. 3–4 (obere Sedimentationsrinne; Nr. 1456)

Allander Tropfsteinhöhle:

Mittelholozän

Höhlenlehm aus dem „Diebsversteck“, Höhe Schaukasten

Braunsberg, Hainburger Berge:

Jungholozän; ältere Hallstatt- und jüngere Latènezeit, 2. bis 1. Jhdt. v. Chr.

Wallschnitt 6: Plan. 6; Lfm. 11: Pfl. (Fnr. 1561)

Brettsteinbärenhöhle:

Mittelholozän

Grabungsstelle 1

Deutsch Altenburg:

Altpleistozän: *M. pliocaenicus*-Zone, tieferes Niveau

Hohlraumfüllung 30A

Altpleistozän: *M. pliocaenicus*-Zone, höheres Niveau

Hohlraumfüllung 2C1

Altpleistozän: *M. pliocaenicus*-Zone
Höhlenfüllung 37

Altpleistozän: *M. prachintoni*-Zone

Schachtfüllung 4B

Altpleistozän: *M. nutiensis*-Zone

Schachtfüllung 4A

Altpleistozän

Kolkfüllung 38

Tiefes Mittelpleistozän

Spalten- oder Höhlenfüllung 28 (stark ausgeprägte Mündungskriterien, klein)

Durezza-Schachthöhle:

Jungholozän

Sektor A, über Plan. 1

Sektor B, Nische Sektor d, über Plan. 5

Sektor B, Nische Sektor c, über Plan. 5

Furth, Hohlweg:

Jungpleistozän

Unterkante der „Göttweiger Bodenbildung“

Gedersdorf b. Krems:

Wahrscheinlich Altpleistozän

Probe Nr. 5: Stichprobe oberhalb der Kalkkonkretionen

Gobelsburg, Keller Schneider:

Jungpleistozän: Jungpaläolithikum

unterer Profilabschnitt: Proben Nr. GO/11/II/1, GO/11/II/3

Hinterbrühl, Schneckenkluff:

Epiatlantikum

Füllmaterial

Hirschenfallhöhle:

Mittelholozän

Wurzeldom:

Probe Nr. 1 (grobes, sinteriges Material)

Probe Nr. 2 (grobes Substrat, mit vielen Knochen)

Probe Nr. 5 (oberstes Ende, sehr grobes Substrat)

Probe Nr. 6 (grobes Substrat)

Subrezent

Substratprobe aus dem Einstiegsbereich

Hohenberg, „Steinbruch“:

Holozän

Fundsichten SE 5, SE 6

Hornsburg 3:

Epiatlantikum

Graben I, Schn. 1, SW-Profil, Lfm. 5,2–9,2 (Probe 11)

Kamegg (TRNKA):

Epiatlantikum, ausklingend

Grabung 1986, Schn. 12, Gra. II., S-Prof. AB: Sig. 5, Bpr. 5

Grabung 1987, Schn. 18, Gra. I, W-Prof.: Bpr. 5

Epiatlantikum

Grabung 1981, Schn. 1, Lfm. 16–18, Plan. 1–2, Verf. (Gra.) (Nr. 41); Lfm. 59–60, Plan. 2–3, Gra. II (Nr. 58)

Grabung 1981, Schn. 3: Verf. 1

Grabung 1987, Schn. 20, Gra. II, N-Prof.: Bpr. 10–12, 16, 19

Grabung 1988, Schn. 25: Bpr. 97 (Nr. 884: cf.)

Köhlerwandhöhle:

Frühatlantikum

Grabungsstelle 1: Qu. F3 (grauer Humushorizont mit Wurzeln), Qu. F3 (100–105 cm)

Krems, Schießstätte:

Ältestpleistozän

Probe KR 9: Paläoboden 9

Mittelpleistozän

Probe KR 4/1: unter der Oberkante von Paläoboden 4

Probe KR 4/2: Paläoboden 4

(kräftig skulptierte, starkschalige Individuen)

Krems, Hundssteig:

Jungpleistozän: Gravettien

Probenserie 1: Probe Nr. 1/16

Lanzenkirchen:

1. Hälfte 12. Jhdt.

Phase 1C (5–10 cm mächtiger Begehungshorizont über humoser Planierung): Sig. 17/7 (Fnr. 613)

12./13. Jhdt.

Phase 3C (Planierschichten auf 13A/7; verlagerter Aulehm in Steingebäude): Sig. 18/7+13/7 (Fnr. 618)

Phase 3C (Verfüllung Abwasserkanälchen Burghof): Sig. 96/5 (Fnr. 807)

14. Jhdt. bis Anf. 15. Jhdt.

Phase 5A (Interface, Holzeinbau und Verfüllung Grube 1/4): Sig. 77/4 (Fnr. 810)

Lurgrotte:

Frühes Mittelholozän

Gesiebe (Höhleninneres)

Mautern a. d. Donau/Favianis, Auxiliarkastell:

Grabung Wasserleitungskünette:

Mittelalter/Neuzeit?

Lfm. 75–79

Neudegg:

Mittelplozän bis Ältestpleistozän?

mit Sand und Schotter vermischte Terra-rossa-Reste

Nixloch:

Aus rezenten Störungen

NL59 = Nebenhöhle

Paudorf:

Typusprofil: holozäne humose Sedimente, linker Rand des Aufschlusses („Lo5“)

Salzofenhöhle:

Würmzeitlich

Probe Nr. 3 („Nagetierschicht Ia“)

Probe Nr. 4 („Tiefere, schwarze Nagetierschicht“)

Stranzendorf:

Oberplozän

Braunlehme F, H

Stratzing/Krems-Rehberg:

Jungpleistozän

Prof. I: Tennisplatz-Ziegelei (1994): Probe 19 (450–475 cm Tiefe), Probe 20 (475–500 cm), Probe 23 (550–575 cm), Probe 24 (575–600 cm)

Prof. II: Tennisplatz-Ziegelei (1994): Probe 1 (0–25 cm Tiefe), Probe 2 (25–50 cm), Probe 3 (50–75 cm), Probe 4 (75–100 cm), Probe 5 (100–125 cm), Probe 6 (125–150 cm), Probe 7 (150–175 cm), Probe 10 (225–250 cm), Probe 11 (250–275 cm), Probe 12 (275–300 cm), Probe 13 (300–325 cm), Probe 14 (325–350 cm)

Techendorf, Weißensee-Brücke, Bohrung 1:

Boreal bis älteres Atlantikum

Ton mit Holzkohlesplintern

Ternitz:

Hochmittelalter bis subrezent

Fnr. 411 (Sig. 194a)

Tropfsteinhöhle am Kugelstein:

Holozän

Schicht 1–5: gestörter Profilanteil (Schichten 1–3) und primäre holozäne Schichten (4–5)

Wendelgupfhöhle:

Subrezent?

innere Bereiche mit rezenten Fledermausresten

Causa SCHILEYKO 1971

Dick-scheibenförmig, mittelgroß, ca. 10 mm B; ± 5 Umgänge; braun, mit kurzen, gekrümmten Haaren; Mündung eckig, kräftig bezahnt; offen genabelt.

Alpin-westkarpatisch-sudetisch. – Ab Mittelplozän. – 1 Art.

Causa holosericea (S. STUDER 1820)

(Taf. LVI: 5–6; Karte 267)

5,2–5,8 (6) mm H : (9) 10,5–12 mm B; $4\frac{1}{2}$ –5 Ugge. Dick-scheibenförmig, relativ dünnwandig, mit flachem oder nur kaum erhobenem Gewinde; opak, rötlich hornbraun; sehr fein und dicht gekörnelt ($\times 25$), unregelmäßig gestreift; mit sehr kurzen, dichten, gekrümmten, steifen Borstenhaaren. Letzter Umgang geschultert, unterseitig abgeflacht; gegen die Mündung allmählich, zuletzt etwas mehr absteigend. Mündung schief gestellt (55–60° zur Horizontalen geneigt), eckig, durch den vorletzten Umgang tief ausgeschnitten; Außenrand vertikal zum horizontalen Unterrand, Spindelrand kurz schräg. Mundsäum plötzlich erweitert, horizontal ausgebreitet; Außenrand scharf, innen kräftig stumpf gelippt. Auf dem Außen- und Basalrand je ein kräftiger Zahnhöcker, neben dem letzteren spindelwärts oft ein kleiner, flacher Höcker. Den kräftigen Zähnen außen hinter dem Mundsäum je ein tiefer, grubiger Eindruck entsprechend; Parietalwand ohne Schmelzlamelle. Nabel weit, tief. – Formbeständig.

Nicht kalkgebunden, oft auf kalkarmen Böden, in Bergnadelwäldern, an und in morschem Holz; unter Falllaub, Steinen; feuchtigkeits- und schattenliebend; 250–2550 m.

Alpin-westkarpatisch-sudetisch; Alpengebiet, Westkarpaten, Französischer und Schweizer Jura; im Fränkischen Jura isoliert. In ganz Österreich verbreitet, aber im äußersten Osten anscheinend fehlend oder selten; ins Alpenvorland und nördlich der Donau nur wenig hinausreichend, aber tief in die Alpen eindringend und weit über die Baumgrenze aufsteigend (KLEMM 1974a: 458, 460; Karte 149).

Warmzeitlich; vereinzelte pleistozäne und holozäne Fundmeldungen; interglazial etwas weiter als heute verbreitet (LOŽEK 1964b: 311; JAECKEL, S. G. A. 1962: 197–198).

Fundstellen

Abri von Elsbethen:

Allerödschwankung?

Oranger Brandhorizont; Qu. 20jH3

Präboreal, ausklingend

Qu. 20kF3(2)

Boreal, voll entwickelt

Qu. 19l 19kG3(6), Qu. 19/20lG3(1), Qu. 20kF4(6)

Atlantikum

Qu. 6hE2, Qu. 6gF2, Qu. 6hG2, Qu. 6hH1, Qu. 6gH3, Qu. 6hH5

Allander Tropfsteinhöhle:

Mittelholozän

Höhlenlehm aus dem „Diebsversteck“, Höhe Schaukasten

Brettsteinbärenhöhle:

Frühholozän

Grabungsstelle 2

Mittelholozän

Grabungsstelle 1

Durezza-Schachthöhle:

Jungholozän

Sektor A1, Abstich über Plan. 6 + Reste aus FK 9

Sektor A1, 2. Abstich über Plan. 6

Sektor B, Nische, über Plan. 4, FK d

Sektor B, Nische, Sektor e, über Plan. 5

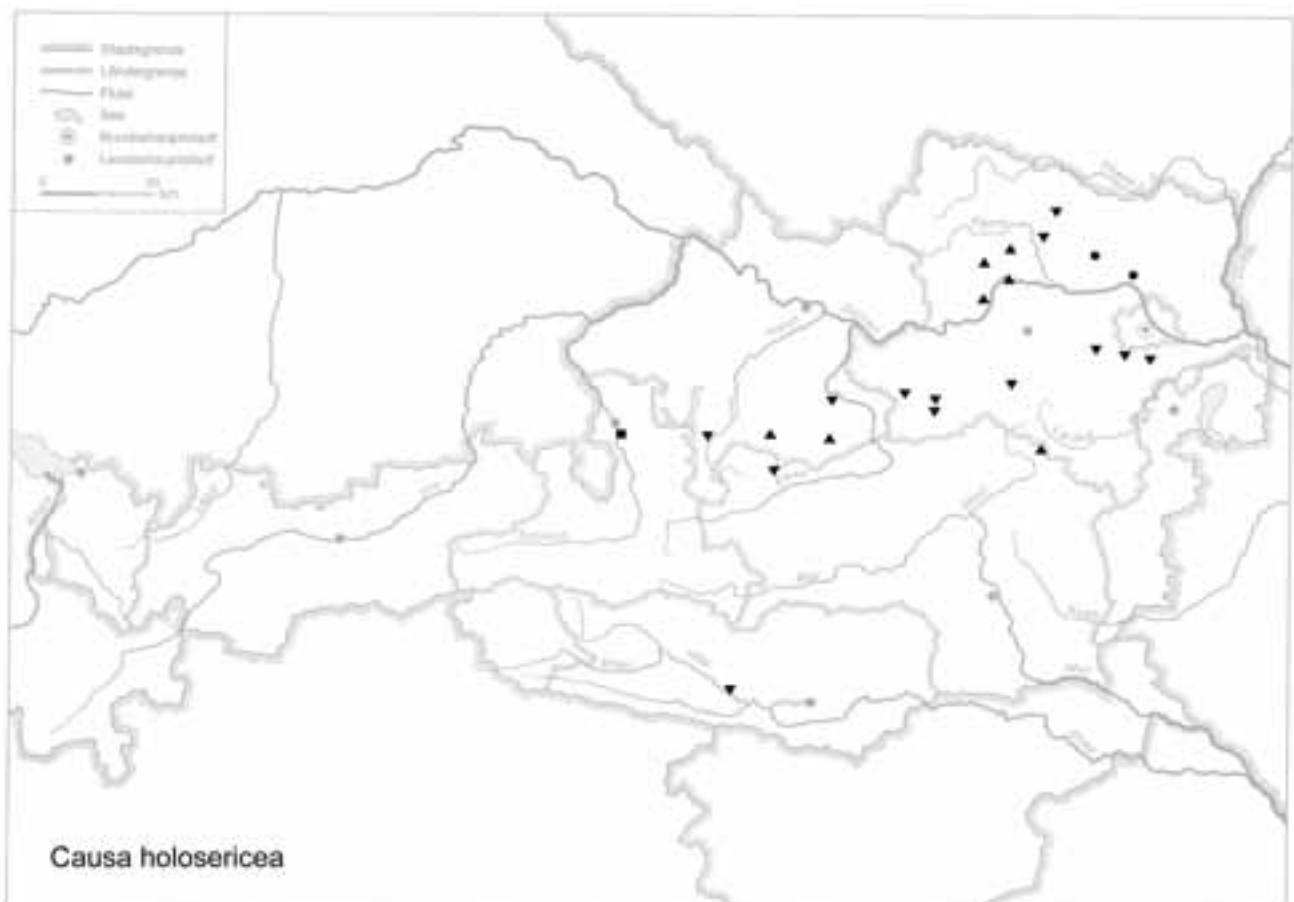
„Aushub Höhlenforscher“ (ohne Angaben)

Gamssulzenhöhle:

Spätglazial

Fundstelle 1: Eingangshalle (120–150 cm/140–150 cm Schichttiefe)

Karte 267



Gauderndorf:

Epiatlantikum

Graben II, Schn. 1, AB-Profil, Lfm. 103–106 (Probe 2)

Herdengelöhle:

Frühestes Holozän: Präboreal/Boreal

Probe 1: Eingangsbereich, Verfüllung

Frühes Mittelholozän

Probe 3: Eingangsbereich, Entkalkungshorizont

Hinterbrühl, Schneckenkluft:

Epiatlantikum

Füllmaterial

Hirschenfallhöhle:

Mittelholozän

Wurzeldom:

Probe Nr. 1 (grobes, sinteriges Substrat)

Probe Nr. 2 (grobes Substrat, mit vielen Knochen)

Probe Nr. 5 (oberstes Ende, sehr grobes Substrat)

Probe Nr. 6 (grobes Substrat)

Subrezent

Substratprobe aus dem Einstiegsbereich

Junihöhle:

Jüngstholozän

Touristengang, Fließwasserbereich

Kamegg (TRNKA):

Epiatlantikum, 2. Hälfte

Grabung 1988, Schn. 23, Gra. II, AB-Prof.: Bpr. 6

Epiatlantikum, ausklingend

Grabung 1985, Schn. 9, Gra. II, O-Tor, N-Ende, N-Prof.

AB: Sig. 5

Grabung 1986, Schn. 12, Gra. II, S-Prof. AB: Sig. 7, Bpr. 8 (cf.)

Epiatlantikum

Grabung 1981, Schn. 1: Lfm. 59–60, Plan. 2–3, Gra. II (Nr. 58); Lfm. 57–58, unter Plan. 3, Gra. II (Nr. 75)

Grabung 1988, Schn. 25: Bpr. 89 (Nr. 881: cf.), Bpr. 91 (Nr. 875: cf.)

Grabung 1988, Schn. 26: Bpr. = Verf. 99 (Nr. 891)

Grabung 1988, Schn. 27: Bpr. = Verf. 101 (Nr. 892)

Grabung 1991, Gra. I, GH-Prof.: Seg. 2, Spr. 1

Knochenhöhle bei Kapellen:

Spätglazial

fossilführende Sedimente im Bereich der distalen abwärts führenden Strecke

Köhlerwandhöhle:

Frühatlantikum

Grabungsstelle 1: Qu. F3 (grauer Humushorizont mit Wurzeln), Qu. F3 (100–105 cm), Qu. F3 (100–110 cm), Qu. F3/F4 (graubrauner Humus mit Geröll), Qu. F3/F4 (zwischen Blockwerk über Gestein), Qu. F4 (brauner Humushorizont), Qu. F4 (110–120 cm); oberflächlich an der Höhlenwand bei P 12 (5 cm Schichtdicke)

Krems, Hundssteig:

Jungpleistozän; Gravettien

Probenserie 1: Probe Nr. 1/15

Laxenburg, awarisches Gräberfeld:

7.–8. Jhdt. n. Chr. (älter als die archäologische Datierung)

Grab/Obj. Nr. 348 (Fnr. 846)

Muckenlucke:

Jungholozän

Humusschicht

Neudegg:

Mittelplozän bis Ältestpleistozän?

mit Sand und Schotter vermischte Terra-rossa-Reste

Salzofenhöhle:

Würmzeitlich

Probe Nr. 1 („Nagetierschicht I“)

Probe Nr. 2 („Obere Nagetierschicht“)

Probe Nr. 3 („Nagetierschicht Ia“)

Probe Nr. 4 („Tiefere, schwarze Nagetierschicht“)

Probe Nr. 6 („Seitenstollen, Nagetierschicht“)

„Nagerschicht II“

Schusterlucke:

Frühwürmzeitlich (die Mollusken etwas jünger)

Kleinsäugerschicht

Schwabenreithöhle:

Jungholozän

Grabungsstelle 1: Wolkengang

Stranzendorf:

Mittelplozän

Rotlehm C

Stratzing/Krems-Rehberg:

Jungpleistozän

Prof. I: Tennisplatz-Ziegelei (1994): Probe 1 (0–25 cm Tiefe), Probe 19 (450–475 cm), Probe 20 (475–500 cm)

Prof. II: Tennisplatz-Ziegelei (1994): Probe 3 (50–75 cm), Probe 4 (75–100 cm)

Willendorf i. d. Wachau:

Jungpleistozän

Probe Nr. 6: Humusanreicherung an der Basis von Einheit B

Helicinae

(= „Pentataenia“, da das Grundmuster aus 5 variablen Spiralbinden besteht, drei oberhalb, zwei unterhalb der Peripherie)

Mittelgroß bis groß, meist festschalig, rundlich; seltener abgeflacht, gekantet oder gekielt. Umgänge meist gewölbt, mit Zuwachslinien und meist nur schwacher Feinskulptur, nie behaart. Mündung \pm schief, breit-mondförmig bis gestutzt-queroval; Mündungsrand oft erweitert bis \pm umgeschlagen, oft verdickt; die Insertionsstellen durch eine dünne bis kräftigere Parietalschwiele verbunden.

Europa, Nordafrika, Vorderasien; rezenter Verbreitungsschwerpunkt im Mittelmeergebiet. – Viele Arten; ab dem oberen Eozän (H. NORDSIECK 1986b: 113–115).

Cepaea HELD 1837

Mittelgroß, gedrückt-kugelig mit konvex-kegeligem Gewinde, ± 5 gewölbte Umgänge; \pm glänzend, gelblichweiß, gelb, rotgelb bis fleischrötlich; 0–5 dunkle Bänder; feine bis \pm kräftige Anwachsstreifen, auch mit feinen Spirallinien; seltener fein gekörnelt oder gehämmert. Letzter Umgang gegen die Mündung absteigend; Mündung schief; gestutzt-eiförmig; Mundsaum erweitert, innen gelippt (WENZ u. ZILCH 1959: 716–717).

Westliches, mittleres und südliches Europa; bis zum nördlichen Kaukasus. – Die *Cepaea*-Gruppe war besonders im Neogen reich entfaltet. Ihre systematische Gliederung ist revisionsbedürftig (H. NORDSIECK 1986b: 113–115). – Ab Oligozän (Unteroligozän: Rupelium). Arten der *Cepaea*-Gruppe sind Leitfossilien der Süßwassermolasse. Zu den Überlegungen von PFEFFER (1929: 141–185, 188–191) und anderer Autoren bezüglich der Stammesgeschichte und Gliederung der *Cepaea*-Gruppen schlägt H. NORDSIECK (1986b: 114) vor, die oligo-miozänen Arten abgesehen von

Creneatachea ZILCH 1959 in zwei Gattungen zu gliedern: *Palaeotachea* JOOSS 1912 (für die Arten, die schalenmorphologisch der rezenten *Cepaea* HELD 1837 näher stehen, aber aufgrund des Alters und der großen stratigraphischen Distanz als Gattung abgetrennt werden sollten) und *Megalotachea* PFEFFER 1929 (für die Arten, die sich \pm der Gruppe *Otala* SCHUMACHER 1817 nähern); an die letztere anschließend die pliozäne Gattung (?) *Frechenia* SCHLICKUM u. STRAUCH 1971.

Cepaea (Austrotachea) PFEIFFER 1929

Mittelgroß, kugelig-kegelig; mäßig aufgeblasen; letzter Umgang gerundet. Ohne extralabiale Depression; intralabiale Schwelle kräftig; intralabiale Depression. Ziemlich kräftige Radialskulptur. Verdeckter Nabel hoch liegend.

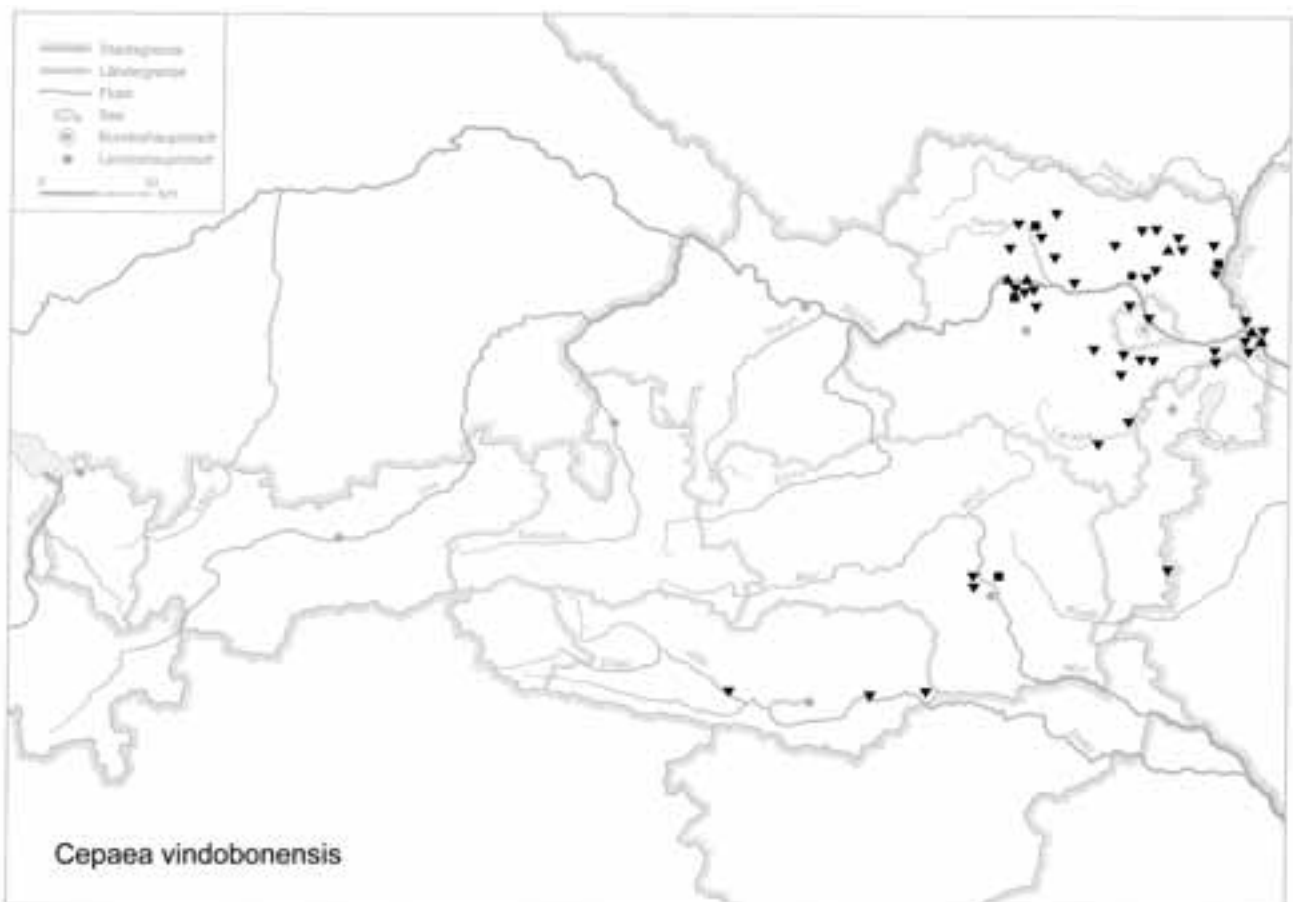
Westalpin; Südosteuropa; 2 Arten. – Ab Pleistozän (PFEFFER 1929: 143–144).

Cepaea (Austrotachea) vindobonensis (C. PFEIFFER 1828)

(Taf. LVI: 7–8; Karte 268)

17–21 mm H : 20–25 mm B; 5–5½ (6) Ugge. Kugelig, oft mit stärker erhabenem Gewinde; unregelmäßig stumpfripenstreifig, ohne Spirallinien, doch mikroskopisch fein

Karte 268



gekörnt. Weiß bis hellbräunlichgelb, fast immer 4 bis 5 Bänder (das 2. Band von oben oft fehlend): Band 1 und 2 schmal, hellbraun; 3–5 breit, dunkelbraun, das 5. am breitesten und eng um das Nabelfeld laufend. Mundsaum, Lippe und Nabelfeld hell bis dunkler braun. Umgänge gut gewölbt, der letzte zur Mündung hin rasch und kräftig absteigend. Mündung sehr schief; wenig nach außen-unten gezogen; Spindelkante relativ steil. Nabel durch den Mündungsumschlag verschlossen, wobei dieser nur kurz der Schale anliegt, sich dann abhebt und dadurch einen kleinen Schlitz bildet. – Veränderlich in Größe und Form; Morphen mit durchscheinenden Bändern treten in Populationen verschiedentlich auf [f. *expallescens* (ROSSMÄSSLER)]; auf der Balkanhalbinsel meist größer, variabler, oft mit Bänderverschmelzung (FECHTER u. FALKNER 1989: 240; POLIŃSKI 1924: 244–246 – bis über 25 mm B; JAECKEL, S. G. A. 1962: 198–199); KNIPPER (1939: 379–381): Serienvermessung von Individuen verschiedener Herkunftsgebiete.

In warmen Tälern und Hügelländern, unter Gebüsch, am Fuß von Mauern, in steinigem Kurzrasen, an Böschungen und Ruderalplätzen, an Felshängen und im Lichtwald; 120–1500 m. *C. vindobonensis* bevorzugt nach SCHÜTT (1989b) innerhalb großräumiger Steppen Plätze mit feuchterem Mikroklima; sie ist aber von allen *Cepaea* am wenigsten feuchtigkeitsbedürftig. Am Rand von Flussauen, Seenniederungen und Waldrändern kann sie sich gut ausbreiten, auch Verfrachtungen durch Hochwassergeniste sind möglich.

Ost- und südosteuropäisch; Karpatengebiet, Ostalpenraum, im Westen bis Passau (dort offenbar erloschen) und bis zum Tagliamento; Balkanhalbinsel bis Thessalien und nördliches Schwarzmeergebiet; im Norden bis ins sächsische Elbtal, zerstreut durch Polen, bis fast zur Ostsee. In Österreich in der östlichen Landeshälfte verbreitet, stellenweise im Rückzug (Oberösterreich; KLEMM 1974a: 466, 468–469; Karte 152). Über neue Vorkommen in Westpolen, außerhalb der zusammenhängenden Verbreitung, siehe KORALEWSKA-BATURA u. DZIABASZEWSKI (2000).

Warmzeitlich; viele holozäne, vor allem jungholozäne Fundmeldungen aus dem heutigen Verbreitungsgebiet; interglazial weiter als heute verbreitet (bis Süd- und Mitteldeutschland; Lüneburger Heide; LOŽEK 1964b: 312; Taf. 29/2a, b, c; JAECKEL, S. G. A. 1962: 199). Nach Überlegungen von SCHÜTT (1989b) entspricht ihre ehemalige Verbreitung etwa dem Einzugsgebiet des Donau-Dardanellenstroms der Würmeiszeit, der damals auch das Pontische Meer, somit auch die südrussischen Flüsse durch das Marmarameer entwässerte. Die bedeutenden Meeresregressionen während des Mindel und Würm gaben den Weg der Donau durch das damals ausgesüßte Schwarze Meer zum Marmarameer, darüber hinaus durch die Dardanellen bis in die nördliche Ägäis frei. Dadurch wurden Dnjestr, Bug, Dnjepr (Rußland), Sakaria (Türkei), Vardar und Pinios (Griechenland) zu Neben-

flüssen dieses ehemaligen Donau-Dardanellenflusses. Belege dafür sind auch die Verbreitungsbilder mancher Süßwassermollusken.

Die zerrissene reliktdäre Verbreitung in der norddeutschen Tiefebene führt SCHÜTT auf die Urstromtäler der Weichselzeit zurück, die sich beim Einsetzen der Wärmephasen für eine Besiedelung aus dem nördlichen Einzugsgebiet des Pontischen Meeres anboten. Während die westlichen Vorposten zwischen Weser und Elbe bald wieder erloschen, blieben die Standorte östlich Elbe und Weichsel erhalten. Der nördlichste bekannte Fundort ist Kokenhusen (= Koknese) an der Düina bei Wilna (Lettland). Die heute außerhalb des Einzugsgebietes des Pontischen Meeres am Kaspischen Meer gelegenen Fundorte dürften nach SCHÜTT auf eine Invasion entlang der Manytsch-Senke zurückzuführen sein.

Die lückenhafte Verbreitung in Ostgriechenland geht nach SCHÜTT offenbar auf eine (vermutlich würmeiszeitliche) Regressionsperiode von Mittelmeer und Schwarzem Meer zurück, die breite Uferstreifen frei machte und das Erreichen der gegenwärtigen Standorte ermöglichte.

Die über das Einzugsgebiet des ehemaligen Donau-Dardanellenstromes im Westen hinausreichenden Vorkommen auf dem Balkan werden durch kleinräumige Wanderungs- und Expansionsbewegungen erklärt. Das Gebiet des obersten Laufes der Donau oberhalb Passau (Bayern) wird von *C. vindobonensis* offenbar nicht bewohnt, auch in dortigen Fossilagern wurde sie bis dato nicht gefunden. Eine (wahrscheinlichere) Erklärung dafür wären nach SCHÜTT klimatische Verhältnisse, eine andere wäre, dass der Donauoberlauf während der Rißeiszeit nur bis Stepperg seinem jetzigen Lauf folgte, dann durch das Wellheimer Trockental bis Dollnstein floss und dem damals im Rednitz-Rezat-Tal fließenden Ur-Main (damit dem Rhein) tributär wurde.

C. vindobonensis sollte demnach als echtes pontisches Faunenelement angesehen werden, „welches in der Vergangenheit Expansionen nach allen Seiten versucht hat“ (SCHÜTT 1989b: 36). Die gleichfalls pontische *Th. danubialis* gelangte pleistozän sogar bis in die Niederlande und in die Themse-Schotter von Swanscomb/Kent, England; die Gattung *Fagotia* in die Niederlande und nach Nordostfrankreich.

Fundstellen

Aigen, Hohlweg:

Jungpleistozän

„Paudorfer Bodenbildung“, Unterkante (Probe 1)

Allander Tropfsteinhöhle:

Mittelholozän

Höhlenlehm aus dem „Diebsversteck“, Höhe Schaukasten

Braunsberg, Hainburger Berge:

Jungholozän; ältere Hallstatt- und jüngere Latènezeit, 2. bis 1. Jhdt. v. Chr.

Wallschnitt 6:

Plan. 3; Lfm. 18 (Fnr. 1463), Lfm. 5,8 (Fnr. 1464)
 Plan. 4; Lfm. 3 (Fnr. 1495), Lfm. 5,4: dunkle Verf. (Fnr. 1496),
 Lfm. 8: hell verflockte Verf. (Fnr. 1498), Lfm. 10,10: dunkle
 Verf. (Fnr. 1499)
 Plan. 5; Lfm. 2,20 (Fnr. 1526), Lfm. 9,80 (Fnr. 1531), Lfm.
 10,70 (Fnr. 1532)
 Plan. 6; Lfm. 4: Gräbchen (Fnr. 1557), Lfm. 6: Pfl. (Fnr.
 1558), Lfm. 10: Pfl. (Fnr. 1560), Lfm. 11: Pfl. (Fnr. 1561)
 Plan. 7; Lfm. 10: dunkle Verf. = Pfl. in Pfg. (Fnr. 1585),
 Lfm. 11: braune Schicht (Fnr. 1586), Lfm. 13: Verf. (Fnr.
 1587)
 Plan. 8; Lfm. 6 (Fnr. 1605), Lfm. 6,50 (Fnr. 1606), Lfm. 7,40:
 Pfl. (Fnr. 1607), Lfm. 8: Verf. (Fnr. 1559), Lfm. 8,60
 (Fnr. 1609), Lfm. 10,20: hell verflockte Verf. (Fnr. 1611)
 Plan. 9; Lfm. 5,30 (Fnr. 1638), Lfm. 10,70 (Fnr. 1641),
 Lfm. 0,60 (Fnr. 1642), Lfm. 13 (Fnr. 1643)
 N-Profil: Lfm. 10,4: 240 cm v. oben (Fnr. 1733; cf.), 160 cm
 v. oben (Fnr. 1735), 140 cm v. oben (Fnr. 1736), 86 cm v.
 oben (Fnr. 1738), 38 cm v. oben (Fnr. 1740)
 S-Profil: Lfm. 0,5/+60 cm (Fnr. 1684); Lfm. 4/+42 cm
 (Fnr. 1689); Lfm. 4,60/+50 cm (Fnr. 1695); Lfm. 4,66/
 +77 cm (Fnr. 1696); Lfm. 6,16/-5 cm (Fnr. 1697);
 Lfm. 6,14/-55 cm (Fnr. 1700), 6,14/+70 cm (Fnr. 1704),
 6,14/+115 cm (Fnr. 1705), 6,14/+142 cm (Fnr. 1706);
 Lfm. 8,10/-25 cm (Fnr. 1707), 8,10/+4 cm (Fnr. 1710),
 8,10/+60 cm (Fnr. 1712), 8,10/+115 cm (Fnr. 1714);
 Lfm. 10/-133 cm (Fnr. 1716), 10/-110 cm (Fnr. 1717), 10/
 -65 cm (Fnr. 1718), 10/-80 cm (Fnr. 1719), 10/-35 cm
 (Fnr. 1720), 10/Maßlinie (Fnr. 1721), 10/+40 cm (Fnr.
 1722), Lfm. 10/+60 cm -50 cm unter HOK (Fnr. 1723),
 10/+92 cm -20 cm unter HOK (Fnr. 1724); Lfm. 13,80/
 +35 cm -50 cm unter HOK (Fnr. 1729), 13,80/+55 cm
 -70 cm unter HOK (Fnr. 1730), 13,80/+100 cm -35 cm
 unter HOK (Fnr. 1731)

Wallschnitt 5:

Älter als Hallstatt: Schicht unter Holzkohle mit gebranntem
 Lehm (Fnr. 1190/1)

Buhuberg bei Stillfried:

Frühe bis mittlere Bronzezeit

1983:

Qu. 1 (Nr. 422)

Riegelschn. 3/5, Verf. 13, Phase 4 (Nr. 440)

Qu. 1, Phase 5D (Nr. 448)

1985:

Qu. 2, O-Prof., 1 m nach O versetzt, [Plan. 21], Sig. 35+36,
 über dem Plan.punkt, Phase 3C (Nr. 821)

Unstratifiziert und undatiert (jünger/älter als Bronzezeit?)

1983: Qu. 1 (Nr. 400)

Carnuntum, Auxiliarkastell (JOBST):

Römerzeitlich (Mitte 1. Jhdt. n. Chr. bis ca. 400 n. Chr.)

Bad, Schn. Süd (über der Estrichschotterung der 1. [und 2.])

Steinperiode, T = -0,8 m)

Bad, Schn. Süd (unter dem Estrichniveau, möglicherweise
 antikes Bodenniveau, T = -1,6 m)

Badbereich (Grabungsfläche Nordost, Niveau eines [spä-
 ten?] Mauerversturzes, T = -0,4 m)

Carnuntum, Zivilstadt (JOBST):

Römerzeitlich (1. Jhdt. bis ca. Anf. 5. Jhdt. n. Chr.)

Aushub vom Grund einer frisch gegrabenen Künette, rechts
 von der Schlossstraße, unmittelbar an einer Mauer, T =
 -0,8 m

Deutsch Altenburg:

Altpleistozän: *M. pliocaenicus*-Zone, tieferes Niveau

Hohlraumfüllung 2C1 (cf.)

Altpleistozän: *M. pliocaenicus*-Zone

Höhlenfüllung 22A, Höhlenfüllung 37

Altpleistozän: *M. prahintoni*-Zone

Schachtfüllung 4B

Altpleistozän: *M. nutiensis*-Zone

Schachtfüllung 4A

Altpleistozän

Hohlraumfüllung 2C2, Hohlraumfüllung 2D/E, Höhlen-
 füllung 32, Kolkfüllung 38, Kolkfüllung 43

Deutsch Altenburg, Lagerstadt (JOBST):

2. Hälfte des 1. Jhdts. bis 2. Hälfte des 4. Jhdts.

Qu. 8 (Kanalsuchschnitt, T = -0,3 m)

Qu. 10 (neben menschlichem Skelett, T = -1,0 bis -1,5 m)

Steg zwischen Qu. 11/14 (bis T = -0,1 m)

Von der Zufahrt aus 3. Künette (bei Betonrohr, T = -0,8
 bis -1 m)

Durezza-Schachthöhle:

Jungholozän

Sektor A, über Plan. 2

Sektor B, Nische, über Plan. 4

Spalt FK 26, Mitte 2. Abstich

„Aushub Höhlenforscher“ (ohne Angaben)

Franzhausen, Gräberfeld:

Jüngere Urnenfelderzeit

Verf. 761 (Fnr. 11; weibl. Bestattung)

Gars-Thunau:

Jüngstholozän

Grabung 1978, D, Schn. 75, Lfm. 11, Gru. 30-Gru.ende,
 Verf. 75 unter Plan. 1; Gru. 50-Gru.ende; Schn. 76, Lfm
 28-30,5, Gru. 107; und eine Probe ohne Angaben (cf.)

Grabung 1982, E, Schn. 91: Lfm. 0-1/D, dejk, Plan. 3-4;
 Lfm. 1-2/A, fgmn, Plan. 3-4 (Sack 2)

Grabung 1986, H, Schn. 133, Lfm. 0, Sektor A, Sig. 11 (Fnr.
 13096); Schn. 147, Lfm. 18, Sig. 2 (Fnr. 13104)

Grabung 1988, J, Schn. 163, Plan. 3,9, Sig. 11, Ostsektor;
 Schn. 163, Plan. 4,9, Sig. 11, W-Sektor (cf.); Schn. 164, Sig.
 6+10, x = 9-11, y = 3-4; Schn. 164, Plan. 3,9, Sig. 30; Schn.

165, Sig. 7, x = 4,4-9, y = 0-2

Gauderndorf.

Etwa zeitgleich: Epiatlantikum
Graben II, Schn. 1, AB-Profil, Lfm. 103–106 (Proben 4 [cf.], 10, 12)
Graben III, Schn. 1, AB-Profil, Lfm. 36–40 (Probe 2)

Glaubendorf I:

Etwas jünger als die archäologische Datierung, mit jung-pleistozänen Beimischungen
Graben, Schn. 1, S-Profil, Lfm. 0–6 (Sig. 6; cf. *hortensis* vel *vindobonensis*)

Großrußbach:

Jungpleistozän: Spätwürm
Grabung 1997, Schn. 1, Gra. I, UK von Sch. 4 (Fnr. P505)

Grub a. d. March:

Neolithikum und Bronzezeit
Schn. 1, Plan. 1,99:
Lfm. 2: Sektor A, Sig. 1,3, Fnr. 177; Sektor D, Sig. 1,3, Fnr. 184
Lfm. 8: Sektor B, Sig. 1,3, Fnr. 226
Schn. 1, Plan. 2,99:
Lfm. 5: Sektor A, Sig. 15, Fnr. 373 (f. *expallescens*)
Schn. 1, Plan. 3,05–4:
Lfm. 11: Sektor C, Sig. 10, Fnr. 645
Schn. 1, Plan. 3,99:
Lfm. 2: Sektor B, C, NW-Hälfte, Sig. 50, Fnr. 857
Lfm. 2: Sektor E, W-Hälfte, Obj. 2, Sig. 5, Fnr. 561
Lfm. 3: Sektor B, Sig. 10, Fnr. 585
Lfm. 3/4: Sektor C, Obj. 20, Sig. 45, Fnr. 591
Lfm. 4: Sektor C, D, SW-Hälfte, Obj. 20, Sig. 45, Fnr. 870
Lfm. 8: Sektor C, S-Seite, Obj. 15, Sig. 41, Fnr. 620 (f. *expallescens*)
Lfm. 10: Sektor C, SW-Hälfte, Obj. 27, Sig. 55, Fnr. 734
Schn. 1, Plan. 4:
Lfm. 9: Sektor D, aus Krotowine in Sig. 10, Fnr. 684
Schn. 1, Plan. 4,99:
Lfm. 1: Sektor B, C, NW-Hälfte, Obj. 50, Sig. 95, Fnr. 851
Lfm. 1/2: Sektor B, C, SW-Hälfte, Obj. 21, Sig. 50, Fnr. 670
Lfm. 2: Sektor E/F, W-Hälfte, Obj. 2, Sig. 5, Fnr. 674 (hochgetürmt)
Lfm. 3: Sektor C, Sig. 59, Fnr. 688; Sektor C, Fnr. 689 („aus dem Tierbau“)
Lfm. 5: Sektor D, Sig. 10, Fnr. 721 und NW-Hälfte, Obj. 22, Sig. 44, Fnr. 718; Sektor D, NW-Hälfte, Obj. 22, Sig. 44, Fnr. 724; Sektor E, Obj. 22, Sig. 44, Fnr. 747
Lfm. 10: Sektor C, NO-Hälfte, Obj. 27, Sig. 55, Fnr. 725
Schn. 1, Plan. 5,99:
Lfm. 9: Sektor C, Obj. 27, Sig. 55+106, Fnr. 836
Lfm. 10: Sektor B, Sig. 62, Fnr. 867; Sektor C, D, Obj. 27, Sig. 55, 109, Fnr. 877 („aus Grabenverfärbung bis Sohle“) und Fnr. 878 („beim Skelett, Putzen“, mit f. *expallescens*)

Weitere aus Schn. 1:

Lfm. 3, Sektor E, Obj. 2 (Grube), Sig. 5, Fnr. 569
Lfm. 8, Sektor C, N-Hälfte, Obj. 15 (Grube), Sig. 41, Fnr. 957

Güntherhöhle:

Jüngstholozän
Oberflächliches Sediment im Bereich der Eingangshalle

Hinterbrühl, Schneckenkluff:

Epiatlantikum
Füllmaterial

Hornsburg 3:

Epiatlantikum
Graben I, Schn. 1, SW-Profil, Lfm. 5,2–9,2 (Probe 10: cf.)

Hundsheim:

(Frühes) Mittelpleistozän
Proben Nr. 1 und 2 (Füllmaterial)

Kamegg (TRNKA):

Epiatlantikum, älterer bis mittlerer Abschnitt
Grabung 1987, Schn. 21, Gra. II, CD-Profil, SW-Sektor: Bpr. 4, Ka. 4, Bpr. 5, Ka. 5, Ka. 6, Bpr. 7, Ka. 7 atro, Bpr. 8, Ka. 9 atro, Bpr. 10 (cf.)
Epiatlantikum, 2. Hälfte
Grabung 1988, Schn. 23, Gra. II, AB-Profil: Bpr. 1, 2, 10 (cf.)
Epiatlantikum, ausklingend
Grabung 1985, Schn. 9, Gra. II, O-Tor, N-Ende, N-Prof. AB: Sig. 5, 7–9, 11
Grabung 1986, Schn. 12, Gra. II, S-Prof. AB: Sig. 3, Bpr. 4; Sig. 5, Bpr. 6; Sig. 7, Bpr. 8; Sig. 7b, Bpr. 7; Sig. 23, Bpr. 15
Grabung 1987, Schn. 18, Gra. I, W-Prof.: Bpr. 2, 5, 6, 9
Grabung 1992, Schn. 34: Verf. 177 (Nr. 1037); Gra. I, Plan. 1–2, Sed.Zone C (Nr. 1062); Gra. I, Plan. 2–3, Sed.Zone C (Nr. 1065); Gra. I, Plan. 3–4, Sed.Zone C (Nr. 1068); Gra. I, Plan. 4–5, Sed.Zone C (Nr. 1068); Gra. I, Plan. 1–2, Sed.Zone C (Nr. 1070); Gra. I, Sed.Zone C (Nr. 1071); Gra. I, Plan. 5–6 (Nr. 1072); Gra. I, Plan. 2–3 (Nr. 1077); Verf. 169 (Nr. 1080); Gra. I, Plan. 9–10 (Nr. 1089); Verf. 169 (Nr. 1098); Gra. I, Sed.Zone B (Nr. 1101); Verf. 165 (Nr. 1102); Verf. 174; Verf. 176 (Nr. 1105)
Epiatlantikum
Grabung 1981, Schn. 1: Lfm. 16–18, Plan. 1–2, Verf. (Gra.) (Nr. 41); Lfm. 16–17, Plan. 2–3, Gra. I (Nr. 55); Lfm. 58–59, Plan. 2–3, Gra. II (Nr. 57); Lfm. 59–60, Plan. 2–3, Gra. II (Nr. 58); Lfm. 57–58, unter Plan. 3, Gra. II (Nr. 75); Lfm. 56–58, Plan. 4–5, Gra. II (Nr. 86); Lfm. 18, Plan. 4–5, Gra. I (Nr. 90); Lfm. 56–58, Plan. 5–6, Gra. II (Nr. 95); Lfm. 58–60, Plan. 5–6, Gra. II (Nr. 96)
Grabung 1981, Schn. 3: Oberfläche bis Plan. 1, N-Erweiterung (Nr. 104); Gru. 1 (Nr. 125)
Grabung 1981, Schn. 3: Verf. 1 (in 3 Proben aus Verf. 1)
Grabung 1983, Schn. 4, Sektor E-F, Plan. 4–5, Gra. I (Nr. 169)

Grabung 1985, Schn. 8, Verf. 41 (Nr. 486)
 Grabung 1985, Schn. 9: Plan. 1, O-Tor, Gra. II (Nr. 466);
 0–40 cm unter Plan. 1, Gra. II, O-Tor, N-Ende (Nr. 471);
 zwischen Plan. 1 und 2, Gra. II (Nr. 472); Sektor L-M,
 Lfm. 3–4, Gru. 32 (Nr. 474); Gra. II (Nr. 477); 1,7 m unter
 Plan. 1–2, Gra. II, O-Tor, S-Ende (Nr. 513); 1,2 m unter
 Plan. 1–2, Gra. II, O-Tor, N-Ende (Nr. 528); 165–270 cm
 unter Plan. 1, Gra. II (Nr. 540)

Grabung 1986, Schn. 11, Plan. 1–2, Gru. 46, S-Hälfte
 (Nr. 599)

Grabung 1986, Schn. 12: Gra. II, Plan. 4–5 (Nr. 610); Gra.
 II, Plan. 3–4 (Nr. 611); Gra. II, Plan. 5–6 (Nr. 612); Gra.
 II, Plan. 6–7 (Nr. 615); Gra. II, Plan. 7–8 (Nr. 617); Verf.
 55, S-Hälfte (Nr. 628); Verf. 55, 2. Hälfte (Nr. 637)

Grabung 1986, Schn. 13, Gra. II, Plan. 2–3 (Nr. 605); SW-
 Hälfte, Plan. 6–7 (Nr. 623)

Grabung 1986, Schn. 14, Gra. I, O-Prof. AB, Sig. 4
 (Nr. 636)

Grabung 1987, Schn. 16, Gra. II: Lfm. 4–6, Plan. 3–4
 (Nr. 722); Lfm. 4–6, Sektor EFG, Plan. 3–4 (Nr. 724);
 Lfm. 6–8, Sektor EFG, Plan. 3–4 (Nr. 725)

Grabung 1987, Schn. 18, Gra. I, Plan. 10–11 (Nr. 735)

Grabung 1987, Schn. 20, Gra. II, N-Prof.: Bpr. 5, 9–13, 16,
 17, 19–21

Grabung 1987, Schn. 21, Gra. II: Plan. 1–2 (Nr. 768), Plan.
 2–3 (Nr. 771), Plan. 7–8 (Nr. 797), Plan. 10–11 (Nr. 807),
 Plan. 11–12 (Nr. 820)

Grabung 1987, Schn. 22: Gru. 83, SO-Teil (Nr. 800); Gru
 83, NW-Teil (Nr. 812)

Grabung 1987, ohne Angaben („Muscheln“)

Grabung 1988, Schn. 23, Gra. II, Plan. 3–5 (Nr. 855), Plan.
 5–6 (Nr. 857), Plan. 6–8 (Nr. 858)

Grabung 1988, Schn. 25: Bpr. 89 (Nr. 881), Bpr. 90
 (Nr. 882), Bpr. 91 (Nr. 875), Bpr. = Verf. 92 (Nr. 876);
 Lfm. 2–4, Sektor I–J, Bpr. 93 (Nr. 886), Bpr. 94 (Nr. 883)

Grabung 1990, Schn. 28, Gra. II, Plan. 1–2 (Nr. 895)

Grabung 1991, Schn. 32, Plan. 1, Seg. 2 (Nr. 980)

Grabung 1991, Schn. 32, Gra. I, GH-Prof.: Seg. 2, Spr. 1;
 Seg. 2, Spr. 6; Seg. 3, Spr. 1; Seg. 3, Spr. 3

Jünger als Epiatlantikum

Grabung 1985, Schn. 9, Gra. II, O-Tor, N-Ende, Längsprof.
 EF: Sig. 8, 17

Karnabrunn:

Epiatlantikum

Graben I, Schn. 1, NO-Profil (Probe 3)

Kollnbrunn:

Subboreal/frühbronzezeitlich, jungpleistozän vermischt

Graben II, Schn. 1, AB-Profil (Probe 5)

Krems, Hundssteig:

Jungpaläolithikum; Hauptkulturschicht: Gravettien

Südwest-Profil, Qu. S84 (12. 9. 2000): Hu 11/3

Lanzenkirchen:

1. Hälfte 12. Jhdt.

Phase 1C (5–10 cm mächtiger Begehungshorizont über hu-
 moser Planierung): Sig. 17/7 (Fnr. 613)

2. Hälfte 13./Anf. 14. Jhdt.

Phase 4B (Planierschicht Hof): Fnr. 374

14. Jhdt. bis Anf. 15. Jhdt.

Phase 5A (Verfüllschichten, Grube 2/2): Sig. 31/2 (Fnr.
 920)

Phase 5A (Verfüllschichten Brunnen 2; Pfl. 10/3): Sig. 32/3
 (Fnr. 687)

Phase 5A (Interface und Verf. Grube 1/2): Sig. 43/2 (Fnr.
 977, 981, 983)

Phase 5A (Verfüllschichten, Grube 2/2): Sig. 55/2 (Fnr.
 942)

Phase 5A (Interface, Holzeinbau und Verfüllung Grube 1/4):
 Sig. 77/4 (Fnr. 810)

2. Hälfte 15. Jhdt.

Phase 5B (Interface und Verfüllung Gräbchen): Sig. 5/2
 (Fnr. 388, 963)

Nachburgzeitlich: 16.–20. Jhdt.

Phase 7 (Schuttschichten der Neuzeit; Ausrissgräben der
 Mauern): Sig. 1/5, 6/5, 10/5 (Fnr. 375)

Phase 7 (Schuttschichten der Neuzeit; Ausrissgräben der
 Mauern): Sig. 1/7 (Fnr. 770)

Phase 7 (Schuttschichten der Neuzeit; Ausrissgräben der
 Mauern): Sig. 4/5 (Fnr. 561, 796)

Phase 7 (Schuttschichten der Neuzeit; Ausrissgräben der
 Mauern): Sig. 6/6 (Fnr. 437) und Sig. 1/7 (Fnr. 476)

Heutige Ackerkrume, vermischt mit mittelalterlichen Fun-
 den

Sig. 1/5 (nach 1982): Fnr. 454

Laxenburg, Schlosspark:

älteres Atlantikum

nicht lokalisierbare Probe (cf. *vindobonensis/hortensis*)

Laxenburg, Schlosspark, Teich:

Subrezent

Substratprobe (nicht lokalisiert)

Laxenburg, awarisches Gräberfeld:

7.–8. Jhdt. n. Chr.

Grab/Obj. Nr. 288 (Fnr. 655), 288 (656), 309 (675), 310
 (672), 314 (666), 348 (846), 359 (964), 408 (1274: cf.)

Leesdorf:

Frühholozän: Boreal

nicht lokalisierbare Probe

Mautern a. d. Donau/Favianis, Auxiliarkastell:

Grabung Frauenhofgasse:

ca. 100–130 n. Chr.

Periode 2: Qu. A1, Sch. 24, O-Profil (Planierung); Qu. B1,
 Sch. 106, S-Profil (Grabenverfüllung)

ca. 180–260 n. Chr.

Periode 4: Qu. A1, Sch. 12, N-Profil (Brandschicht); Qu. A1, Sch. 15, N-Profil (Planierung)

Grabung Frauenhofgasse SO:

ca. 350–450 n. Chr.

Periode 6: Qu. A1/A2, Steg; Sch. G4, Grube 40 (Verfüllung); Qu. A1–A2, Pl. 5 (Lehmziegelofen und Grubenverfüllung)

Grabung Wasserleitungskünette:

Mittelalter/Neuzeit?

Lfm. 152–153 (Grab 1) und Lfm. 4–8 (Parz. 1432/6)

Mautern a. d. Donau/Favianis, Kastellvicus Süd:

2. Hälfte des 2. Jhdts. n. Chr.

Periode 2: Verfüllung des Erdkellers, Schicht S0013 (PQu. A1, locker erdige Schicht mit Hüttenlehm), Schicht S0036 (PQu. A1, mittelgrober Schotter in hellbraun/sandiger Matrix)

Mautern a. d. Donau/Favianis, Kastellvicus Ost:

Römerzeitlich (1. bis Mitte 5. Jhd. n. Chr.)

Grubenhütte: Obj. 3 (SE 3183)

Brunnen (?): Obj. 1128 (SE 3565)

Abfallgruben: Obj. 690 (SE 2013), 941 (3146)

Latrine: Obj. 522 (SE 2468)

Mithrasgrotte bei Markt Neuhodis:

Jüngstholozän

Oberflächensediment aus dem Schluff oberhalb der Grotte

Oberstockstall:

Mittel- bis Jungholozän?

Fnr. 791/5 (Schn. 4S', Schicht/Befund 86)

Paasdorf:

Holozän

Profil CD: BC-Horizont und –75 cm unter der Unterkante der Bodenbildung (cf.)

Paudorf:

Jungpleistozän

Probe Nr. 2: Unterkante der oberen Bodenbildung („Paudorfer Bodenbildung“, „Lo2+Lo3“)

Typusprofil: holozäne humose Sedimente, linker Rand des Aufschlusses („Lo5“)

Peratschitzen bei Kühnsdorf:

„Postglazial“

Lage in 11 m Tiefe

Prellenkirchen:

Älter als die archäologische Datierung (Frühholozän)

Obj. 223/1 (Fnr. 170), 223/3 (168), 294/1 (167), 311/9 (160, 187), 358 (162), 415 (176, 178, 177), 424 (186, 184), 481 (248, 246), 483 (222, 221), 483/2 (263), 506 (234), 655 (323, 322), 660 (314, 313), 756 (358, 357), 768 (354, 355, 356), 816 (419), 932 (521, 519, 520), 1058 (555, 554), 1077 (598)

Rittersaal:

Spätglazial, ausklingend

Schicht 4: oberer pleistozäner Schichtkomplex

Frühholozän?

Schicht 3: holozäne Schichten

Frühholozän bis Mittelholozän?

Schicht 3g: holozäne Schichten

Rosenburg:

Jungpleistozän?

Grabung 1987, Schn. 3, Verf. 10, S-Hälfte, unterer Bereich

Mittelholozän

Grabung 1987, Schn. 2, Gra. I, CD-Prof.: Bpr. 12 (cf.)

Grabung 1989, Schn. 10, Plan. 2–3, Verf. 63/O-Sektor (Nr. 285)

Rotes Loch, Rabenstein:

Spätglazial bis früh postglazial

Füllung

Schletz (TRNKA):

Älter lengyelzeitlich, jungpleistozän vermischt

Graben I, Schn. 1, SO-Profil, Lfm. 0–12,4 (Verf. 6)

Schletz (WINDL):

Wahrscheinlich Neolithikum

Schn. 20: Fnr. 1674, 1982/1, 1991, 2002, 2024, 2032, 2042, 2048, 2054, 2060, 2071, 2084, 2096, 2168, 2433, 2546, 2576, 2598, 2685, 2694, 2703, 2723, 2796, 2801, 2886

Schloss Kaiserebersdorf/Wien:

Ende 15. bis 17. Jhd.

Holzrinne und Kanal

Stillfried, Westwall:

Jungpleistozän bis Holozän

Schn. 73–74, unter Plan. 1 (Fnr. 3605/1974)

Ofen, Verf. 2, Abbau (Fnr. 3615/1974); Verf. 3, Abbau (Fnr. 3632/1974)

Schn. HJ, –2,08–2,4 m Tiefe (Fnr. 3967/1975: cf.)

Lfm. 8–10, Schälabbau (Fnr. 7047/1976)

Webgrube, „aus einem Gefäß“ (Fnr. 7253/1977)

Lfm. 2,5–5, Verf. 2, –250 cm unter Lfm. 4 (Fnr. 7470/1978)

Lfm. 15–17, „aus dem Holzrahmen“ (Fnr. 7546/Datum?)

Fnr. 7563 (ohne Angaben)

Ofengrube (Fnr. 7620/1979)

Lfm. 16–20, Humus, Sch. 2, –360 cm unter Lfm. 16 (Fnr. 7693/1979)

Lfm. 16, –385 cm unter Lfm. 16, Sch. 2 (Fnr. 7697/1979); –385–400 cm unter Lfm. 16 (Fnr. 7701/1979)

Löß (Fnr. 7719/1979)

Hallstattgrube, Lfm. 3,1–4,1 (Fnr. 7791/1979)

Schn. HF/W, Qu. E1, Humus, –15–30 cm unter SW (Fnr. 5468/1981; mit f. *expallescens*); Verf. 2, Humus, –65–85 cm

unter SW (Fnr. 5484/1981); Qu. E1, –40–60 cm unter SO (Fnr. 5492/1981); Qu. E1, Verf. 3 (?), –65 cm unter NW (Fnr. 5525/1981); Qu. E0, 124 cm unter SW (Fnr. 5718/1981)

Qu. E1/F0, Humus, 30 cm unter SW (Fnr. 5726/1981)

Schn. HF/W, Qu. F1/E1, –110 cm unter NW (Fnr. 5731/

- 1981); Qu. F1/F0, Humus, 100 cm unter SW (Fnr. 5765/1981)
- Ofen, Verf. 1 (Fnr. 7566, 7567, 7568, 7569, 7572, 7581, 7582, 7587/1978; 7590, 7591, 7593/1981)
- Qu. F2, Plan. 1 (Fnr. 9399/Datum?); Ofen 1 (Fnr. 9608/1982)
- Qu. E2; humose Wallaufschüttung, 130–160 cm Tiefe (Fnr. 9608/1983); 340–360 cm Tiefe (Fnr. 9780/1983); Ofendecke, 372 cm Tiefe (Fnr. 9868/Datum?)
- W-Graben, Lfm. 8–13,7, 9–8,65 cm Tiefe (Fnr. 20664/1986)
- Stillfried, Hügelfeld:**
- Jungpleistozän bis Holozän
- Hügelschn. 1/70, S-Profi. („siehe Zeichnung“; Fnr. 455/1970)
- Qu. G2, Plan. 2, Gra. 1, Grube 2, 92 cm (Fnr. 779/1971)
- Qu. F3, zwischen Plan. 1 u. 2, Grube 1 u. 2, 45–80 cm (Fnr. 854/1971)
- Qu. G4, zwischen Plan. 1 u. 2, Grube 10, 45–65 cm (Fnr. 863/1971)
- Qu. G2, unter Plan. 2, Gra. 1, 100–125 cm (Fnr. 923 und 923/2/1971); Grube 5, 100 cm bis Sohle (Fnr. 930/1971)
- Qu. F1, unter Plan. 3, Grube 4, 90–150 cm (Fnr. 943/1971)
- Qu. G4, unter Plan. 2, Grube 4, bis Sohle (Fnr. 1008/1971); Grube 6/7, bis Sohle (Fnr. 1010/1971); Grube 12 (Fnr. 1011/1971)
- Qu. G3, Grube 2, Profilriegel (Fnr. 1019/1971); Grube 2/18 (Fnr. 1026/1971)
- Qu. F0, beim Tiefgraben bis Sohle (Mörtel) (Fnr. 1027/1971)
- Qu. G4, Grube 6 (Fnr. 1033/1971)
- Qu. F4, unter Plan. 2, Grube 5 (Fnr. 1037/1971)
- Qu. G2/G3, unter Plan. 1, „Hauptmenge aus Gra. 5–G3“ (Fnr. 1202/1971); „Hirschgrube bis Sohle“ (Fnr. 1215/1971)
- Qu. A1, über Plan. 1, im NW-Sockel, 10 cm Höhe, 0–87 cm; Humus (?) (Fnr. 1220/5/1971)
- Qu. F3/F4–G3/G4, Riegel, Grube 1–G3, Abbau (–Sohle) (Fnr. 1228/1971)
- Qu. D1, Obj. 3, Grube 3, N-Hälfte, 150–195 cm unter NW-Ecke (Fnr. 1395/1972)
- Qu. F6, über Plan. 2, aus Humus, Löß; –70–90 cm unter NW-Ecke (Fnr. 1819/1973)
- Qu. G6, über Plan. 2, Grube 4, S-Hälfte, –85–165 cm unter NW-Ecke (Fnr. 1855/1973)
- Qu. G9, zwischen Plan. 1, Grube 4, –50–70 cm unter NW-Ecke (Fnr. 1891/1973)
- Qu. E9, über Plan. 1, Humus, –45–65 cm unter NW-Ecke (Fnr. 1894/1973)
- Qu. G8, unter Plan. 1, Humus, –60–85 cm unter NW-Ecke (Fnr. 1908/1973)
- Qu. E5, über Plan. 1, Humus, NW-Teil, –120–145 cm (Fnr. 1912/1973); –140–160 cm unter NW-Ecke (Fnr. 1934/1973); Humus (Delle), S-Teil, –140–160 cm (Fnr. 1946/1973)
- Qu. F8, über Plan. 1, Grube im N, –100–155 cm unter NW-Ecke (Fnr. 1947/1973)
- Qu. G8, unter Plan. 1, Grube 5, NW-Teil, –60–100 cm unter NW-Ecke (Fnr. 1954/1973)
- Qu. G9, unter Plan. 1, Grube 4, NW-Teil, –60–190 cm unter NW-Ecke (Fnr. 1955/1973)
- Qu. G5, unter Plan. 3, Grube 1, NW-Teil, –95–125 cm unter NW-Ecke (Fnr. 1956/1973)
- Qu. G8, unter Plan. 1, Grube 4, SW-Teil, –160–180 cm unter NW-Ecke; „Vogelknochen“ (Fnr. 1960/1973)
- Qu. G9, unter Plan. 1, Grube 4, O-Teil, –90–130 cm unter NW-Ecke (Fnr. 1972/1973); über Plan. 1, Grube 10, –150 cm unter NW-Ecke, 45 cm -> N, 150 cm N, „Töpfchen, unvollständig“ (Fnr. 1976/1973)
- Qu. F9, über Plan. 1, Grube 2, Abbau, –85–156 cm (Fnr. 1982/1973)
- Qu. G6, unter Plan. 2, Grube 4, Abbau (Fnr. 2001/1973)
- Qu. G6/G7, über Plan. 1, rezenter Humus, 0–45 cm unter NW-Ecke (Fnr. 2004/1973)
- Qu. G8, Plan. 2, Grube 5, –70–100 cm unter NW-Ecke (Fnr. 2015/1973); unter Plan. 2, Grube 7a, –80–145 cm unter NW-Ecke (Fnr. 2034/1973; mit f. *expallescens*)
- Profilriegel G5/G6, unter Plan. 1, Grube 11–G5, –80–130 cm unter NW-Ecke (Fnr. 2035/1973)
- Profilriegel G8/G9, unter Plan. 1, Grube 7a, –35–130 cm unter NW-Ecke (Fnr. 2056/1973)
- Profilriegelkreuz E11/F11–E12/F12 (Fnr. 4062/1975)
- Qu. G12, über Plan. 1, Aschenschicht, –110 cm unter NW-Ecke (Fnr. 4157/1976)
- Qu. F20, unter Plan. 1, Sockel in der NW-Ecke, humöse Grubenverfüllung, 75–92 cm unter NW-Ecke (Fnr. 4159/1976)
- Qu. G20, unter Plan. 1, Schn. abc, 130–170 cm unter NW-Ecke (Fnr. 4251/1976)
- Qu. E17, unter Plan. 1, Grube 1b, –70–90 cm unter NW-Ecke (Fnr. 4381/1976)
- Qu. G20, Grube 7 (Fnr. 4432/1976)
- Qu. E15, Grube 1b, –136–150 cm unter NW-Ecke, Obj. 430 (Fnr. 4516/1976)
- Qu. E19, Grube 2, –70 cm unter NW-Ecke (Fnr. 4517/1976)
- Qu. D19, Grube 2 (Fnr. 4552/1976)
- Qu. H10; Abheben der Grasnarbe, 0–20 cm unter NW-Ecke (Fnr. 4779/1978); 2. Stich; –20–50 cm unter NW-Ecke (Fnr. 4782/1978)
- Qu. H9, zwischen HOK und Plan. 1, 20–25 cm unter H9 (Fnr. 4796/1978)
- Qu. H10, Plan. 2–3, Verf. 2, NW- oder Verf. 1, SW-Viertel, 20–40 cm unter SO-Ecke (Fnr. 4854/1978)

- Qu. H8, 2. Spatenstich, 0–20 cm unter NO (Fnr. 4867/1978)
- Qu. H9/H10, Riegel, Verf. 1, 3. Stich, –15–35 cm unter NO-Ecke (Fnr. 4907/1978); Verf. 1, 3. Stich, –15–35 cm unter NO-Ecke (Fnr. 4908/1978)
- Riegel 5/6–4/5, Verf. 3, –170 cm HOK, Obj. 479 (Fnr. 4938/1978)
- Qu. H8–Ost, Verf. 4b, Brandschicht (Fnr. 4987/1978)
- Qu. H4, 3. Stich, Mitte, N-Hälfte (Fnr. 5102/1979); Plan. 1–2, Verf. 3a, Obj. 30/31 (Fnr. 5124/1979)
- Qu. H7, Profil W, Verf. 4 (Fnr. 5130/1979)
- Qu. H4, unter Plan. 2, beim Putzen, Obj. 30/31 (Fnr. 5136/1979)
- Qu. H5, unter Plan. 3, Verf. 1c, 0–25 cm (Fnr. 5138/1979)
- Qu. H5/H6, Verf. 1b (Fnr. 5177/1979)
- Qu. H6/H7, Abheben der Grasnarbe + 2. Stich, 0–40 cm unter NW-Ecke (Fnr. 5178/1979)
- Qu. H7/H8, Stiel aus Verf. 1–H7, Obj. 479 (Babyskelett, Fnr. 5191/1979); Prof.riegel, Verf. 1–H7 und Verf. 3–H8, Obj. 479 (Fnr. 5195/1979)
- Qu. H2, Plan. 1–2, Verf. 6, 74–90 cm unter NW-Ecke, Obj. 524 (Fnr. 5245/1980)
- Qu. H3, Plan. 2–3, Verf. 4, 60–80 cm unter NW-Ecke, Obj. 539 (Fnr. 5262/1980)
- Qu. H1, Plan. 1–9, Verf. 2 (Fnr. 5341/1980)
- Qu. H1/H2, Prof.riegel, Plan. 4, Sohle, Verf. 4 (Fnr. 5348/1980)
- Qu. H1, Plan. 4, Verf. 2, 0–5 cm (Fnr. 5354/1980)/Plan. 4–5, Verf. 2, 180–190 cm unter NW-Ecke (Fnr. 5365/1980)
- Qu. A1, Ausheben des Humus, –50 cm unter NO-Ecke (Fnr. 8019/1981)
- Qu. A0, Verf. 1, 120 cm unter Hof (Fnr. 8075/1981)
- Qu. A1, –140 cm unter NW-Ecke, Obj. 1g (Fnr. 8078/1981)
- Prof.riegel –A1/A1, Plan. 1–2, Verf. 1, 40–80 cm unter NW-Ecke (direkt unter der Wirbelsäule, Fnr. 8160/1981)
- Humus, –15–33 cm (Fnr. 8204/1982)
- Qu. B0, –80 cm unter NW-Ecke (Fnr. 8299/1982)
- Qu. C0, Verf. 1, 110–130 cm unter NW-Ecke (Fnr. 8453/1982); –130–160 cm unter NW-Ecke (Fnr. 8468/1982); –160–190 cm unter NW-Ecke (Fnr. 8483/1982)
- Prof.riegel C0/C1, Verf. 4, 140–150 cm unter SO-Ecke C0 (Fnr. 8558/1982)/160–170 cm unter SO-Ecke (Fnr. 8563/1982)
- Prof.riegel A1/A0, 175 cm unter SO-Ecke, Verf. 8 (Fnr. 8610/1982)
- Qu. B0, Verf. 6, –232 cm unter NW-Ecke (Fnr. 8634/1982)
- Qu. D10, Verf. 1a, 170–190 cm unter NO-Ecke D10 (Fnr. 8694/1982)
- Qu. B0, Verf. 6, 230–255 cm unter NW-Ecke (Fnr. 8720, 8727, 8737/1982); 250–280 cm unter NW-Ecke (Fnr. 8798, 8801, 8802, 8803, 8804, 8806, 8807, 8808/1982); Plan. 6, unter und im Bereich von Fnr. 8829 (Fnr. 8833/1982); Verf. 6, 270–290 cm unter NW-Ecke (Fnr. 8845/1982)
- Qu. A0/–A0, Verf. 5, –150 cm unter NO-Ecke –A0 (Fnr. 8852/1982)
- Qu. –A0, Plan. 2, Verf. 2, –140–172 cm SW von –A0 (Fnr. 8900/1983)
- Qu. B1, g, –50 cm unter SO-Ecke (Fnr. 8915/1983)
- Qu. C1, e, –63–88 cm unter NW-Ecke (Fnr. 10929/1983)
- Qu. B1, f, –34–55 cm unter SO-Ecke (Fnr. 10952/1983)
- Qu. –A1, Verf. 4, SO-Teil, –163–185 cm unter NW-Ecke (Fnr. 11140/1983)
- Qu. C1, Verf. 3, SO-Teil, –150–170 cm unter SO-Ecke (Fnr. 11200/1983)
- Riegel A1/A0, 5. Spatenstich, –55–75 cm SO A1 (Fnr. 11214/1983)
- Riegel –A1/A0, 7. Spatenstich, –90–107 cm unter SO-Ecke –A1 (Fnr. 11225/1983); 9. Spatenstich, –120–134 cm NO-Ecke A1 (Fnr. 11227/1983)
- Riegel C1/B1, 2. Spatenstich, –32–50 cm SO von C1 (Fnr. 11245/1983)
- Riegel A1/A0, Verf. 1 (Fnr. 11297/1983)
- Qu. –A1, Verf. 18, –203 cm SW-Ecke A1 (Fnr. 11304/1983)
- Riegelkreuz –A1/A0/B1/B0, –160 cm NO A1 (Fnr. 11321/1983)
- Qu. B1, Plan. 4, Verf. 4 (Fnr. 11383/1983)
- Riegel B1/C1, Verf. 1, –250–270 cm SW C1, Aushub (Fnr. 11391/1983); Grube (Fnr. 11392/1983); –270 cm SW C1 (Fnr. 11399/1983)
- Hügelfeld-N; Schn. 1, Geländekante, 50–65 cm unter HOK (Fnr. 10262/1984)
- Qu. B1, Pfostenloch Nr. 10, –120 cm HOK (Fnr. 11563/1 und 2/1984)
- Qu. D1, Ofen, auf dem Sockel, Verf. 1, –97 cm HOK (Fnr. 11604/2/1984); unterhalb der Ofenbodenplatte, –94–106 cm HOK (Fnr. 11611/1 und 2/1984); W-Hälfte, –97–105 cm HOK (Fnr. 11619/1 und 2/1984); Verf. 3, –110–137 cm HOK (Fnr. 11660/1 und 2/1984)
- Qu. B2, O-Hälfte Verf. 1, –220 cm NO-Ecke (Fnr. 11702/2/1984); Verf. 1 (Fnr. 11725/1 und 2/1984)
- Qu. B2, d (Fnr. 11732/1984)
- Qu. D/E1, Verf. 1, unter Plan. 3, –119 cm SO-Ecke (Fnr. 11789/1984)
- Qu. B2, Verf. 1, –290–319 cm HOK (Fnr. 11792/2/1984)
- Qu. B2, 160–190 cm HOK (Fnr. 11852/1 und 2/1984)
- Qu. D/E0, Riegel entlang der O-Kante, –77 cm unter HOK (Fnr. 11914/1984)
- Qu. D/E1, 42–72 cm von N-Kante, 158–180 cm von O-Kante, 192 cm unter HOK (Fnr. 11927/2/1984)

- Qu. D1, Verf. 2, N-Teil, –150–180 cm unter HOK (Fnr. 11942/1 und 2/1984); Verf. 11, N-Teil, 3. Stich unter Plan. 2, 150–180 cm unter HOK (Fnr. 11943/1 und 2/1984)
Riegel D/E0/E1, 12. Spatenstich, –230 cm unter NO-Ecke von D/E0 (Fnr. 11955/2/1984)
Qu. D/E1, N-Prof. (Fnr. 12467/1984)
Riegel D/E0/F0, Verf. 1b, –190 cm unter NW von E1 (Fnr. 12494/1 und 2/1984)
Qu. I2, Humus, 0–25 cm unter NO-Ecke (Fnr. 12620/1984?)
Qu. A2, –30–50 cm unter NO (Fnr. 12660/1984?)
Qu. J4, Verf. 2 (Fnr. 13086/1986?)
Qu. A/B3, Aushub (Fnr. 13169/1986)
Qu. A/B3, Verf. 8, Obj. 863 (Fnr. 13201/1986); Verf. 5, Obj. 864 („Urzeit“; Fnr. 13203/1986)
Fnr. 19064 (Datum?, Angaben?)
Qu. L5, Verf. 3, 20–30 cm unter Plan. 1, Obj. 760 („Urzeit allgemein“; Fnr. 20263/1986)
Qu. J6, Planumputzen (Fnr. 20664/1986)
Qu. I7/J7, Verf. 6, 0–28 cm unter SO von J6 (Fnr. 20798/1986)
„Urnenfelderzeit“ (9.–8. Jhdt. v. Chr.)
Qu. AB3, Verf. 14, Obj. 841, –10 cm unter Plan. 7 (Fnr. 13247, 13248/1986), 0–20 cm unter Plan. 7 (Fnr. 13257, 13260, 13262, 13264, 13265/1986), –20 cm unter Plan. 7 (Fnr. 13259/1986), –10–20 cm unter Plan. 7 (Fnr. 13261/1986), 0–20 cm unter Plan. 8 (Fnr. 13287/1986), Obj. 841 (Fnr. 13258, 13290, 13298, 13335, 13336, 13338, 13339, 13341, 13347, 13351, 13352, 13356/1986), Obj. 841, zwischen Plan. 8 und 9 (Fnr. 13304, 13306, 13308, 13309, 13310/1986)
Gräberfeld, M. Kaus; „Gefäßinhalt“ (Fnr. 6136/1975)
Gräberfeld, M. Kaus (Fnr. 6737, 6843/Datum?)
„Urnenfelder-/Hallstattzeit“ (9.–8. Jhdt. bzw. 6.–5. Jhdt. v. Chr.)
Qu. H15, unter Plan. 3, aus Verf. 1A, 100–200 cm unter NW-Ecke, Obj. 245 (Fnr. 2860/1975)
Qu. H15, Teilplan. 4, Grube 17, 120–140 cm unter NW-Ecke, Obj. 245 (Fnr. 2936/1975)
Qu. G20, Grube 7, Obj. 409 (Fnr. 4436/1976)
Qu. G20, beim Abbau des Prof.riegels, Grube 1, Obj. 407 (Fnr. 4453, 4461/1976)
Qu. G20, Grube 1D, –222 cm unter NW-Ecke, Obj. 407 (Fnr. 4495/1976)
Qu. H1, Prof.riegel H1/H2, Plan. 1–2, Verf. 3, Obj. 523 (Fnr. 5321/1980)
Qu. A1, Verf. 5, 80–100 cm unter SW-Ecke, Obj. 667 (Fnr. 8285/1982); Obj. 667, –140–170 cm unter NW-Ecke (Fnr. 8395/1982)
Qu. B0, Verf. 6, Freiputzen der Tierskelette, 230–255 cm unter NW-Ecke (Fnr. 8712/1982)
Qu. B1, Verf. 4, NO-Teil, –225–245 cm unter NO-Ecke, Obj. 648 (Fnr. 11166/1983)
Qu. C1, Verf. 2, S-Teil, –250–290 cm unter SW-Ecke, Obj. 634 (Fnr. 11172/1983); Verf. 1, Obj. 634 (Fnr. 11319/1983)
Qu. C1, Verf. 1, –238–258 cm unter SW, Obj. 643 (Fnr. 11190/1983)
Qu. B1, Verf. 4, SO-Teil, –265–275 cm unter SO, Obj. 648 (Fnr. 11262/1983); NW-Teil, –270 cm unter SW, Obj. 648 (Fnr. 11308, 11309/1983)
Riegel C1/B1, Verf. 1, Obj. 643 (Fnr. 11377, 11386/1983)
Qu. B1, Plan. 4, Verf. 4, Tierskelett, Obj. 648 (Fnr. 11384/1983)
„Römerzeit“ (1.–4. Jhdt. n. Chr.)
Qu. J2/J3, Obj. 714 (Fnr. 12907/1985?)
Qu. J2, Verf. 7, Obj. 724 (Fnr. 12908/1985)
Qu. J3, Verf. 1, Obj. 732 (Fnr. 12937/1985)
Qu. J2, Obj. 723 (Fnr. 12957/1985?)
„Römerzeit (?)“
Qu. H15, unter Plan. 3, aus Grube 3, N-Teil, 160–170 cm unter NW-Ecke, Obj. 234 (Fnr. 2852/1975)
„Römerzeit mit viel urzeitlichem Material“
Qu. H7, Plan. 2–3, Verf. 4, 0–10 cm über der Grubensohle, Obj. 514 (Fnr. 5063/1979)
Qu. H8, Kuppelofen, 0–10 cm unter Plan. 1, Obj. 481 (Fnr. 5065: Proben 2, 4/1979)
„Mittelalter“
Qu. G18, unter Plan. 2,2, NO-Teil, Abbau, 110–170 cm unter NW-Ecke, Obj. 281 (Fnr. 2532/1974)
Qu. G15, unter Plan. 2,1, 130–240 cm unter NW-Ecke, Obj. 325 (Fnr. 2545/1974)
Qu. G14, unter Plan. 1,1, Abbau, Obj. 213 (Fnr. 2567/1974)
Qu. G9, unter Plan. 2,4, 145–195 cm (Fnr. 2584/1974; mit f. *expallescens*)
Qu. F12, über Plan. 1, Humus, Verf., O-Teil, 80–100 cm unter NW-Ecke, Obj. 302/306 (Fnr. 2745/1975)
Prof.riegel E11/F11, Abbau, bis 165 cm unter NW-Ecke (Fnr. 4028/1975)
Qu. E19, über Plan. 2, Grubenfüllung, in der NO-Ecke, 84–105 cm unter NW-Ecke, Obj. 464 (Fnr. 4206/1976)
Qu. G20, Schn. qrst, Grube 2, –130 cm unter NW-Ecke, Obj. 408 (Fnr. 4389/1976); Abbau des Prof.riegels, –110–120 cm unter NW-Ecke, Obj. 408 (Fnr. 4444/1976); Grube 2a, Abbau des Prof.riegels, –130–180 cm unter NW-S-Ecke, Obj. 408 (Fnr. 4448/1976)
Qu. H9, Plan. 3–4, Verf. 4, Obj. 484 (Fnr. 4887/1978); unter Plan. 4, Verf. 4, –130–180 cm Obj. 484 (Fnr. 4918/1978)
Qu. H8, Plan. 3–4, Verf. 4c, 115–150 cm unter HOK, Obj. 484 (Fnr. 4952/1978)
Riegel H8/H9, Plan. 2–3, Verf. 4c, Obj. 484 (Fnr. 4991/1978; mit f. *expallescens*); Plan. 3–4, Verf. 4c, Obj. 484 (Fnr. 4998/1978)

Qu. A0, Plan. 1–2, Verf. 1a/1b, 1. Stich, 60–85 cm unter NW-Ecke, Obj. 595 (Fnr. 7988/1981)

Qu. A1, Plan. 3–4, Verf. 3, 250–270 cm unter SW-Ecke, Obj. 605 (Fnr. 8139/1981); Plan. 4–5, unterste Schicht, 270–290 cm unter SW-Ecke, Obj. 605 (Fnr. 8144/1981)

Qu. C0, Prof.riegel C0/C1, Verf. 4, –65–88 cm unter SO-Ecke, Obj. 627 (Fnr. 8546/1982)

Qu. C1, Verf. 3, NW-Teil, –250–275 cm unter NW-Ecke, Obj. 636 (Fnr. 11210/1983); 275–290 cm unter NW-Ecke, Obj. 636 (Fnr. 11215/1983)

Qu. B1, Verf. 4, SO-Teil, –164–182 cm unter SO-Ecke, Obj. 648A (Fnr. 11212/1983); –182–210 cm unter SO-Ecke, Obj. 648A (Fnr. 11221/1983)

Qu. C1, Verf. 3, NW-Teil, –290–300 cm unter NW-Ecke, Obj. 636 (Fnr. 11216/1983).

„Mittelalter mit viel urzeitlichem Material“

Qu. F19, unter Plan. 3, NW-Viertel, 110–300 cm unter NW-Ecke, Abbau (Fnr. 2686/1974)

Qu. H4, Verf. 1, Grubensohle, Obj. 504 (Fnr. 5159/4/1979: cf.)

„Mittelalter mit römerzeitlichem und urzeitlichem Material“

Qu. H7, Plan. 1–2, Verf. 5, W-Viertel, Obj. 515 (Fnr. 5039/1979); Plan. 2–3, Verf. 5, O-Viertel, Obj. 515 (Fnr. 5056/4/1979); unter Plan. 3, Verf. 5, N-Viertel, 0–10 cm bei Sohle, Obj. 515 (Fnr. 5067/3/1979); Verf. 5, O-Viertel, 0–10 cm bei Sohle, Obj. 515 (Fnr. 5068/2/1979)

„Mittelalter mit römerzeitlichem Material“

Qu. –A1, Verf. 9, –100–120 cm unter SW-Ecke, Obj. 676 (Fnr. 8363/1982)

Qu. A1, Verf. 9, –140–160 cm unter SO-Ecke, Obj. 676 (Fnr. 8475/1982)

„Mittelalter/Neuzeit mit römerzeitlichem und urzeitlichem Material“

Qu. H1, Plan. 1–3, Verf. 2, 170 cm unter NW-Ecke, Obj. 519 (Fnr. 5342/1980); Plan. 4–5, Verf. 2, 180–190 cm unter NW, Obj. 519 (Fnr. 5363/1980); Plan. 4, Verf. 2, 180–185 cm unter NW, Obj. 519 (Fnr. 5367/1980); Plan. 4–5, Verf. 2, S-Teil, 190–195 cm unter NW-Ecke, Obj. 519 (Fnr. 5370/1980)

Qu. H1/I1, Verf. 2-H1, –130 cm HOK, Obj. 519 (Fnr. 5432/1980); Verf. 2-H1, N-Erweiterung in der NW-Ecke, –165 cm HOK, Obj. 519 (Fnr. 5436/1980; mit f. *expallescens*); Verf. 2-H1, N-Erweiterung, Obj. 519 (Fnr. 5445/1980); Verf. 2-H1, N-Erweiterung in der NW-Ecke H1, –160–190 cm Obj. 519 (Fnr. 5455/2, 3/1980)

Stillfried, Kirchhügel und Kirche:

Jungpleistozän?

Kirche, Lfm. 26, 210 m Tiefe (Fnr. 9167/Datum?)

Qu. F3, 0–20 cm unter HOK (Fnr. 9372, Kirchberg 2, 4, 5, 7/1976)

Stillfried, Küßleracker:

Jungpleistozän?

Suchschn. A, Grube 1, 110 cm unter HOK (Fnr. 12020/Datum?); Humus, Lfm. 12–16, 0–40 cm unter HOK (Fnr. 12053/Datum?); Grube 16 (Fnr. 12103, 12135/Datum?); Grube 16, Profiluputzen bis 130 cm unter HOK (Fnr. 12107/Datum?)

Suchschn. A, Grube 16 (Fnr. 12267/Datum?); Humus, Lfm. 5,2–7,2, 0–40 cm unter HOK (Fnr. 12280/Datum?); Obj. 38 (Fnr. 12324, 12331, 12333 [cf.]/Datum?); Obj. 35 (Fnr. 12337 [cf.]/Datum?)

Suchschn. B, Humus, Lfm. 14–16, bis –75 cm unter HOK (Fnr. 12173/Datum?)

Suchschn. B, Lfm. 0–2, –100 cm unter HOK (Fnr. 12186/Datum?); Humus, Lfm. 8–10,1, 1 m unter HOK (Fnr. 12193/Datum?); Humus, 12–14, bis 110 cm unter HOK (Fnr. 12196/Datum?); Humus, Lfm. 14–17, 100–140 cm unter HOK (Fnr. 12206/Datum?); Humus, Lfm. 14–16, 140–180 cm unter HOK (Fnr. 12216/Datum?); Aushub über Verf. 8 und 16 (Fnr. 12219/Datum?)

Ohne Angaben (Fnr. 12099/Datum?)

„Lößschnecken“ (ohne Kennzeichnung und Datum)

Stranzendorf:

Mittelploziän

Rotlehm C

Oberploziän

Braunlehme F, G

Straß im Straßertale:

Wahrscheinlich etwas jünger als die Siedlung: spätes Mittelholozän

Grabung 1981, Kreisgrabensystem, Gru. 2: SW-Sektor (Nr. 13), NO-Sektor (Nr. 14)

Grabung 1989, Schn. 3: NO-Sektor, Schn. 3–Verf. Sohle, Sig. 14 (Nr. 1582); NO-Sektor, Plan. 3–Verf. Sohle, Sig. 19 (Nr. 1583); SW-Sektor, Plan. 3–Verf. Sohle, Sig. 19 (Nr. 1584); Verf. 3 (Nr. 1281)

Stratzing/Krems-Rehberg:

Holozän

Prof. I: Tennisplatz-Ziegelei (1994): Probe 1 (0–25 cm Tiefe), Probe 2 (25–50 cm)

Ternitz:

Hochmittelalter bis subrezent

Fnr. 81+82 (Sig. 41), 99 (41a), 105 (47/76/52/54), 262 (111), 338 (159), 354 (68), 355 (172), 370 (181), 371 (180: cf.), 393 (190), 408 (191), 411 (194a), 412 (194a), 458 (220), 495 (220: cf.), 577 (246), 728 (307), 743 (209+202), 818 (194a), 821 (202), 913 (220), 914 (310), 958 (358), 973 (363), 1650 (627), 1707 (637), 1761 (1), 1990 (822), 2001 (816), 2027

Tropfsteinhöhle am Kugelstein:

Holozän

Schicht 6: primäre holozäne Schichten

Schicht 1–5: gestörter Profilanteil (Schichten 1–3) und primäre holozäne Schichten (4–5)

Tunnelhöhle:

Jungholozän

Schicht 22–1: jüngster Schichtkomplex inkl. Planierschicht älterer Grabungen

Wien I, Judenplatz:

Römische Periode, 2.–4. Jhdt. n. Chr.

Verfüllung eines aufgelassenen Ofens (1379; Schn. 10/S: kleinwüchsig)

Planierschicht (Schn. 13/S, Fl. 15)

Hochmittelalter, 12. Jhdt. n. Chr.

Verfüllung der tiefen Grube (3069; Schn. 19/SW; Füllmaterial: cf.)

Hochmittelalter/Spätmittelalter: 13.–15. Jhdt. n. Chr.

Straßenschicht (Schn. 9/0/2+21, Fl. N)

ebenfalls hoch liegend. Radialsulptur nicht dominierend (PFEFFER 1929: 144).

Ab Unteroligozän (Rupelium); zahlreiche Arten in Europa. – Rezent in Europa 2 Arten (WENZ u. ZILCH 1959: 716–717).

***Cepaea (C.) nemoralis* (LINNAEUS 1758)**

(Taf. LVI: 9–10; Karte 269)

(12) 16,5–18 (22) mm H : (18) 21–23 (25) mm B; 4½–5½ Ugge. Gedrückt-kugelig; Gewinde mit fast geraden Seitenlinien, Spitze abgestumpft. Glänzend, in vielen Farb- und Bänderungsvariationen. Grundfarbe von gelblichweiß bis zitronengelb, lachsfarben, rötlich, violett bzw. dunkelbraun; Bänderung dunkel- bis schwarzbraun, rotbraun oder hyalin durchscheinend; einzelne Bänder oder alle können wegfallen bzw. miteinander verschmelzen. Bei gebänderten Morphem ist das unterste Band eng um den Nabel laufend (der innere Rand liegt etwa auf der Mitte der Umgangsbasis). Eine Besonderheit sind „Tüpfelbänder“ (FECHTER u. FALKNER 1989: 242) bei Populationen in den Randbereichen der ehemaligen (= vor etwa 8000 Jahren bestehenden) Landbrücke zwischen Südschweden und Schleswig-Holstein, in kühl-feuchten Biotopen (genetisch fixiert), oder in warmen

***Cepaea (Cepaea)* HELD 1837**

Mittelgroß, kugelig-kegelig; stark aufgeblasen, letzter Umgang gerundet; Mündung etwas in die Quere verbreitert. Ohne extralabiale Depression; intralabiale Schwelle kräftig; sehr starke intralabiale Depression. Verdeckter Nabel

Karte 269



Gebieten als ökologische Reaktionsform. Nach FECHTER u. FALKNER (1989) ist der Polymorphismus auffallend erhöht in Flusstälern, wo durch Verschwemmung von Individuen häufigerer Genaustausch möglich ist. Groß ist er auch in Ballungsräumen, bedingt durch Verschleppung. Die Morphphen zeigen gewisse Anpassungsvorteile gegenüber bestimmten Habitatfaktoren, z. B. sollen gelbe klimatische Extreme besser ertragen als dunkle oder gebänderte. Bänderung und Färbung tarnen unterschiedlich: Bräunliche, oft ungebänderte sind in Waldbiotopen besser geschützt, kräftig gebänderte in lichten Gebüsch (Gestalt auflösend), einfarbig zartgelbe in offenen Grasländern. Dies bietet Selektionsvorteil gegenüber Schnecken fressenden Vögeln (Drosseln). Zum Farbpolymorphismus von Landschnecken (vor allem der Gattung *Cepaea*) nimmt auch SVERLOVA (2004) Stellung. Sie diskutiert die thermische Selektion als Alternative zur visuellen Selektion durch Feinde. – Lippe außen und innen meist dunkelbraun bis braunrot, selten weißlich; ebenso Nabelfeld und Mündungswand, die letzteren können ebenfalls aufgehellt sein. Ziemlich schwach und unregelmäßig gestreift; nur gelegentliche, ganz schwach angedeutete Spirallinien; mikroskopisch feine Körnelung meist deutlich. Mündung breit, mehr gerundet, ihr Oberrand mit dem schrägen Spindelrand divergierend, etwas nach oben geschwungen. Spindelkante gerade, mit einer breit-bogigen Verbindung an das Nabelfeld angesetzt. Nabel völlig vom Mundsaum verdeckt; beim Übergang des Mündungsumschlages in den Basal- bzw. Außenrand normalerweise kein offener Schlitz. – Veränderlich (s. o.), auch in der Größe; doch im Ostalpenraum weniger variabel als *C. hortensis*. *C. nemoralis lucifuga* (ROSSMÄSSLER 1835) (zerstreut über den Apennin verbreitet; besonders häufig und ausgeprägt im toskanischen Bergland) ist großwüchsig (28–30 mm B), mit hammerschlägiger Oberfläche. Lokal können besonders hochgewundene Individuen häufiger auftreten.

In Wäldern, Gebüsch, Heckenstrichen, Wiesen, in Lichtwäldern, gerne in Wassernähe, in der Krautschicht entlang von Gräben; häufig im Kulturgelände: Gärten, Parkanlagen, Friedhöfe. 210–1400 m, in den Pyrenäen bis 1800 m.

West-, mittel- und osteuropäisch; Westeuropa, im Süden bis Südportugal und Mittelspanien; durch die Südalpen bis Südwestungarn, Bosnien, Italien bis Lukanien; im Norden bis Südschweden, im Osten bis zur Oder. In Österreich weniger verbreitet als die vorige, im Norden und Süden des Landes; im Osten, den mittleren und westlichen Teilen spärlich bis fehlend (KLEMM 1974a: 464, 466; Karte 151). Häufig anthropogen verschleppt; auch nach Übersee.

Warmzeitlich; in Mitteleuropa interglaziale Leitart; tiefer in den mitteleuropäischen Raum eindringend als heute (z. B. Böhmen; JAECKEL, S. G. A. 1962: 200–201; LOŽEK 1964b: 314).

Pleistozän-warmzeitlich wird eine besonders große Ausbildung dieser Art beschrieben: *C. nemoralis tonnensis* (SANDBERGER 1875); 28–30 mm B, 22 mm H; dickschalig und hell gelippt; gebändert, deutlichere Radialskulptur (Niederlande; Harzvorland; Thüringen; Oberalling bei Regensburg; EHRMANN 1956: 147; S. G. A. JAECKEL, S. G. A. 1962: 201; LOŽEK 1964b: 313).

Holozäne Fundmeldungen im Bereich des gegenwärtigen Areals. Nach WALDÉN (1986a: 123–124) auf der Insel Ven (Südschweden) in Schichten mit neolithischen und bronzezeitlichen Resten und in überlagernden Schichten. In Skandinavien (außer in Süd-Skåne) synanthrope Verbreitung. Aus Dänemark sind verstreute subfossile Meldungen bekannt, einige davon synanthrop. – Nach SVERLOVA (2002) war die Art zu Ende des 19. Jhdts. in der westlichen Ukraine noch nicht registriert; die Einschleppung dürfte in der jüngeren Vergangenheit erfolgt sein.

Fundstellen

Durezza-Schachthöhle:

Jungholozän

Sektor A, über Plan. 1 (cf.)

Sektor A, über Plan. 2

Nische A/1. Abstich KS

Sektor A1, Abstich über Plan. 6 + Reste aus FK 9

Sektor A1, 2. Abstich über Plan. 6

Sektor B, Nische, über Plan. 4

Sektor B, Nische Sektor d, über Plan. 5 (cf.)

„Aushub Höhlenforscher“ (ohne Angaben)

Georgiberg b. St. Kanzian:

Wahrscheinlich Mittelalter

I/Wallschnitt 2 (gelbe Schicht mit Konglomerat)

Krems, Schießstätte:

Ältestpleistozän

Probe KR 7/1: über Paläoboden 7, in der Mitte der mittleren Wand

Zeitstellung Alt- bis Mittelpleistozän?

Paläoboden KR 5 (Braunlehm)

Cepaea (C.) hortensis (O. F. MÜLLER 1774)

(Taf. LVI: 11–13; Karte 270)

(10) 16,5–18 mm H : (14) 21–23 mm B; (4½) 5–5½ Ugge. Form und Oberfläche ähnlich der vorigen, doch kleiner, kugelig, mit meist mehr gerundetem Spitzenteil; Seitenlinien des Gewindes mehr konvex. Färbung und Bänderung ähnlich variabel wie bei *C. nemoralis*; bei gebänderten ist das unterste Band weiter vom Nabel entfernt als bei dieser (sein Innenrand verläuft außerhalb der Mitte der Umgangsbasis). Mundsaum, Lippe und Nabelfeld meist weiß; der Mundsaum kann gelegentlich braun sein [vor allem in schattigen, falllaubreichen Wäldern: *C. hortensis fuscolabiata* (KREGLIN-

GER 1870), bei meist rötlichbrauner Schale und gelblich durchscheinender Lippe; EHRMANN 1956: 147; JAECKEL, S. G. A. 1962: 201; LOŽEK 1964b: 313]. Mündung schmaler als bei *C. nemoralis*, ihr Oberrand dem schrägen Spindelrand ein größeres Stück parallel laufend, dann erst herabgebogen. Spindelkante gerade, ziemlich dicht unter dem Nabelfeld beginnend. Nabel wie bei *C. nemoralis* völlig bedeckt. – Veränderlich wie diese; innerhalb der Population auftretende Individuen mit hyalinen, durchscheinenden Bändern: *C. hortensis arenicola* (MACGILLIVRAY 1843). An feucht-kühlen oder kalkarmen Lokalitäten sehr dünnchalig.

In Wäldern, Wiesen, Heckenstrichen, an Felsen und Mauern; 120–1750 m, in den Alpen bis über 2000 m. Sie ist weniger synanthrop als *C. nemoralis*.

West- und mitteleuropäisch; von Nordostspanien über Frankreich und die Britischen Inseln bis Nordnorwegen, Südisland, im Osten bis in die Ostseeländer; Westkarpaten, Nord- und Südostalpen und angrenzende Karstländer. Besonders im Norden Österreichs verbreitet, wenig in die Alpen eindringend und dem Hauptkamm nicht besonders nahe kommend (KLEMM 1974a: 461, 463; Karte 150). Nach FECHTER u. FALKNER (1989: 240) auch in Nordostamerika

festgestellt (autochthone Vorkommen?). Nach SVERLOVA (2002) wie *C. nemoralis* zu Ende des 19. Jhdts. in der westlichen Ukraine noch nicht festgestellt; vermutlich in der jüngeren Vergangenheit eingeschleppt.

Warmzeitlich; pleistozäne und holozäne Fundmeldungen aus dem heutigen Verbreitungsgebiet.

Fundstellen

Aigen, Hohlweg:

Jungpleistozän

„Paudorfer Bodenbildung“, Unterkante (Probe 1)

Alberndorf:

Jungpleistozän

Probe Nr. 4: Sektor G, Lfm. 5, Plan. 1–2 (Nr. 1379)

Allander Tropfsteinhöhle:

Mittelholozän

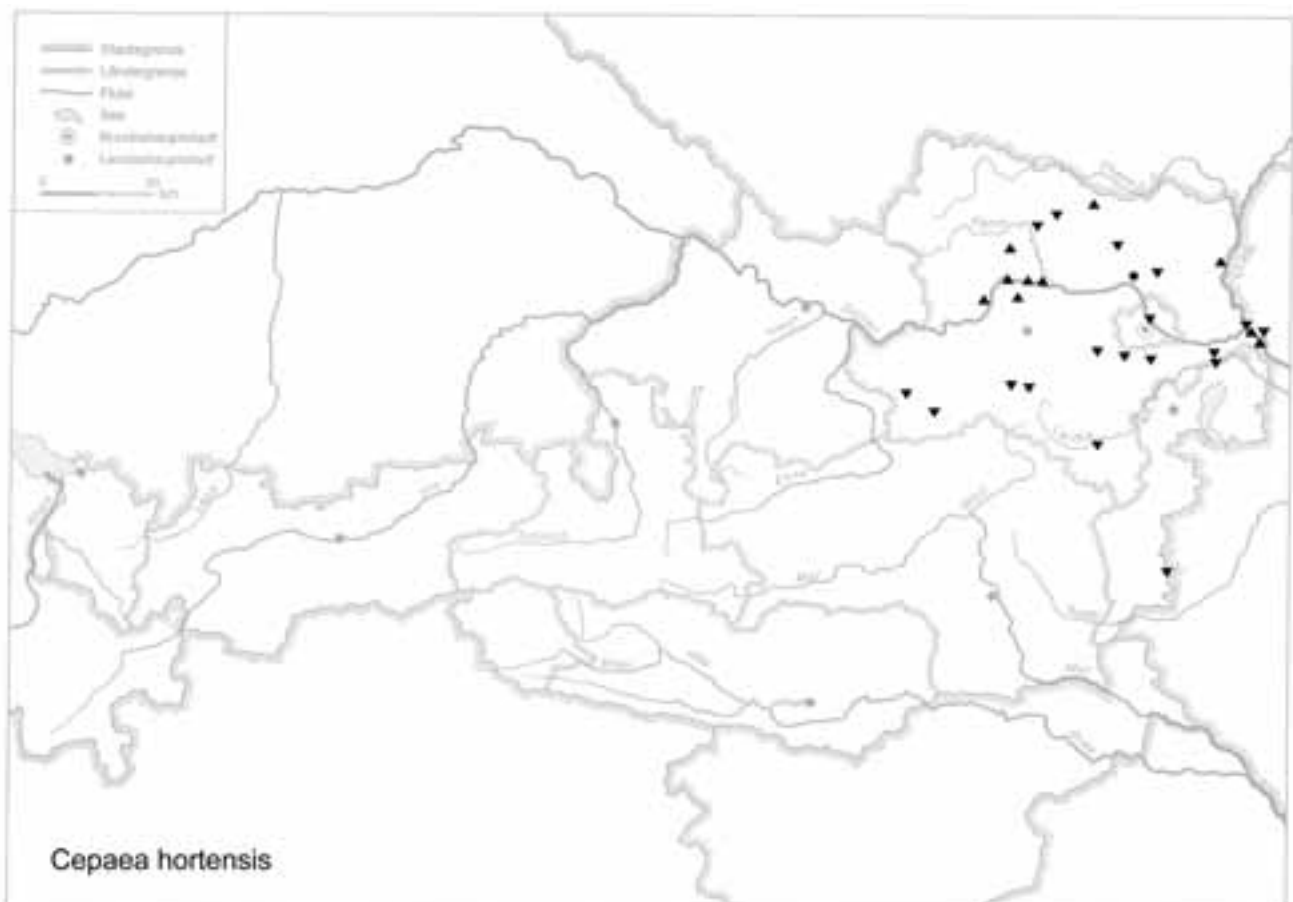
Höhlenlehm aus dem „Diebsversteck“, Höhe Schaukasten

Braunsberg, Hainburger Berge:

Jungholozän; ältere Hallstatt- und jüngere Latènezeit, 2. bis 1. Jhd. v. Chr.

Wallschnitt 6: Plan. 5; Lfm. 9 (Fnr. 1530: cf.)

Karte 270



Carnuntum, Auxiliarkastell (JOBST):

Römerzeitlich (Mitte 1. Jhdt. n. Chr. bis ca. 400 n. Chr.)
Principia, Qu. 241 (Raum XVII, T = 0,3 m bis -0,5 m, über dem Estrich der 2. Steinperiode)
Badbereich (Grabungsfläche Südost, vermutete Planierungsschicht über dem Mauerversturz der 2./1.? Steinperiode, T = -0,6 bis -0,8 m)

Carnuntum, Zivilstadt (JOBST):

Römerzeitlich (1. Jhdt. bis ca. Anf. 5. Jhdt. n. Chr.)
Lehrgrabung, S2/86, Abschnitt 1, T = -0,25 m
Aushub vom Grund einer frisch gegrabenen Künette, rechts von der Schlossstraße, unmittelbar an einer Mauer, T = -0,8 m
Ziviltheater, innere Wand der Arena (Hinterfüllungsmaterial der eingestürzten Stützmauer)

Deutsch Altenburg:

Altpleistozän
Spalten- oder Höhlenfüllung 45

Deutsch Altenburg, Lagerstadt (JOBST):

2. Hälfte des 1. Jhdts. bis 2. Hälfte des 4. Jhdts.
Steg zwischen Qu. 1/4 (T = bis -0,1 m)
Qu. 5 (Substrat beim Pflock 230: Mitte der späteren Straße)
Qu. 8
Qu. 10 (neben menschlichem Skelett, T = -1,0 m bis -1,5 m)
Steg zwischen Qu. 10/11 (neben einer Mauer)
Steg zwischen Qu. 11/14 (bis T = -0,1 m)
Qu. 12 (Füllmaterial des Kindersarkophages 1/86)
Qu. 18 (bis T = -0,07 m)
Qu. 20/21 (Putzmaterial der Plana, T = bis -0,1 m)

Furth, Hohlweg:

Jungpleistozän
Unterkante der „Göttweiger Bodenbildung“ (cf.)

Gauderndorf:

Epiatlantikum
Graben III, Schn. 1, AB-Profil, Lfm. 92–96 (Probe 2)

Glaubendorf I:

Etwas jünger als die archäologische Datierung, mit jungpleistozänen Beimischungen
Graben, Schn. 1, S-Profil, Lfm. 0–6 (Sig. 3)

Herdengelöhle:

Frühes Mittelholozän
Probe 3: Eingangsbereich, Entkalkungshorizont

Hinterbrühl, Schneckenkluff:

Epiatlantikum
Füllmaterial

Hirschenfallhöhle:

Mittelholozän
Wurzeldom:
Probe Nr. 2 (grobes Substrat, mit vielen Knochen)

Hohenberg, „Steinbruch“:

Subboreal bis Subatlantikum
Fundsicht SE 9

Hornsborg 3:

Epiatlantikum
Graben I, Schn. 1, SW-Profil, Lfm. 5,2–9,2 (Proben 2, 4)

Hundsheim:

(Frühes) Mittelpleistozän
Probe Nr. 2 (Füllmaterial: cf.)

Köhlerwandhöhle:

Frühatlantikum
Grabungsstelle 1: Qu. F3 (grauer Humushorizont mit Wurzeln), Qu. F3 (100–105 cm), Qu. F3/F4 (graubrauner Humus mit Geröll), Qu. F3/F4 (zwischen Blockwerk über Gestein), Qu. F4 (brauner Humushorizont); oberflächlich an der Höhlenwand bei P12 und P15 (5 cm Schichtdicke)

Krems, Schießstätte:

Ältestpleistozän
Probe KR 7/2: über Paläoboden 7
Probe KR 7: Paläoboden 7
Probe KR 9: Paläoboden 9

Laxenburg, awarisches Gräberfeld:

7.–8. Jhdt. n. Chr.
Grab/Obj. Nr. 303 (Fnr. 679: cf.)

Mithrasgrotte bei Markt Neuhodis:

Jüngstholozän
Oberflächensediment aus dem Schluff oberhalb der Grotte

Paudorf:

Jungpleistozän
Probe Nr. 2: Unterkante der oberen Bodenbildung („Paudorfer Bodenbildung“, „Lo2+Lo3“)

Rosenburg:

Epiatlantikum, ausklingend
Grabung 1989, Schn. 10, Schlitzgru. 44, N-Hälfte (Nr. 281)

Schloss Kaiserebersdorf/Wien:

Ende 15. bis 17. Jhdt.
innerer Wassergraben
Holzrinne und Kanal
äußerer Wassergraben

Stillfried, mittelalterlicher Hausberg (EIBNER):

Jungpleistozän: Spätwürm
Schn. 1:
Abh. 2: Qu. 1, Lfm. 9,5–10; T = 178,54 cm
Abh. 4, T = 178,26–178,05 cm: Qu. 5, Lfm. 8,5–9, Qu. 6, Lfm. 8,5–9 (beide: liegend Humus)
Abh. 5, T = 178,05–177,87 cm: Qu. 1, Lfm. 9,5–10, Qu. 10, Lfm. 7,5–8
Abh. 6/1, T = 177,85–177,70 cm: Qu. 4, Lfm. 9–9,5, Qu. 9, Lfm. 7,5–8, Qu. 10, Lfm. 7,5–8
Abh. 6/2, T = 177,65–177,50 cm: Qu. 1+2, Lfm. 9,5–10, Qu. 2, Lfm. 9,5–10

Stranzendorf:

Mittelplozän

Rotlehm C (cf.)

Oberpliozän

Braunlehm D, F, M (cf.)

Stratzing/Krems-Rehberg:

Jungpleistozän

Prof. I: Tennisplatz-Ziegelei (1994): Probe 2 (25–50 cm Tiefe), Probe 19 (450–475 cm), Probe 20 (475–500 cm), Probe 20A (500 cm)

Ternitz:

Hochmittelalter bis subrezent

Fnr. 393 (Sig. 190), 1378 (71a, b), 1503 (409: cf.), 1748 (691)

Willendorf i. d. Wachau:

Jungpleistozän

Probe Nr. 19: Einheit D, 5,1–6,0 m

Probe Nr. 21: Einheit D, 6,0–6,2 m

Cepaea sp. (Juvenilschalen und Fragmente; Karte 271)**Fundstellen****Gobelsburg, Keller Schneider:**

Jungpleistozän: Jungpaläolithikum

unterer Profilabschnitt: Probe Nr. GO/11/II/1

Meidling im Tale:

Jungpleistozän: Jungpaläolithikum

Probe Nr. 5/1

Ruppersthal:

Jungpleistozän

Profil I:

Probe Nr. 6: 30–0 cm unter der Basis der Braunerde

Stillfried, Westwall:

Jungpleistozän

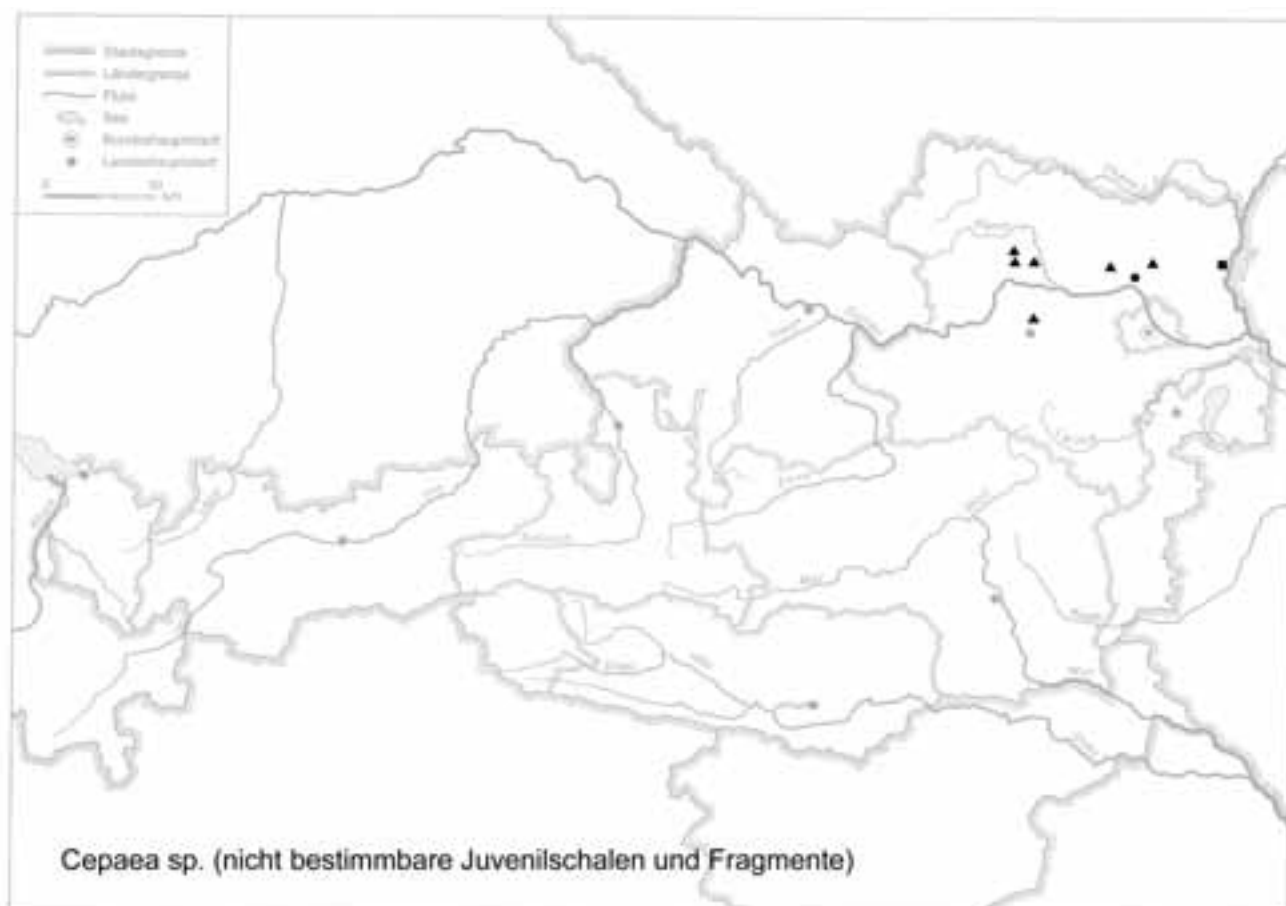
Schn. 73–74, Lfm. 11,7–12, –160–210 cm Tiefe (Fnr. 3539/1974)

Lfm. 3,1–4,1; Hallstattgrube (Fnr. 7799/1979)

Schn. HF/W, Qu. E1, Verf. 16, Obj. 579, bis 130 cm unter NO (Fnr. 5773/1981?)

Lfm. 15–17, „aus dem Holzrahmen“ (Fnr. 7546/1981?)

Karte 271



Ofen, Verf. 1 (Fnr. 7564, 7565, 7568, 7569, 7576, 7582, 7584/1978; 7590, 7593/1981)

Lackprofil; Löß (ST 74/ohne Datum)

Stillfried, Hügelfeld:

Jungpleistozän

Qu. D/E0, Verf. 16, 1. Stich unter Plan. 5, –215 cm NO-Ecke (Fnr. 11749/1984: cf.)

Qu. B2, Verf. 1, –260 cm NO (Fnr. 11777/2/1984)

Qu. D/E1, Verf. 1a, 1. Stich unter Plan. 2, –158 cm unter HOK (Fnr. 11938/2/1984)

„Urnenfelderzeit“ (9.–8. Jhdt. v. Chr.)

Qu. AB3, Verf. 14, Obj. 841 (Fnr. 13356/1986)

„Mittelalter“

Qu. A1, Plan. 4–5, unterste Schicht, 270–290 cm unter SW-Ecke, Obj. 605 (Fnr. 8144/1981)

„Mittelalter mit römerzeitlichem und urzeitlichem Material“

Qu. H7, unter Plan. 3, Verf. 5, O-Viertel, 0–10 cm bei Sohle, Obj. 515 (Fnr. 5068/3/1979: cf.)

Stranzendorf:

Oberpliozän

Braunlehm K (cf.)

Stratzing/Krems-Rehberg:

Jungpleistozän?

Prof. I: Tennisplatz-Ziegelei (1994): Probe 1 (0–25 cm Tiefe)

Stratzing/Galgenberg, Ostprofil:

Jungpleistozän; Aurignacien

Probe Nr. QR10: 1981/6, 1981/7, 1981/13, 1981/14, 1981/15

Wetzleinsdorf:

Jungpleistozän: Mittelwürm

Profil II: Probe Nr. 9: untere Bodenbildung

Helix LINNAEUS 1758

Groß, meist nicht unter 35 mm; etwa 4–5 rasch zunehmende Umgänge, der letzte bauchig; \pm festschalig, kugelig bis kugelig-kegelförmig, mit stumpfem Apex. Skulptur aus \pm kräftigen, oft etwas unregelmäßigen bis runzeligen Anwachsstreifen, gelegentlich auch Spiralstreifen; oft mit dunkelbraunen, \pm verwaschenen Bändern. Mündung groß, rundlich, wenig schief. Mundsäum einfach bis etwas erweitert und schwach verdickt; Spindelrand am Anfang \pm umgeschlagen und verbreitert, den Nabel gänzlich oder größtenteils verdeckend. Basalrand gerundet, gelegentlich etwas schwielig verdickt (WENZ u. ZILCH 1959: 721–722).

Mittleres und südliches Europa, Vorderasien; rezenter Verbreitungsschwerpunkt im östlichen Mittelmeer- und pontischen Gebiet. – Ab Obermiozän; im Tertiär nur wenige Arten (LOŽEK 1964b: 314). Eine nicht bestimmbare *Helix* wurde von SCHÜTT (1985: 210) in oligozänen Schich-

ten des Molassebeckens von Denizli-Tavaş-Çukurköy nachgewiesen.

Helix (Helix) LINNAEUS 1758

Groß, rundlich bis rundlich-kegelförmig, 4–5 gewölbte Umgänge, der letzte bauchig; \pm kräftige Anwachsstreifen. Weißlich bis bräunlich, mit oft \pm verwaschenen, zum Zusammenfließenden tendierenden braunen Bändern. Mündung rundlich, wenig schief; Mündungsrand wenig erweitert und innen schwach gelippt; Spindelrand am Ansatz umgeschlagen, den Nabel \pm bedeckend. Relativ festes, kalkiges Epiphragma.

Vorderasien, Mittel- und Südosteuropa, Nordafrika; ab Obermiozän (Pontium) (WENZ u. ZILCH 1959: 724–725). Rezent artenreich vertreten.

Helix (H.) pomatia LINNAEUS 1758

(Taf. LVII: 1–16; Karte 272)

(30) 38–40 (50) mm H : (32) 38–40 (50) mm B; 4½–5 Ugg. Kugelig mit stumpf-konischem Gewinde und gerundeter Spitze; \pm festschalig, hellgrau, strohgelb bis hellbraun mit dunkleren bis violettbraunen, oft ziemlich verwaschenen Bändern (1. sehr schmal, 2. und 3. verschmolzen); opak. Unregelmäßig stumpf-rippenstreifig, mit feinen (oft nur angedeuteten) Spirallinien. Umgänge rasch zunehmend, gut gewölbt, der letzte stark überwiegend, peripher und basal breit gerundet. Mündung groß, rundlich, allgemein höher als breit, wenig schief; oben-außen zugespitzt. Mundsäum schwach erweitert, abgestumpft, innen flach weiß oder rötlich gelippt. Nabel durch den breiten Spindelumschlag \pm bedeckt, ritzförmig offen. – Kräftiges, kalkiges Epiphragma. – In Größe, Form, Bänderung, Färbung, Schalendicke, Mundsäumausbildung und Oberflächenskulptur veränderlich; Zwerg- (28 mm H/B) und Riesenformen (bis 60 mm H/B) sind möglich; offenbar keine beständigen Rassen bildend. Nach KNIPPER (1939: 341–345) besteht die höchste Variabilität der Populationen im Balkangebiet. Die balkanischen Individuen sind fast so breit wie hoch oder breiter, mit durchschnittlich stärkerer Spiralskulptur, durchschnittlich dunklerer Mündungsfärbung und weiterer Mündung. FALKNER (1984c) führte Untersuchungen zur morphologisch-geographischen Variabilität durch. Er stellte im Nördlinger Ries-Gebiet eine großwüchsige „Jura-Form“ einer kleinwüchsigen des Nördlinger Ries-Kessels gegenüber, die aber jeweils an ganz unterschiedlichen Standorten vorkommen, sodass es sich dort seiner Meinung nach nicht um ökologische Reaktionsformen handeln kann (FALKNER 1984c: Abb. 1, Karte 1). Im oberen Leinleitertal bei Burggrub (Fränkische Schweiz) lebt sowohl eine großwüchsige, dünnchalige Waldform mit dunklerem Periostracum als auch eine kleine, festschaligere, meist helle Form der offenen Hänge und Böschungen des angrenzenden Bachtals; im Übergangsbe-

reich leben Zwischenformen. Auf einem Kalktrockenrasen inmitten von Landwirtschaftsflächen (bei Erding) sind die Tiere überwiegend kleinwüchsig; in einem naturnahen, verwilderten Park mit altem Baumbestand (bei Würzburg) dagegen überwiegend großwüchsig (größter Durchmesser/Mittelwert von jeweils 100 Exemplaren: 34,5 mm bzw. 42,0 mm). Die letzteren zeigen auch einen charakteristisch verdickten Mundsaum, wie er relativ oft bei Schalen aus interglazialen Ablagerungen vorkommen kann. – Über wirtschaftliche Bedeutung und Biologie der Art siehe u. a. FECHTER u. FALKNER (1989: 250–253).

In Lichtwäldern, Gebüsch, Hecken, nicht an ganz schattigen oder zu trockenen Stellen, vielfach Kultur folgend (Wegränder, Weinberge, Gärten); kalkhold, 120–2000 m. Im Vergleich zu anderen Arten ist sie sehr langlebig (nach FALKNER 1984c bis zu 30 Jahre!). Adulte Tiere besitzen offenbar wenige natürliche Feinde, daher können auch schwache Populationen dauerhaft bestehen.

Mittel- und südosteuropäisch; im Norden bis Südschweden, im Westen bis Südengland, Mittelfrankreich, im Osten durch Polen, bis Estland, Weißrußland, in die Westukraine; nach Norditalien, nördliche und mittlere Balkanhalbinsel

bis Makedonien. In Österreich allgemein verbreitet und häufig (KLEMM 1974a: 471–474; Karte 153).

Bezeichnende warmzeitliche Art; in inter- und postglazialen Sedimenten relativ häufig im Bereich des heutigen Areal. Die „*Helix pomatia*-Fauna“ sensu LOŽEK (2001: 151) entspricht weitgehend heutigen Waldmalakocoenosen niedriger Lagen; sie bezeichnet voll entwickelte Wärmeperioden.

Bei der postglazialen Wiederbesiedelung Mitteleuropas spielte der Mensch sicher eine entscheidende Rolle (neolithische Ackerbau- und Weidewirtschaft, damit Schaffung geeigneter offener bis halboffener Biotope; Römerzeit und Nutzung der Weinbergschnecke als Nahrungstier; Mittelalter und neuerliche Rodungen sowie Ansiedelung der Tiere in Klostergärten als Fastenspeise). Die ursprünglich südosteuropäische Weinbergschnecke besiedelt gegenwärtig das größte Areal in ihrer Ausbreitungsgeschichte als Art. Während früherer Interglaziale gelangte sie nicht über das Rheintal im Westen bzw. über den Harz im Norden hinaus, während anderen, noch anspruchsvolleren Arten weite Vorstöße gelangen (FALKNER 1984c: 184). – Derzeit stellt die steigende Biotopvernichtung (intensive Landwirtschaft!) die größte Bedrohung für die Art dar.

Karte 272

